

Vysoká škola strojní a textilní v Liberci  
nositelka Řádu práce

Fakulta strojní

Obor 23-21-8

stroje a zařízení pro chemický, potravinářský a spotřební

průmysl

zaměření

textilní stroje

Katedra textilních a oděvních strojů

BIDLEN TKACÍHO STROJE UTAS S JEHLOVOU NÁSTAVBOU

Alexej Loginov

Vedoucí práce: s. Ing. František Egrt, CSc, VŠST Liberec

Rozsah práce a příloh

Počet stran: 100

Počet příloh: 6

Počet tabulek: 10

Počet obrázků: 32

Liberec květen 1985

Vysoká škola: strojní a textilní  
Liberec  
Katedra: Textilních a oděvních  
strojů

Fakulta: ..... strojní .....  
Školní rok: ..... 1984/85 .....

## ZADÁNÍ DIPLOMOVÉ PRÁCE

(PROJEKTU, UMĚLECKÉHO DÍLA, UMĚLECKÉHO VÝKONU)

Alexeje Loginova

příj. ....  
obor 23-21-8 Strojní zařízení pro chemický, potravinářský  
a spotřební průmysl

Vedoucí katedry Vám ve smyslu nařízení vlády ČSSR č. 90/1980 Sb., o státních závěrečných  
zkouškách a státních rigorozních zkouškách, určuje tuto diplomovou práci:

Název tématu: Bidlen tkacího stroje UTAS s jehlovou nástavbou

### Zásady pro vypracování:

1. Proveďte analýzu výkonů jehlových tkacích strojů  
vzhledem ke konstrukci prohozního mechanismu.
2. Proveďte kinematické řešení přírazového mechanismu  
stroje UTAS s jehlovou nástavbou z hlediska jeho  
účinků do rámu stroje pro rozsah otáček 180 - 240 min<sup>-1</sup>.
3. Navrhněte odlehčenou konstrukci bidlenového mecha-  
nismu s jehlovou nástavbou (uvažujte pohyblivé  
těžiště prohozního systému) a kontrolujte pevnostně  
nosnou část paprsku.
4. Stanovte metodiku měření k ověření pevnosti nosné  
části paprsku.

VYSOKÁ ŠKOLA STROJNÍ A TEXTILNÍ  
Ústřední knihovna  
LIBEREC 1, STUDENTSKÁ 5  
PSČ 461 17

Rozsah grafických prací:

Tabulka a grafy vypočtených veličin. Sestava rekonstruovaného bidlenu.

Rozsah průvodní zprávy:

15 stran strojopisu formátu A4

Seznam odborné literatury:

Charvát, J.: Mechanika II, Dynamika. Skriptum VŠST.  
Liberec 1982.

Talavášek, O. a kol.: Tkalcovská příručka. SNTL, Praha 1980.

Brychta: Jehlový tkací stroj UTAS. Diplomová práce VŠST,  
Liberec 1983.

Kol.: Špičkové textilní stroje ITMA 83.GŘ Elitex, Liberec 1983.

Vedoucí diplomové práce: Ing. František Egrt, CSc.

Datum zadání diplomové práce:

1. 10. 1984 konečné zadání

Termín odevzdání diplomové práce:

25. 5. 1985

L. S.

Prof. Ing. Vladimír Prášil, DrSc.

Vedoucí katedry

Doc. RNDr. Bohuslav Stříž, CSc.

Děkan

v Liberci dne 8. 10. 84

MÍSTOPŘÍSEŽNÉ PROHLÁŠENÍ

Místopřísežně prohlašuji, že jsem diplomovou práci vypracoval samostatně s použitím uvedené literatury.



V Liberci dne 23. května 1985

## O B S A H P R Á C E

- I. Úvod
  2. Jehlové tkací stroje
  - 2.1 Stanovení pojmu, vynálezce
  - 2.2 Rozdelení jehlových tkacích strojů
  - 2.3 Pohon jehel
  - 2.4 Analýza výkonů jehlových tkacích strojů
  3. Popis mechanismu bidlenu člunkového tkacího stroje UTAS s jehlovou nástavbou
    - 3.1 Mechanismus přirázu
    - 3.2 Mechanismus prohozu
  4. Kinematické výšetřování mechanismu bidlenu člunkového tkacího stroje UTAS s jehlovou nástavbou
    - 4.1 Kinematické řešení přírazového mechanismu
    - 4.2 Kinematické řešení jehlového prohozního mechanismu
  5. Dynamické řešení přírazového mechanismu stroje UTAS
  6. Analýza vlivu prohozního mechanismu na dynamiku přírazového mechanismu
  7. Paprsek tkacího stroje UTAS s jehlovou nástavbou
    - 7.1 Typy a volba paprsků
    - 7.2 Účinky působící na paprsek. Cesty zvýšení spolehlivosti a doby bezporuchového provozu
    - 7.3 Pevnostní výpočet paprsku
  8. Měření neelektrických veličin
  9. Návrh metodiky měření k ověření pevnosti nosné části paprsku
  10. Závěr
- Seznam použité literatury

### 1. ÚVOD

Další rozvoj Československého národního hospodářství a tím i trvalý růst životní úrovně, uspokojování potřeb vnitřního trhu, je podmíněn růstem společenské produktivity práce. Zvýšení produktivity lze dosáhnout prováděním rekonstrukcí a modernizací stávajících kapacit. To vyžaduje soustředit výzkumné kapacity na rozhodující úkoly vědeckotechnického rozvoje, důsledněji užívat možnosti integrace socialistické vědy a uplatňovat nové, efektivnější formy převodů vědeckých výsledků do společenské praxe.

XVI. sjezd KSČ zhodnotil dosavadní vývoj a stav československé společnosti a vytyčil závažné úkoly ve sféře hospodářské politiky, která má pro výstavbu rozvinuté socialistické společnosti rozhodující význam. Zvyšování výroby a kvality výrobků považuje KSČ za prvořadý úkol průmyslových odvětví a za předmět zvláštní péče stranických orgánů. V textilním průmyslu jde především o plné využití stávajících kapacit a o zvyšování výroby v tkalcovnách zaváděním nové tkací techniky.

Československo je zemí s vyspělým textilním průmyslem. Řada výrobních oborů představuje ve srovnání se světovou úrovní solidní průměr, v některých odvětvích Československo drží krok se světovou špičkou. Jestliže ČSSR chce toto postavení udržet, musíme brát na zřetel stávající vývoj textilního průmyslu na celém světě, zvláště země, jejichž textilní průmysl má vysokou úroveň.

S ohledem na současný stav a očekávaný vývoj výroby tkanin se ukazují zajímavé oblasti a široké možnosti použití výkonné, moderní tkací techniky v budoucnu. Současný vývoj tkací techniky ve světě jde spíše cestou důsledného propracování známých principů bezčlunkového tkání, zaměřených na nejvyšší využití všech jejich technických a obchodních možností, než cestou realizace převratných novinek. Trvání tohoto zásadního trendu rozvoje tkacích strojů je možno očekávat až do roku 2000.

V bližší budoucnosti se začnou ve větším rozsahu nahrazovat člunkové stav výkonnou bezčlunkovou tkací technikou hlavně v oblasti hladkých tkanin. Jsou vypracovány optimistické prognózy, podle nichž se do budoucna, respektive do roku 1990, bude vyrábět 50% tkanin bezčlunkovými stroji.

Světová výstava ITMA, která probíhala v roce 1983 v Miláně, potvrdila, že jehlové tkací stroje jsou nejrozšířenější tkací technikou. Výrobci jehlových tkacích strojů, které byli výstaveny na ITMA 83, jsou : SACM, PICANOL, NUOVO PIGNONE, VAMATEX, SOMET, SAURER, DORNIER, GUNNE, SULZER-RUTI . Již první pohled na exponaty přinesl poznatek, že v oblasti jehlových tkacích strojů nastal kvalitativní zvrat, který je spojován s využitím plastických hmot s uhlikovými vlákny. Pevné a velmi lehké materiály přinesly nečekané zvýšení otáček / více než  $500 \text{ min}^{-1}$  /, přičemž špičková rychlosť zanašení útku dosahuje hranice  $50 \text{ m.s}^{-1}$ . Ten skok je však placen některými negativními rysy, a to především zvýšeným odpadem a minimální dědičností s předchozím typem.

Vývoj jehlových stavů má však ještě jednu zvláštnost, která spočívá v tom, že původní nízkootáčkový jehlový princip využila řada výrobců jako nástavbu na člunkový stav. Takovýchto nástaveb nabízelo celkem šest výrobců, mezi nimi i renomované firmy, jako SAURER a PICANOL.

Jehlový stav však může jit mnoha dalšími vývojovými cestami. Lze sice dále zvyšovat výkon, ale lze současně snížovat odpad, nebo přisnější kontrolovat napětí útku před přirazem a výhledové dokonce i zmenšovat a dále optimalizovat parametry prošlupu.

2. JEHLOVÉ TKACÍ STROJE

2.1 Stanovení pojmu „vynálezce“

Jako jehlové tkací stroje označujeme ploché tkací stroje, u nichž útková příze se zanáší do prošlupu pomocí nuceně pohybovaných svěrek nití. Svěrky jsou upevněny na pásech nebo tyčích. Tato ústrojí mohou zanášet útkovou nit jednostranně a přes celou tkací šíři, nebo oboustranně a vždy přes polovinu tkací šíře, přičemž u poslednějšího způsobu dochází k předání nití ve středu prošlupu.

Za vynálezce moderní jehlové techniky můžeme považovat Johanna Gablera, který již roku 1922 zbudoval jehlové ústrojí do bavlnářského tkacího stroje se zanášením útku tkalcovským člunkem. Proto dostal Gabler r. 1925 patent DRP 480 677. U tohoto tkacího stroje bylo použito zanášení útku středem pomocí smyčky uprostřed prošlupu - již mezi lety 1930 a 1940 se vyrobil větší počet tkacích strojů systém Gabler.

Roku 1939 předvedl francouz Raymond Dewas po mnoha letech vývojové práce jehlové ústrojí, při němž je útková nit uchopena přinášející svěrkou. Tento tzv. "Dewasův princip" se dnes téměř bez výjimky používá u všech moderních jehlových tkacích strojů. V Lyonu vyuvinuli René Aneet a Marcel Fyolle jednostranný jehlový způsob, který byl použit na známých španělských konstrukcích, známých jako tkací stroje "IMER". Mnoho vynálezů o konstrukčních záležitostech neznámých, známe jen výrobce o tkací stroje, aniž bychom věděli, kdo vlastně podklady dodal.

## 2.2 Rozdělení jehlových tkacích strojů

Jehlové tkací stroje rozdělujeme podle čtyř kategorií:

### 2.2.1 Podle druhu jehly

- a/ jehly tuhé
- b/ jehly ohebné

Jehly tuhé /repíry/ - jsou to tenkostěrné trubky o průřezu 10 - 15 mm, někdy také duté tyče obdélníkového průřezu. Tuhé jehly nemusí mít v osnově vedení, pouze jejich hlavice kloužou po osnově podepřené lištou.

Jehly ohebné - jsou to pásky obdélníkového průřezu o rozměru asi 25 x 1 mm vyrobené z pružinové oceli nebo z plešnických hmot. Ohebné pásky musí mít pro větší pracovní šířky v osnově vedení z lamel. Při vysunutí z osnovy se pásky na boku navíjejí na kolo nebo se ohýbají v půlkruhovém konálu, takže půdorysná šířka není velká.

### 2.2.2 Podle počtu jehel

- a/ s jehlou na jedné straně stroje

- b/ s jehlami na obou stranách stroje se dělí dále:

- se zanášením z jedné strany. První jehla pouze předávací, druhá je přejímací
- se zanášením z obou stran s předáváním útku nebo bez předávání útku

### 2.2.3 Podle způsobu zanášení útku

- a/ zatíhování rovného útku /systém Dewas/. Skřipec konec útku v hlavici jehly pevně sevře a zatíhuje do osnovy.

- b/ zanášení smyčky do poloviny prošlupu a pak její rozvinutí. Útek není v hlavici jehly pevně sevřen, ale pouze prohází jejími průvleky /systém Gehler/.

#### 2.2.4 Podle umístění prohozního mechanismu

- a) ústrojí nehybně upevněné na rámu stroje vyžaduje přesný klid paprsku v zadní krajní poloze po celou dobu znamášení ú útku.
- b) ústrojí výkyvné s překem

### 2.3 Pohon jehel

#### 2.3.1 Vedení jehel bubny

Jehly jsou na obou stranách vedeny krytými bubny, které jsou kritový /kýv-vý/ pohyb dostávají mechanismem.

##### Pohon jehel klikou s ozubenou tyčí

Pohon jehlových bubnů klikou s ozubenou tyčí používá jako první výrobce f. Dr. per Corp., USA. licenční cestou byl tento pohon přenesen přes Maschinenfabrik Georg Fischer a. k. spol., Švýcarsko na Maschinenfabrik Rüti a. k. spol., Švýcarsko. Na obou stranách hlavního hřídele je uspořádáno po jednom klikovém pohonu, který pohybuje ozubenou tyčí nahoru a dolu. Tato ozubená tyč přenáší svůj kritový pohyb přes vložené kolo na jehlový huben. Tato konstrukce byla použita u modelu F2000 f. Rüti. /Parametry tohoto stroje a také následujících strojů uvedeny v tabulce č. 1/.

##### Pohon pásu prostorově uspořádaným klikovým mechanismem

Pro nově koncipovaný tkací stroj F2001 byl vyvinut nový pohon, tzv. prostorový klikový mechanismus, který točivý pohyb kliky přenáší jako pohyb sem a tam na osu ozubeného oblouku /segmentu/. Ozubený oblouk zabírá do ozubeného kola na ose jehlového hubnu.

#### 2.3.2 Vedení jehel v polokruzích nebo dílčích kruzích

Při vedení v polokruzích nebo v dílčích kruzích klozají obě jehly v půlkruhových nebo v dílčích kruhových drážkách uspořádaných mimo stěny stroje. Pohon jehel se uskutečňuje ozubenými koly pásu, jejich zuby zábírají do vybrané v jehle. Tato konstrukce je používána v řadě rozdílně koncipovaných výrobků.

### Pohon jehel páskovým mechanismem s křivkovou večkou

U některých modelů tkacích strojů pohybují křivkové večky na hlavní hřídeli pákou jehly senzorem a tam s její pohyb je přenášen mezi pákou s ozubenými koly na ozubené kolo jehly. Nový hnací mechanismus s křivkovou večkou na modelu UV-770 f. Somet S. p. A., Itálie, běží v olejové lázni a přivádí točivý pohyb hlavního hřídele přes páku s ozubená kola na kmitavý pohyb pro jehlové kolo.

### Pohon jehel drážkovým bubnem

Raymond Dewas použil na svém prvním jehlovém tkacím stroji rotující drážkový buben, který jehlovou pákou přivedl ozubeným segmentem na kývavý pohyb. Ozubený segment působil vložením kolem na jehlové kolo. Tento pohon jehel byl použit také na tkacích strojích f. Atelier Snoek, Belgie.

### Pohon jehel klikou s ozubeným řemenem

U tkacího stroje f. N. V. Weefautometen Picenol, Belgie, model "President PGW" se kmitavý pohyb přenáší přímo vždy od jedného výstředníku na spodní hřídel stroje přes sklopnou páku na kloubovou tyč. Tato tyč pohybuje přes převod ozubeným řemenem ozubeným jehlovým kolem.

U tkacího stroje f. Günne Webmaschinenfabrik spol. r. o. a spol. K. S., Německá spolková republika, pohání ozubený řemen od hlavního hřídele klikový kotouč. Ujničním převodem se točivý pohyb přeměnuje v kmitavý pro ozubený segment. Tento segment pohybuje jehlovým kolem přes kuželové kola.

### Pohon jehly ozubeným řemene

Souprava na přestavbu na jehlový systém s označením "Saurer 350" akc. spol. A. Saurer, Švýcarsko, se používá především pro přestavbu člunkových tkacích strojů typu WT. Od hlavního hřídele je ozubeným řemener poháněn každé straně stroje prohozní hřídel a od něj je dalším ozubeným řemener poháněn klikový mechanismus.

Tabulka č. 1

výrobce	typ	šíře (cm)	frekvence otaček (min <sup>-1</sup> )	teoretický výkon (m út. · min <sup>-1</sup> )
Sulzer	F 2001 T F 2001	190	360	760
		190	360	684
		200	300	600
		220	330	726
		250	275	688
		280	275	770
		280	272	762
Somet	SM 92	190	520	988
		210	445	935
		340	290	986
		340	345	1173
	ST 880	190	345	656
		190	336	638
		190	345	655
		210	345	725
		230	325	748
		340	324	762
		350	268	938
		360	220	792
Hoeck		170-400	165 - 350	až 660
Picanol	GTM	190	410	779
		190	420	798
		190	410	779
		240	360	864
		280	320	896
Günne		150-230	270	až 490
Saurer	350	190	230	440
	400	185	400	740
		225	300	743
		245	265	649
	500	185x2	330	1221
		185x2	355	1313
		225x2	295	1327
SACM	UR 1000	160-200	480-530	830 - 960
	NAV	225	300	675

výrobce	typ	šíře (cm)	frekvence otaček(min <sup>-1</sup> )	teoretický výkon (m út. x min <sup>-1</sup> )
Vamatex	SP/251	190-360	275-360	780-935
	C/401	190 190 210 210 340 340 360 360	430 445 405 350 315 285 290 270	817 845 850 735 1071 969 1044 972
	P/1001	190	550	1054
	P/1000	380	335	1273

Pokračování tabulky č.

Také u tkacího stroje f. Somet s. p. f. pohybuje kombinace ozubených řemenů jehlou, která se spojena s pákou kliky. Mezi třetím ozubeným řemenerem - ozubeným kolenem je zapojena ještě jedna v olejové lázni běžící kombinace kuželových kol ke změně pohybu.

#### Vrtulový hnací mechanismus

Firma Venetex s. p. A., Itálie, vyvinula pro svoje tkací stroje reverzní soukolí, u nějž působí kliková ojnice přes posuvné válečky na šnekový hřídel. Činnost tohoto pohonu lze srovnat s činností dvojdíku. Kruhový pohyb ojnic se přenáší dvěma válečkovými prvky na šnekový hřídel, na kterém sedí ozubené jehlové kolo.

### 2.4 Analýza výkonů jehlových tkacích strojů

#### 2.4.1 Vliv konstrukcí prohozního mechanismu na výkon jehlových tkacích strojů

Z uvedených technických parametrů jehlových tkacích stavů (viz. tabulka č. 1) s různými druhy mechanismů, které provádí pohon jehel, můžeme stanovit, že výkony tkacích stavů se mezi sebou v podstatě neliší v závislosti na druhu použitých prohozních mechanismů. Výkony jehlových tkacích stavů se nacházejí na přibližně stejně úrovni a mají vysokou hodnotu příslušnou vývoji tkací techniky v současné době. Ta to hodnota pro kací stav, odpovídající současným požadavkům se rovná 800-1000 m útku/rin.

Na zvýšení výkonu jehlových tkacích stavů v srovnávání s hodnotami, které byly uváděny na světové výstavě ITMA v Hanoveru 1979, také působí vliv po žití nových materiálů pro výrobu oběhných jehel. Tak f. Pic-nol vyrábí ocelovou stuhu pro oběhné jehly s povrchovou vrstvou z teflonu, f. Somet používá na výrobu stuhy uhlíkové vlákna a f. Ruti - nylon. Použití nových materiálu způsobilo snížení tření - teploty, také vzrostla doba bezporuchového provozu a zvyšují se prohozní rychlosti.

FIRMA	STAT	SOMET	ITALIE	SACM	FRANCIE
TYP	AG/2S	ST 880	Master 92	MAV - S	UR - 1000
ŠÍŘE (cm)	190	190	190	140	240
FREKVENCE OTÁČEK (min <sup>-1</sup> )	250	340	500	280	375
PLOCHA (m <sup>2</sup> )	9,26	8,03	8,03	6,76	10,1
VÝKON (kW)	4,1	2,5	3,0	3,0	4,0
TEORITICKÝ VÝKON (m útku * hod. <sup>-1</sup> )	28500	38760	57600	23520	54000
%	100	136	200	100	230
MĚRNÝ VÝKON (m útku / hod. * m <sup>2</sup> )	3012	4827	7098	3479	5346
%	100	160	235	100	153
MĚRNÉ ZTRÁTY EL. ENERGIE (kW/100000 m útku/hod.)	14,38	6,45	5,26	12,75	7,4
%	100	45	36	100	58
POHON JEHEL	čtyřčlenný s ozubeným řemenem a ozubeným převodem	pouzitivní vačkový mechanismus v olejové lázni	vačkový zákon pohybu vaček propracovaných na počítači	využovaný dvojitý epicyklický systém	na bídlenu
UMÍSTĚNÍ PROHOZNÍHO MECHANISMU	na bídlenu	na rámu stroje	na rámu stroje	na bídlenu	na bídlenu

Tabulka č. 2.

Použitím věčkových prohozních mechanismů a jejich umístění na rámu tkacího stávku má za následek zvýšení výkonu jehlových tkacích stávů.

#### 2.4.2 Vliv umístění prohozního mechanismu

Umístění prohozních mechanismů má velký vliv na spotřebu elektrické energie tkacím stávem. Hodnoty spotřeby elektrické energie a jiné parametry tkacích stávů jsou uvedeny v tabulce č. 2.

Porovnáním parametrů uvedených v tabulce č. 2, můžeme říct, že umístění prohozních mechanismů na bidelu tkacího stávku značně působí na spotřebu elektrické energie. Spotřeba elektrické energie vzrůstá ve srovnání se spotřebou elektrické energie stávku, s umístěním prohozního mechanismu na rámu stávku, asi 1,5 - 2krát. Z jedné strany tento růst spotřeby elektrické energie je velkou nevýhodou umístění prohozního mechanismu na bidelu, ale z druhé strany dává možnost vyrábět tkaniny s velkou hustotou po útku. Tako-vé stávy se používají pro výrobu koberců a také ve výrobě těžkých technických tkanin /plachty/.

#### 2.4.3 Vliv použití středového prohozu

Zvýšení výkonu tkacích stávů můžeme získat použitím středového prohozu. /viz. tabulka č. 3/

výrobce typ stroje	otačky $/\text{min}^{-1}/$	šíře stroje $/\text{cm}/$	navedená šíře $/\text{cm}/$	výkon $/\text{m ú} \times \text{min}^{-1}/$
Saurer S 500-2x185	330	2x185	2x178,5	1178
Saurer S 500-2x225	295	2x225	4x98,5	1162

Tabulka č. 3.

Jehlové stroje se středovým prohozem nazívají:

- a/ vysoký tkací výkon daný zanášením dvou útků do prošlupu v jednom pracovním cyklu
- b/ vyšší setkovatelnost oproti stejně širokým tkacím strojům s bočním prohozem, využívaným k pásmovému tkání. Každé pásmo tkaniny je tvořeno samostatně, což urožňuje lepší provázání útku s osnovou snadnějším vložováním útku z obou stran pásema
- c/ nižší namáhání zanášeného útku vlivem menší prohozní vzdálosti rovné poloviční paprskové šíři.
- d/ snadné snování, novádění a transport osnovních válk, neboť celá technologická návaznost přípravných prací, t. j. transportu i úpravy zůstatků zachována jako u úzkých strojů
- e/ jednoduché míchání útku, případně dvoubarevná zároveň dáná pevnou vazbou, případně propojovým ovládáním vkládacího systému útku

#### 2.4.4 Cesty zvýšení výkonu jehlových tkacích strojů

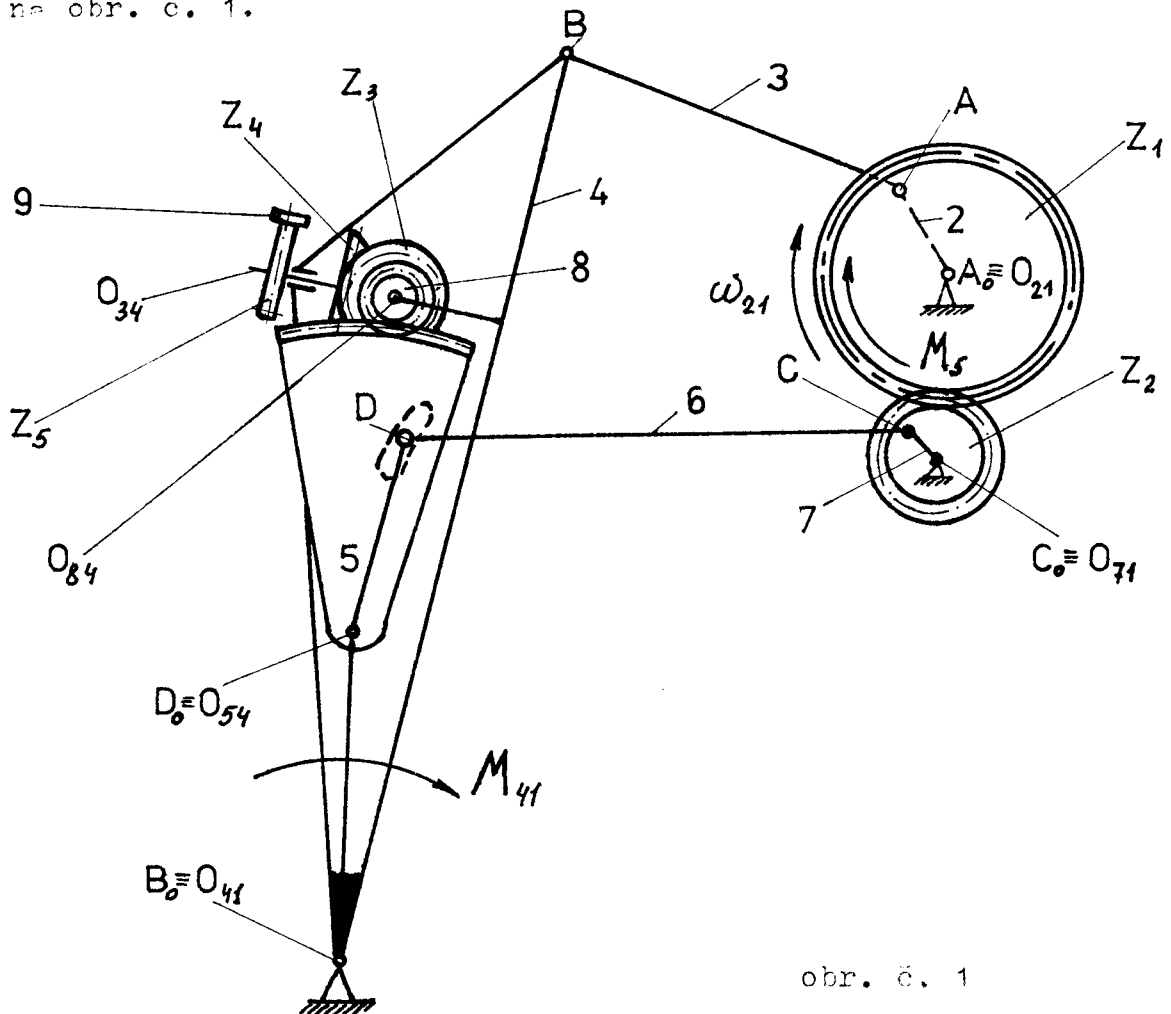
Další zvyšení výkonu tkacích strojů může být následující:

1. Zvýšení frekvence otáčení hlavního hřídele cestou použití technických konstrukcí:
  - a/ snížení pohybujících se hmot cestou použití odlehčených materiálů - většinou upevněných plastických hmot
  - odlehčených konstrukcí
  - b/ optimizace dojítí nití
  - c/ použití elektroniky
2. Dát do provozu dvojité jehly pro tkání současně dvou tkanin, jednu pod druhou
3. Zanášení dvou útků do jedného prošlupu
4. Konstrukce jehlového tkacího stroje pro tkání dvojité šíře

Musíme věnovat pozornost nejen zvýšení výkonu tkacích strojů, ale i universalitě, spolehlivosti a zlepšení technické obalu tkacích strojů.

3. POPIS MECHANISMU BIDLENU ČLUNKOVÉHO TKACÍHO STROJE  
UTAS S ŘEHLOVOU NÁSTAVBOU

Mechanismus bidlenu tkacího stroje UTAS představuje systém dvou mechanismů: mechanismus přírazu a mechanismus prohozu. Tyto mechanismy jsou vzájemně vázány kinematickou vazbou. Kinematická schéma mechanismu bidlenu je uvedena na obr. č. 1.



obr. č. 1

3.1 Mechanismus přírazu

Mechanismus přírazu u člunkového tkacího stroje představuje podle obr. č. 1 čtyřkloubový mechanismus.

Od záloženého hřídele  $O_{21}$  přes kliku 2 je dvěma ojnicemi 3 odvozen kývavý pohyb bidla 4, jehož úkolem je přirazit prohozený útek ke tkaniině.

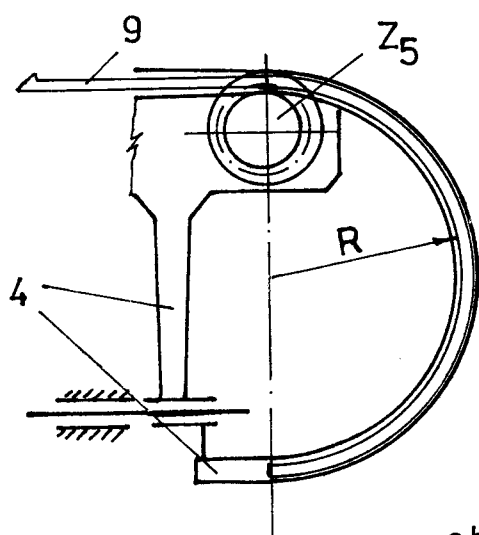
Na tento mechanismus přírazu je navázán mechanismus prohozu.

### 3.2 Mechanismus prohozu

U jehlové nástavby byl prohozní mechanismus převzat od zahraniční firmy INAPSA.

Z konstrukčního hlediska tvoří největší část mechanismu rameno 4. Je to odlitek /materiál 42 43 31.70/, který je svojí spodní částí uchycen na prodloužené podbídelnici  $O_{41}$ . V horní části ramena je umístěno kuželová převodovka  $Z_3 \wedge Z_4$ , jejíž vstupem je ozubené kolo  $Z_5$  z hliníkové litiny. Na toto kolo je naváděn ohybný pás 9, který realizuje pohon jehly. Tento pás je vyroben firrou CINCLA z polymeru, který obsahuje uhlíková vlákna. Jehelní pás se v úvratích vrací do polokruhového vedení, které je připevněno k ramenu /viz. obr. č. 2/. Na koncích tohoto pásu je upevněna jehla. Převod je dvoustupňový. Na vstupu zábírá kyvný segment 5 s ocelovým pastorkem 8. Pastorek je prakticky vstupem na kuželové soukolí  $Z_3, Z_4$ . Výstupem je pak již zmíněné kolo  $Z_5$  z hliníkové slitiny.

Kyvný segment je ze stejného materiálu jako rameno 4. S ramenem je spojen čepem  $O_{54}$ , který umožňuje segmentu dva pohyby. Přední kyvný pohyb kolem této čepy. Zdrojem tohoto pohybu je excentr 7, poháněný od hlavního hřídele stroje  $O_{21}$  přes ozubený převod  $Z_1, Z_2$ .



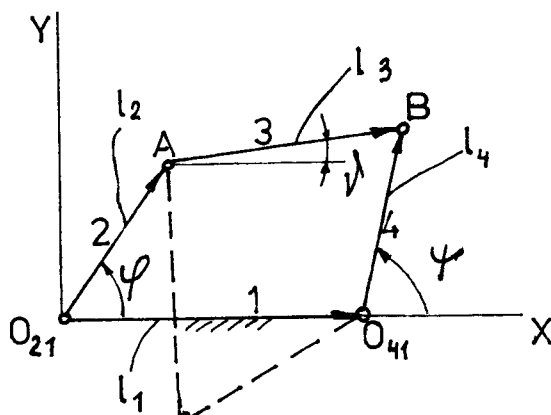
obr. č. 2

Zuby v tomto převodu jsou z pertinaxu, což sníží výrazně hlučnost stroje. Dalším pohybem segmentu 5 je pohyb s celým ramenem 4. Zdrojem tohoto pohybu je čtyřkloubový mechanismus 2, 3, 4. Klika 2 je poháněna od hlavního hřídele  $C_{21}$ .

Na jednom stroji pracují dvě prohozní mechanismy, na pravé a levé části stroje. Konstrukčně se tyto mechanismy nijak neliší, jsou pouze jakýmsi "zrcadlovými mechanismy".

4. KINEMATICKÉ VYŠETŘOVÁNÍ MECHANISMU BÍBLENU  
ČLUNKOVÉHO TKACÍHO STROJE UT/S S JEHLOVOU  
NÁSTAVBOU

4.1 Kinematické řešení přírazového mechanismu



obr. č. 3

Při daných geometrických rozměrech mechanismu tj. délkách  $l_1, l_2, l_3, l_4$  jednotlivé členy 1, 2, 3, 4 určeme zdvihovou závislost  $=$ , , převodové funkce 24, 24 ° kinematické veličiny vzhleda 4.

K odvození základních vztahů použijeme tzv. vektorové metody. Uvažujeme čtyřkloubový mechanismus jako vektorový čtyřúhelník, pro který platí obr. č. 3

$$\overline{O_{21}A} + \overline{AB} = \overline{O_{21}O_{41}} + \overline{O_{41}B} \quad /a/$$

Rozepsáním této relace do složkových rovnic v osách X, Y dostaneme,

$$x \dots l_2 \cos \varphi + l_3 \cos \nu = l_1 + l_4 \cos \psi \quad /b/$$

$$y \dots l_2 \sin \varphi + l_3 \sin \nu = l_4 \sin \psi \quad /c/$$

přičemž předpokládáme polohové úhly  $\varphi, \psi, \nu$  ve stejném smyslu.

Vypočtením ze soustavy rovnic /b, c/ výrazu  $l_3 \cos \nu$ ,  $l_3 \sin \nu$ , jejichž umocněním a sečtením dostaneme:

$$l_3^2 = [(l_1 + l_4 \cos \psi) - l_2 \cos \varphi]^2 + [l_4 \sin \psi - l_2 \sin \varphi]^2 \quad /d/$$

Další úpravou získáme vztah

$$\frac{l_1^2 + l_2^2 + l_4^2 - l_3^2}{2l_2 l_4} - \frac{l_1}{l_4} \cos \psi + \frac{l_1}{l_2} \cos \psi - (\cos \psi \cos \psi + \sin \psi \sin \psi) = 0 \quad (4.1)$$

který bude výchozím pro stanovení zdvihofé závislosti i převodových funkcí.

### Zdvihofá závislost

Rovnici (4.1) úpravime do tvaru

$$A \sin \psi + B \cos \psi = C \quad (4.2)$$

kde

$$\begin{aligned} A &= \sin \psi & B &= \cos \psi - \frac{l_1}{l_2} \\ C &= \frac{l_1^2 + l_2^2 + l_4^2 - l_3^2}{2l_2 l_4} - \frac{l_1}{l_4} \cos \psi \end{aligned} \quad (4.3)$$

Substitucí

$$\sin \psi = \frac{2 \operatorname{tg} \frac{\psi}{2}}{1 + \operatorname{tg}^2 \frac{\psi}{2}} \quad \cos \psi = \frac{1 - \operatorname{tg}^2 \frac{\psi}{2}}{1 + \operatorname{tg}^2 \frac{\psi}{2}}$$

ve vztahu (4.2) dostaneme kvadratickou rovnici pro  $\operatorname{tg} \frac{\psi}{2}$

$$(B+C) \operatorname{tg}^2 \frac{\psi}{2} - 2A \operatorname{tg} \frac{\psi}{2} + (C - B) = 0$$

Jejim řešením získáme pro polohový úhel hnaného členu:

$$\operatorname{tg} \frac{\psi}{2} = \frac{A + \sqrt{(A^2 + B^2 - C^2)}}{B + C} \quad (4.4)$$

což je v podstatě zdvihofá závislost čtyřkloubového mechanismu. Dolní /horní/ znaménko platí pro plně /čárkováně/ naznačený na obr. č. 3

### Převodové funkce

Pro jejich určení lze v zásadě vyjít z relace /4.4/ tj.  $\psi = \psi(\varphi)$  a definičních vztahů:

$$\mu = \frac{d\psi}{d\varphi} \quad \nu = \frac{d^2\psi}{d\varphi^2} = \frac{d\mu}{d\varphi}$$

Při určování převodových funkcí postupujeme takto:

Vyjdeme z implicitní závislosti  $F(\varphi, \psi) = 0$ , dané vztahem /4.1/, kterou přepišeme do tvaru:

$$F(\varphi, \psi) = K_1 + K_2 \cos \psi - K_3 \cos \varphi - \cos(\varphi - \psi) = 0 \quad /4.5/$$

$$\text{kde } K_1 = \frac{l_1^2 + l_2^2 + l_4^2 - l_3^2}{2l_2 \cdot l_4}; \quad K_2 = \frac{l_1}{l_2}; \quad K_3 = \frac{l_1}{l_4}$$

/4.6/

Na základě vztahů:

$$\mu = \frac{d\psi}{d\varphi} = - \frac{F_\varphi}{F_\psi}$$

$$\nu = \frac{d^2\psi}{d\varphi^2} = - \frac{F_{\varphi\varphi} + 2F_{\varphi\psi}\mu + F_{\psi\psi}\mu^2}{F_\psi}$$

kde značí:

$$F_\varphi = \frac{\partial F}{\partial \varphi}; \quad F_\psi = \frac{\partial F}{\partial \psi}; \quad F_{\varphi\psi} = \frac{\partial}{\partial \varphi} \left( \frac{\partial F}{\partial \psi} \right) \text{ atd.}$$

a při použití závislostí /4.5/ jsou prvá a druhá převodová funkce čtyřkľubového mechanismu.

$$\mu_{24} = \frac{K_3 \sin \psi + \sin |\varphi - \psi|}{K_2 \sin \psi + \sin |\varphi - \psi|} \quad /4.7/$$

$$\nu_{24} = \frac{|\mu_{24}|^2 - \nu^2 \cos |\varphi - \psi| - \mu_{24}^2 K_2 \cos \psi + K_3 \cos \psi}{K_2 \sin \psi + \sin |\varphi - \psi|}$$

/4.8/

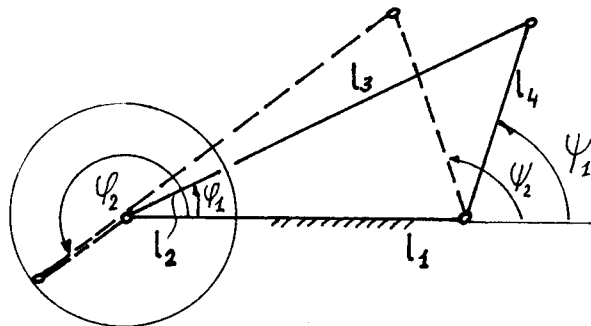
Při vlastním výpočtu stanovíme pro polohu mechanismu danou úhlem veličiny A, B, C z rovnic /4.3/, dále polohy úhlu  $\psi$  ze vztahu /4.4/ a převodové funkce z reakcí /4.7/ a /4.8/. Při daných kinematických veličinách  $\omega_{21}$ ,  $\epsilon_{21}$  hnací kliky 2 jsou kinematické veličiny vahadla 4 dány vztahy:

$$\omega_{41} = \mu_{24} \cdot \omega_{21} \quad /4.9/$$

$$\epsilon_{41} = \nu_{24} \cdot \omega_{21}^2 + \mu_{24} \cdot \epsilon_{21} \quad /4.10/$$

ve vztahu /4.10/  $\epsilon_{21} = 0$ , protože  $\omega_{21} = \text{konst.}$

S ohledem na zobrazení závislostí převodových funkcí stanovíme krajní polohy klikovahadlového mechanismu. Podle obr. /4/ přísluší pravé krajní polohy mechanismu polohové úhly  $\varphi_1, \psi_1$  a levé krajní polohy  $\varphi_2, \psi_2$  určené podle Késineové věty z příslušných trojúhelníků vztahy



obr. č. 4

$$\psi_1 = \arccos \frac{l_1^2 + l_2^2 + l_3^2 - l_4^2}{2 l_1 l_2 + l_3}, \quad /e/$$

$$\psi_1 = -\arccos \frac{l_1^2 + l_4^2 - l_2^2 - l_3^2}{2 l_1 l_4} \quad /f/$$

$$\psi_2 = +\arccos \frac{l_1^2 + l_3^2 - l_2^2 - l_4^2}{2 l_1 l_3 - l_2} \quad /g/$$

$$\psi_2 = -\arccos \frac{l_1^2 + l_4^2 - l_3^2 - l_2^2}{2 l_1 l_4} \quad /h/$$

Úhel výkyvu vahadla  $\psi_0 = \psi_2 - \psi_1$  příslušné úhly počítání kliky 2 jsou

$$\psi_{12} = \psi_2 - \psi_1$$

$$\psi_{21} = 2\pi - \psi_{12}$$

#### 4.1.1 Vlastní výpočet kinematických veličin a převodových funkcí přírazového mechanismu stavu UTAS

Vlastní výpočet kinematických veličin a převodových funkcí přírazového mechanismu byl proveden na počítače EC 1033 na základě uvedených vztahů a závislostí v kapitole č. 4.0 a jeho vlastních parametrů.

Výpočet byl proveden pro tři různé druhy užitné šíře

/165 cm, 215 cm, 265 cm/ a pro tři různé druhy otáček hlavního hřídele /  $200 \text{ min}^{-1}$ ,  $220 \text{ min}^{-1}$ ,  $240 \text{ min}^{-1}$ /.

Prohození mechanismus tkacího stavu UTAS má následující rozměry:

a/ pro užitné šíře 165 cm

$$\begin{aligned}l_1 &= 0, 723129 \text{ m} \\l_2 &= 0, 072 \text{ m} \\l_3 &= 0, 2600 \text{ m} \\l_4 &= 0, 6710 \text{ m}\end{aligned}$$

b/ pro užitné šíře 215 cm

$$\begin{aligned}l_1 &= 0, 78722 \text{ m} \\l_2 &= 0, 0800 \text{ m} \\l_3 &= 0, 2600 \text{ m} \\l_4 &= 0, 6710 \text{ m}\end{aligned}$$

c/ pro užitné šíře 265 cm

$$\begin{aligned}l_1 &= 0, 78722 \text{ m} \\l_2 &= 0, 0800 \text{ m} \\l_3 &= 0, 2600 \text{ m} \\l_4 &= 0, 6710 \text{ m}\end{aligned}$$

Hodnoty převodových funkcí jsou uvedeny v tabulkách č. 4 a č. 5 a grafické znázornění průběhu převodových funkcí  $\mu_{41}$  a  $\nu_{41}$  jsou na grafech č. 2 až č. 3. A na grafu č. 1 uveden průběh zdvihové závislosti /závislosti úhlu  $\Psi$  na úhlu  $\varphi$ / přírazového mechanismu.

kde I - je zdvihová závislost pro užitnou šíři 165 cm

II - je zdvihová závislost pro užitné šíře 215 cm a 265 cm

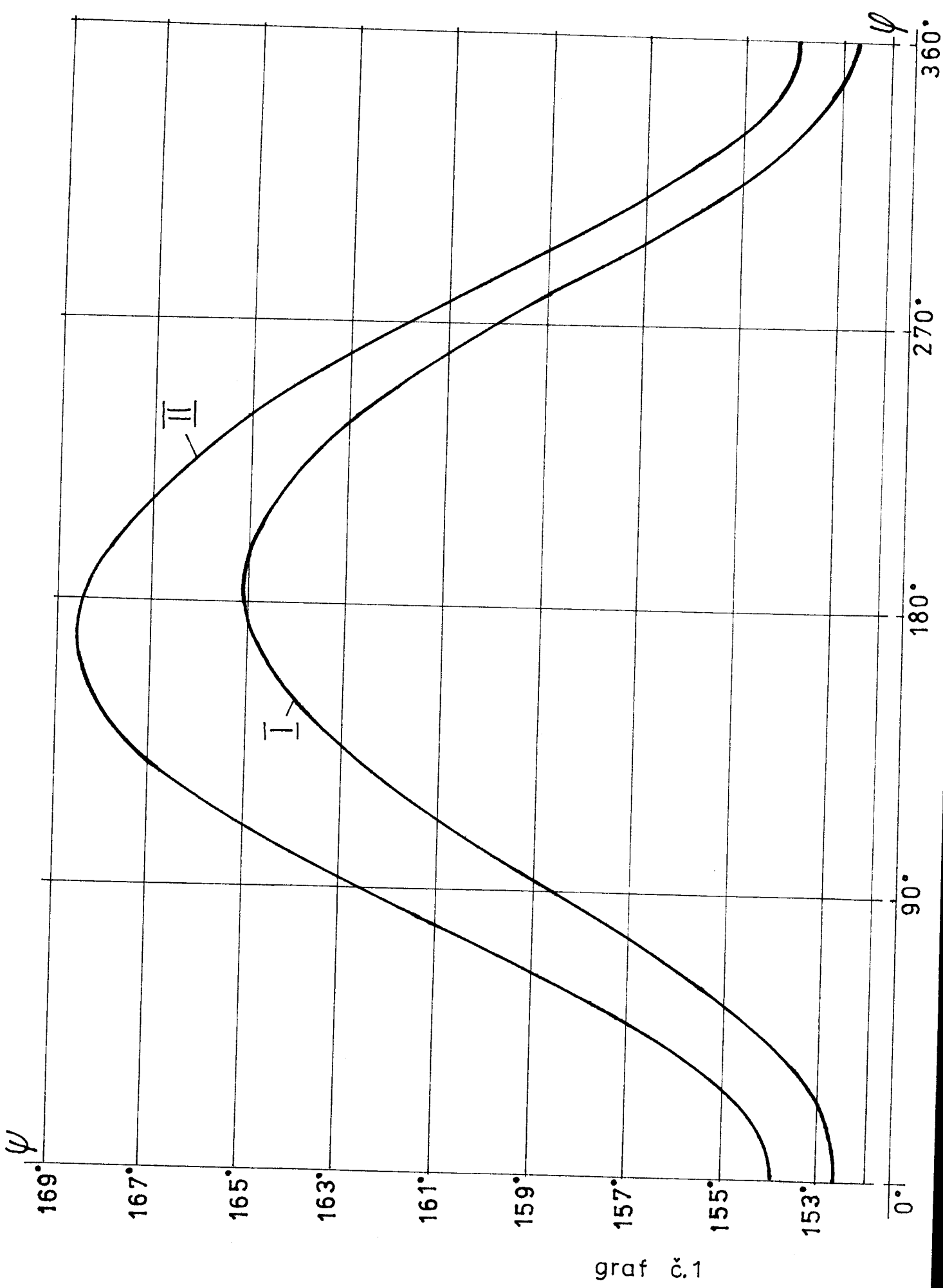
$\mu_I$  - prvá převodová funkce pro užitnou šíři 165 cm

$\mu_{II}$  - prvá převodová funkce pro užitné šíře 215 cm a 265 cm

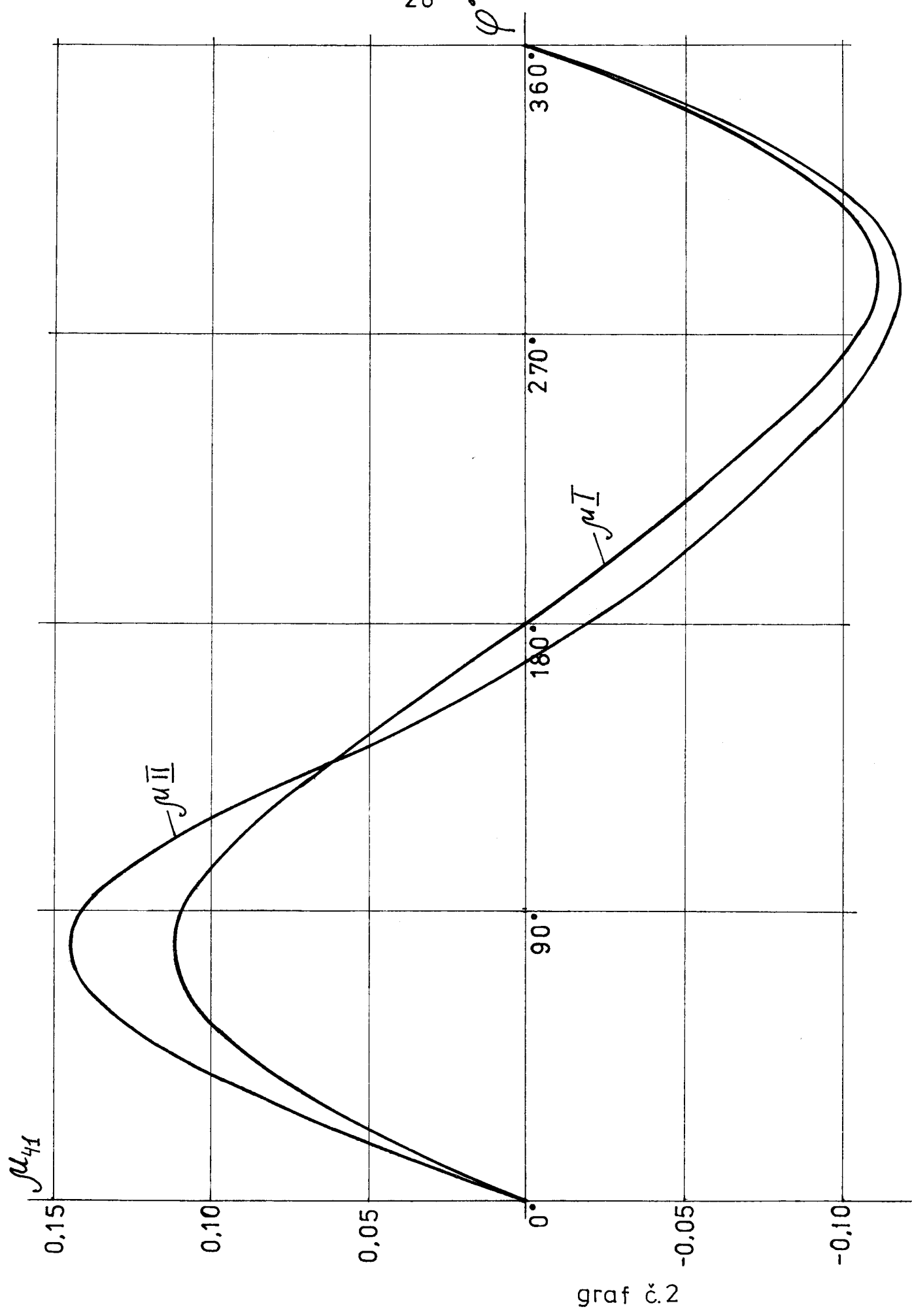
$\nu_I$  - druhá převodová funkce pro užitnou šíři 165 cm

$\nu_{II}$  - druhá převodová funkce pro užitné šíře 215 cm a 265 cm

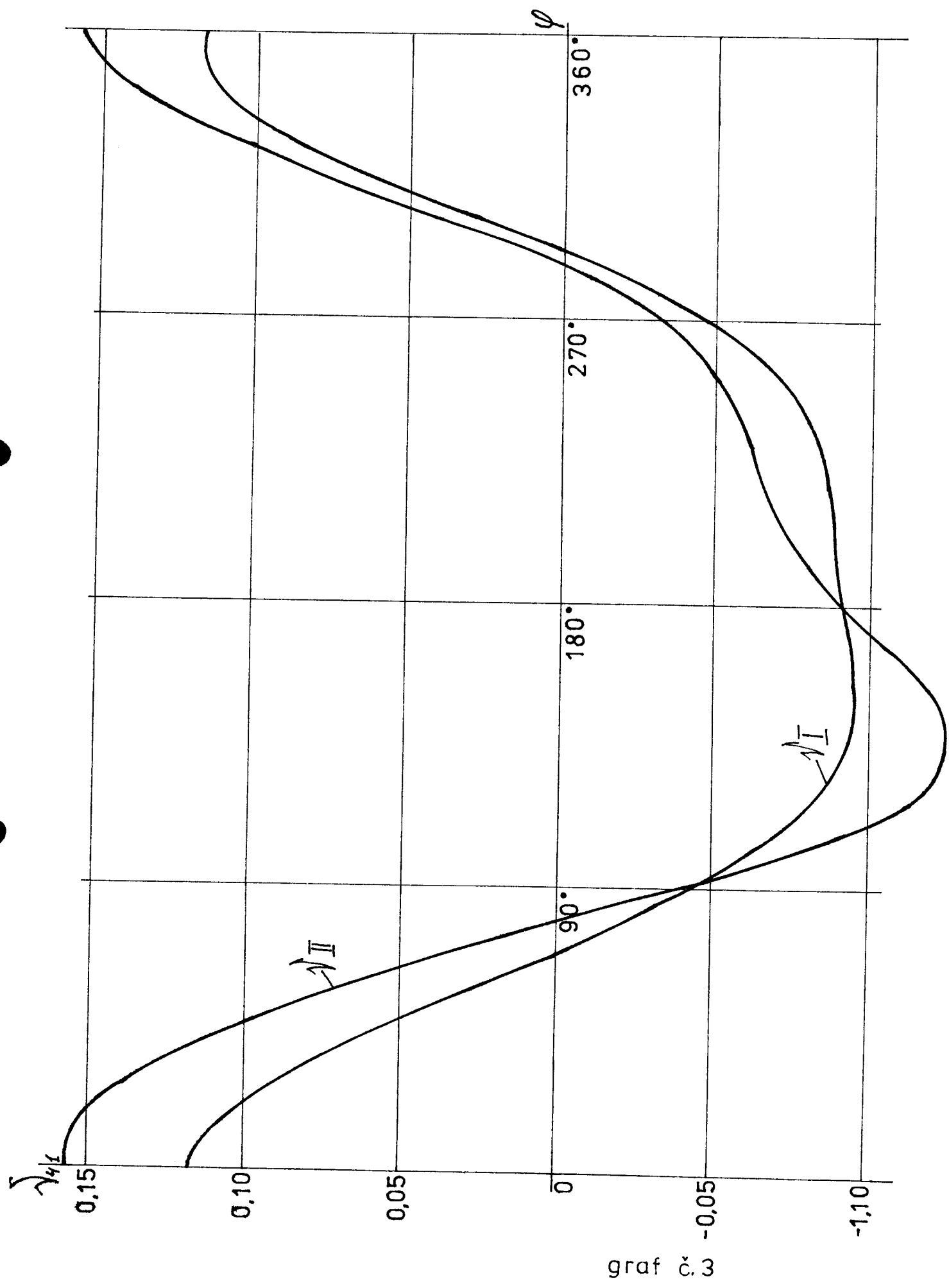
Program kinematického řešení přírazového mechanismu a výsledky řešení jsou v příloze.



graf č. 1



graf č. 2



Tabulka č. 4

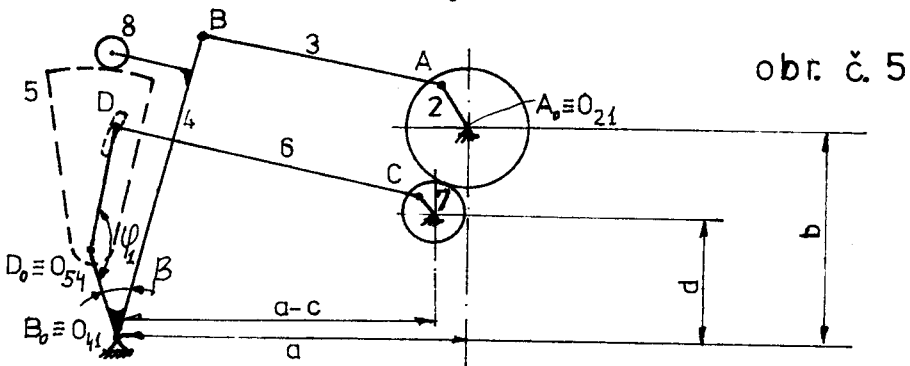
$\varphi [^{\circ}]$	$\psi [^{\circ}]$	$\mu_I$	$\nu_I$
0	157,3821	- 0,11058	0,01510
10°	156,2972	- 0,10553	0,04219
20°	155,2862	- 0,09583	0,06955
30	154,3960	- 0,08145	0,03465
40	153,6705	- 0,06306	0,11519
50	153,1452	- 0,04160	0,12952
60	152,8448	- 0,01826	0,13678
70	152,7820	0,00573	0,13691
80	152,9573	0,02915	0,13046
90	153,3595	0,05093	0,11834
100	153,9677	0,07019	0,10166
110	154,7525	0,08622	0,08155
120	155,6796	0,09852	0,05914
130	156,7096	0,10679	0,03554
140	157,8016	0,11093	0,01189
150	158,9146	0,11100	- 0,01072
160	160,0092	0,10731	- 0,03116
170	161,0496	0,10029	- 0,04862
180	162,0059	0,09055	- 0,06235
190	162,8538	0,07876	- 0,07216
200	163,5764	0,06558	- 0,07826
210	164,1999	0, 05162	- 0,08123
220	164,6078	0,03736	- 0,08186
230	164,9101	0,02312	- 0,08106
240	165,0709	0, 00909	- 0,07958
250	165,0929	- 0,00465	- 0,07788
260	164,9788	- 0,01810	- 0,07632
270	164,73174	- 0,03130	- 0,07497
280	164,3536	- 0,04427	- 0,07365
290	163,8471	- 0,05699	- 0,07196
300	163,2151	- 0,06933	- 0,06925
310	162,4624	- 0,08105	- 0,06467
320	161,5974	- 0,09174	- 0,05721
330	160,6330	- 0,10080	- 0,04591
340	159,5893	- 0,10749	- 0,03005
350	158,4936	- 0,11102	- 0,00949
360	157,3821	- 0,11058	0,01510

Tabulka č. 5

$\varphi [^{\circ}]$	$\psi [^{\circ}]$	$\mu_{II}$	$\nu_{II}$
0	158,4591	- 0,1131189	0,0424645
10	157,3729	- 0,1033189	0,0699545
20	156,4087	- 0,0887291	0,0969445
30	155,6133	- 0,0696504	0,1209997
40	155,0284	- 0,0467890	0,1399788
50	154,6867	- 0,0211728	0,1523823
60	154,6100	0,0059767	0,1574872
70	154,8071	0,0333737	0,1552709
80	155,2741	0,0597771	0,1462069
90	155,9955	0,0840534	0,1310222
100	156,9447	0,1052018	0,1104975
110	158,0862	0,1223558	0,0853578
120	159,3761	0,1347681	0,0562763
130	160,7636	0,1418145	0,0240169
140	162,1929	0,1430315	- 0,0102866
150	163,6041	0,1382108	- 0,0447814
160	164,9376	0,1275488	- 0,0766923
170	166,1381	0,1117866	- 0,1026275
180	167,1607	0,0922489	- 0,1196191
190	167,9761	0,0706289	- 0,1264651
200	168,5720	0,0486285	- 0,1243627
210	168,9519	0,0275688	- 0,1162415
220	169,1291	0,0082100	- 0,1053841
230	169,1226	- 0,0092090	- 0,0943474
240	168,9511	- 0,0248008	- 0,0846124
250	168,6317	- 0,0388535	- 0,0767416
260	168,1781	- 0,0516950	- 0,0706857
270	167,6008	- 0,0636098	- 0,0660345
280	166,9083	- 0,0747007	- 0,0621592
290	166,1072	- 0,0853072	- 0,0582766
300	165,2046	- 0,0950797	- 0,0534735
310	164,2089	- 0,1038609	- 0,0467388
320	163,1321	- 0,1112224	- 0,0370425
330	161,9912	- 0,1165661	- 0,0234877
340	160,8099	- 0,1191643	- 0,0055354
350	159,6197	- 0,1182454	- 0,0167392
360	158,4591	- 0,1131190	- 0,0424641

#### 4.2 Kinematické řešení jehlového prohozního mechanismu

Jehlový prohozní mechanismus aplikovaný na tkacím stroji UTAS je v kinematickém schematu nakreslen na obrázku /5/. Jedná se o mechanismus sedmičlenný.



obr. č. 5

Pohyblivost rovinných kinematických řetězců určujeme z Čebyševovy-Grüblerovy vazbové závislosti. Pro mechanismus uvedený na obr. /5/ platí:

$$i = 3 / n - 1 / - 2 / R + V + P / - 0$$

$$i = 3 / 7 - 1 / - 2.8 - 1$$

$$i = 1$$

Mechanismus má tedy jeden stupeň volnosti. Znamená to, že mechanismus má jeden hnací člen, a to člen 2, který je poháněn od hlavního hřídele stroje. Přes ozubený převod je poháněn také člen 7 /excentr/, v převodovém poměru 1 : 2. Z uvedeného vyplývá, že na jednu otáčku hlavního hřídele se otočí dvakrát hřídel spodní, ale v opačném smyslu.

Kinematickým vyšetřením mechanismu určíme zdvihovou závislost mezi členy 4 a 5. Označíme-li  $\varphi_1$  úhel mezi členy 4 a 5 a zavedeme-li úhel pootečení hlavního hřídele, potom hledané kinematické závislosti budou:

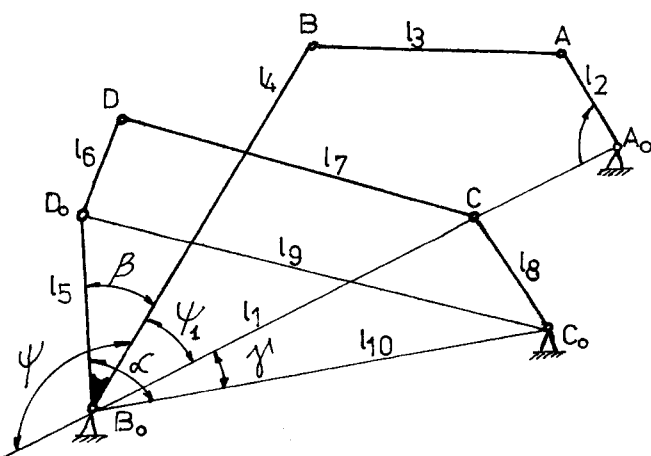
$$\varphi_1 = \varphi_1, \varphi_1$$

$$\omega_{45} = \omega_{45}(\varphi_1) \quad \mathcal{E}_{45} = \mathcal{E}_{45}(\varphi_1)$$

#### Vlastní kinematické řešení prohozního mechanismu

V prvním kroku kinematického řešení zjistíme závislost  $\alpha - \alpha(\varphi_1)$ . Úhel  $\alpha$  je úhel mezi spojnicemi bodu  $A_0 B_0$  a  $C_0 B_0$ .

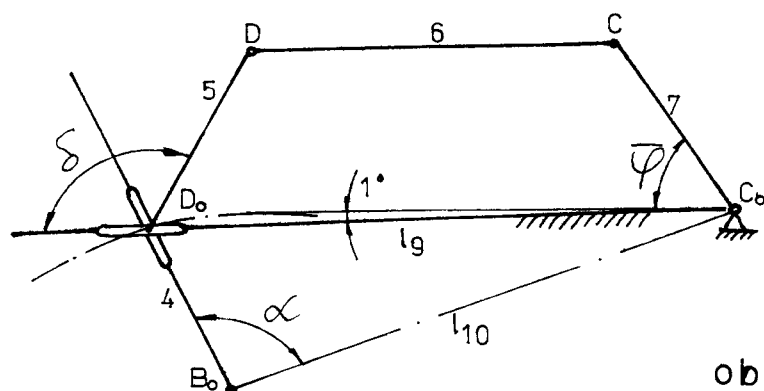
Úhel  $\delta$  se skládá, jak je patrné z obrázku /6/, z úhlů  $\beta, \gamma$ ,  $\psi_1 \cdot \beta \cdot \gamma$  jsou úhly konstantní, úhel  $\psi_1 = 180^\circ - \psi$ , kde  $\psi = \psi(\varphi)$



obr. č. 6

Z čtyřčlenného mechanismu  $A \bullet A \bullet B \bullet B$  vyplývá zdviheová závislost úhlu  $\psi$  na úhlu  $\varphi$ . Tuto závislost jsme získali při kinematickém řešení přírazového mechanismu v hlavě /4.1/. Závislost /4.4/ je pomocnou závislostí pro určení důležité závislosti  $l_9 = l_9(\varphi)$ .

V druhém kroku uvažujeme čtyřčlenný mechanismus  $C \bullet C \bullet D \bullet D$ . Vzhledem k tomu, že bod  $D_0$  rotuje kolem bodu rámu  $B$ , na  $l_5$  je poloha bodu  $D_0$  funkcí úhlu pohybu hlavního hřídele stroje. Musíme proto zavést jakési zjednodušení. Podle obr. /7/ zanedbáváme stoupání a klesání bodu  $D_0$ . Vzhledem k pevnému bodu rámu  $C_0$  mají úvratě bodu  $D_0$  v okamžiku přírazu a v okamžiku druhé úvratě edchylku o kruhu jednoho stupně. Tuto edchylku nemusíme uvažovat a nahradíme ji jakýmsi modelem, ve kterém bod  $D_0$  posouvá po přímce.



obr. č. 7

$l_9 = l_9(\alpha) = l_9(\varphi)$  a tuto závislost již známe /viz další řešení/.

Z uvedeného čtyřkruhového mechanismu můžeme také určit první a druhou převodovou funkci  $M_{45}$  a  $V_{45} \cdot \omega_{71}$ . Je však v převodovém poměru k  $\omega_{21} 2 : 1$ .

Z trojúhelníku  $B_9 C_9 D_9$  určíme závislost  $l_9 = l_9 / \delta$

$$l_9^2 = l_5^2 + l_{10}^2 - 2 l_{10} \cdot l_5 \cdot \cos \angle \quad /4.11/,$$

kde  $\angle = \beta + \gamma + \psi_1 = \beta + \gamma + 180^\circ - \varphi$

Pro další řešení nás zajímá úhel  $\delta$  a závislost  $\delta = \delta(\varphi)$ . Pro určení závislosti  $\delta = \delta(\varphi)$  můžeme použít známý vztah /4.4/, protože zde také provádíme řešení čtyřkolebového mechanismu:

$$\delta = 2 \arctg \frac{E \pm \sqrt{E^2 + F^2 - G^2}}{F + G} \quad /4.12/,$$

kde

$$E = \sin \bar{\varphi}; \quad F = \cos \bar{\varphi} - \frac{l_9}{l_8}$$

$$G = \frac{l_9^2 + l_8^2 + l_6^2 - l_7^2}{2 \cdot l_8 \cdot l_6} - \frac{l_9}{l_6} \cdot \cos \bar{\varphi}$$

$$\bar{\varphi} = 360^\circ - 2\varphi$$

Posledním krokem řešení je určení první a druhé převodové funkce. Pro jejich získání lze v zásadě vyjít z relace /4.12/

tj.  $\delta = \delta(\bar{\varphi})$  a definičních vztahů:

$$\mu = \frac{d\delta}{d\bar{\varphi}} \quad \nu = \frac{d^2\delta}{d\bar{\varphi}^2} = \frac{d\mu}{d\bar{\varphi}}$$

Při určování převodové funkce postupujeme takto:

Vyjdeme z implicitní závislosti  $F = 18; \bar{\varphi} / = 0$ , dané roztahem

$$F/\delta; \bar{\varphi}_1 = D_1 + D_2 \cos \delta - D_3 \cos \bar{\varphi} - \cos (\bar{\varphi} - \delta) = 0$$

$$\text{kde } D_1 = \frac{l_9^2 + l_8^2 + l_6^2 - c_7^2}{2 \cdot l_8 \cdot l_6} \quad /4.13/$$

$$D_2 = \frac{l_9}{l_8}$$

$$D_3 = \frac{l_9}{l_6}$$

Na základě vztahů

$$\mu = \frac{d\delta}{d\bar{\varphi}} = - \frac{F\bar{\varphi}}{F\delta}$$

$$\nu = \frac{d^2\delta}{d\bar{\varphi}^2} = - \frac{F\bar{\varphi}\bar{\varphi} + 2F\bar{\varphi}\delta \cdot \mu + F\delta\delta \cdot \mu^2}{F\delta}$$

kde značí:

$$F_{\bar{\varphi}} = \frac{\partial F}{\partial \bar{\varphi}} ; \quad F_{\delta} = \frac{\partial F}{\partial \delta} ; \quad F_{\bar{\varphi}, \delta} = \frac{\partial}{\partial \delta} \left( \frac{\partial F}{\partial \bar{\varphi}} \right)$$

a při použití závislostí /4.13/ jsou první a druhá převodová funkce čtyřklenubového mechanismu:

$$\mu_{45} = \frac{D_3 \sin \bar{\varphi} + \sin |\bar{\varphi} - \delta|}{D_2 \sin \delta + \sin |\bar{\varphi} - \delta|} \quad /4.14/$$

$$\nu_{45} = \frac{|\mu_{45} - 1|^2 \cdot \cos |\bar{\varphi} - \delta| - \mu_{45}^2 \cdot D_2 \cos \delta + D_3 \cos \bar{\varphi}}{D_2 \sin \delta + \sin |\bar{\varphi} - \delta|} \quad /4.15/$$

Při daných kinematických veličinách  $\omega_{71}$ ,  $\epsilon_{71}$  hnací kliky 7 jsou kinematické veličiny vahadla 5 dány vztahy:

$$\omega_{45} = \mu_{45} \cdot \omega_{71} \quad /4.16/$$

$$\epsilon_{45} = \nu_{45} \cdot \omega_{71} + \mu_{45} \cdot \epsilon_{71} \quad /4.17/,$$

kde  $\omega_{71} = 2\omega_{21}$

Získané převodové funkce  $\mu_{45}$  a  $\nu_{45}$  jsou moc důležité pro další řešení dymaniky přírazového mechanismu, kde budeme brát v úvahu vliv přehozního mechanismu na mechanismus přírazu.

Výpočet převodových funkcí byl proveden na počítače EC 1033 na základě skutečných rozměrů mechanismu pro tkací stroj s užitou šíří 265 cm a otáčkami hlavního hřídele  $240 \text{ min}^{-1}$

$$l_1 = 787,22 \text{ mm}, \quad l_2 = 80 \text{ mm}, \quad l_3 = 260 \text{ mm}$$

$$l_4 = 671,00 \text{ mm}, \quad l_5 = 173 \text{ mm}, \quad l_6 = 138 \text{ mm}$$

$$l_7 = 416,00 \text{ mm}, \quad l_8 = 13 \text{ mm}, \quad l_{10} = 566,63 \text{ mm}$$

$$\beta = 26^\circ \quad \gamma = 19,9^\circ$$

Hodnoty převodových funkcí jsou uvedeny v tabulkách /6/ a /7/ a grafické znázornění průběhu  $\mu_{45}$  a  $\nu_{45}$  jsou na

grafech /4/ a /5/.

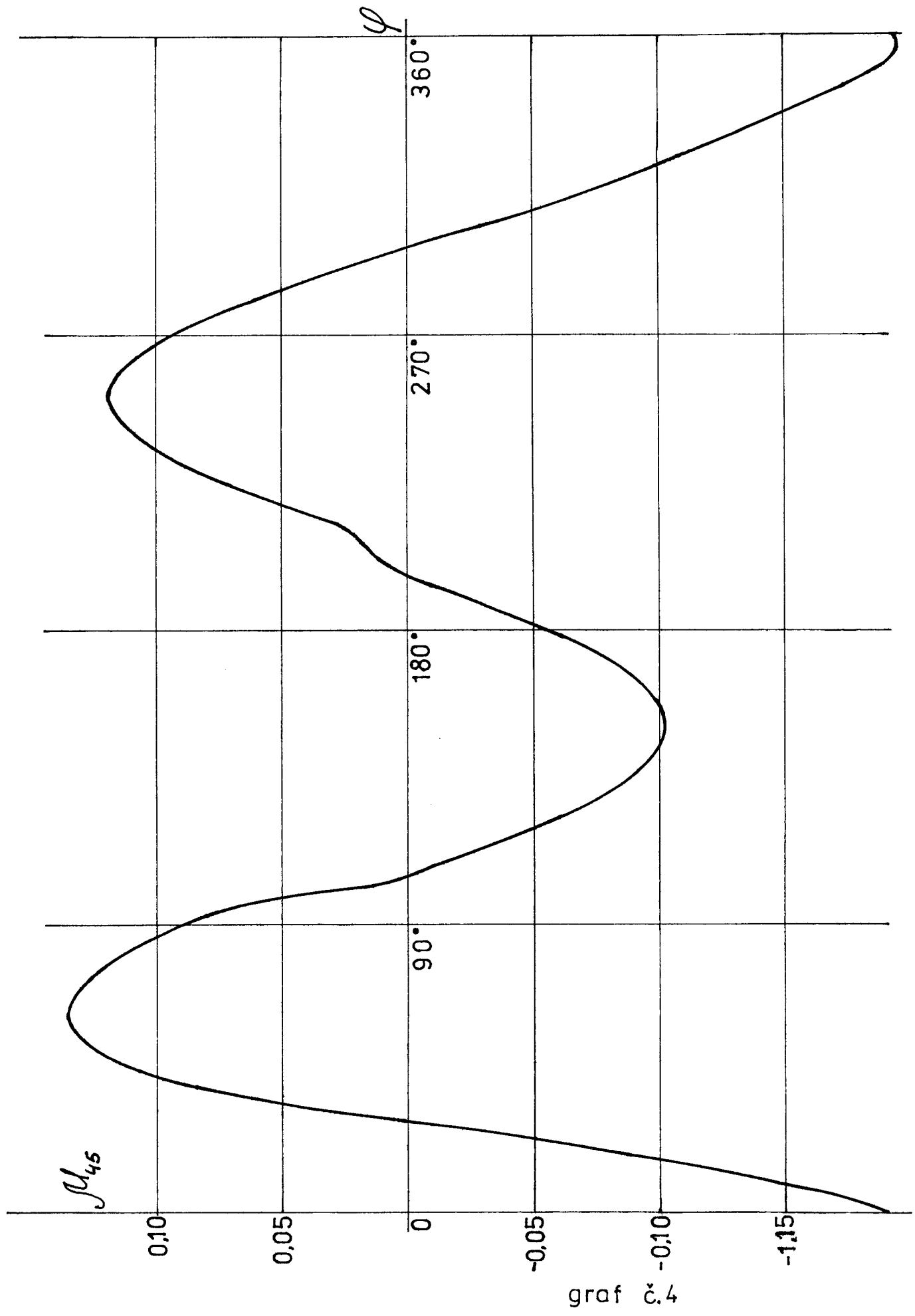
Program kinematického řešení prohozního mechanismu  
a výsledky řešení jsou v příloze.

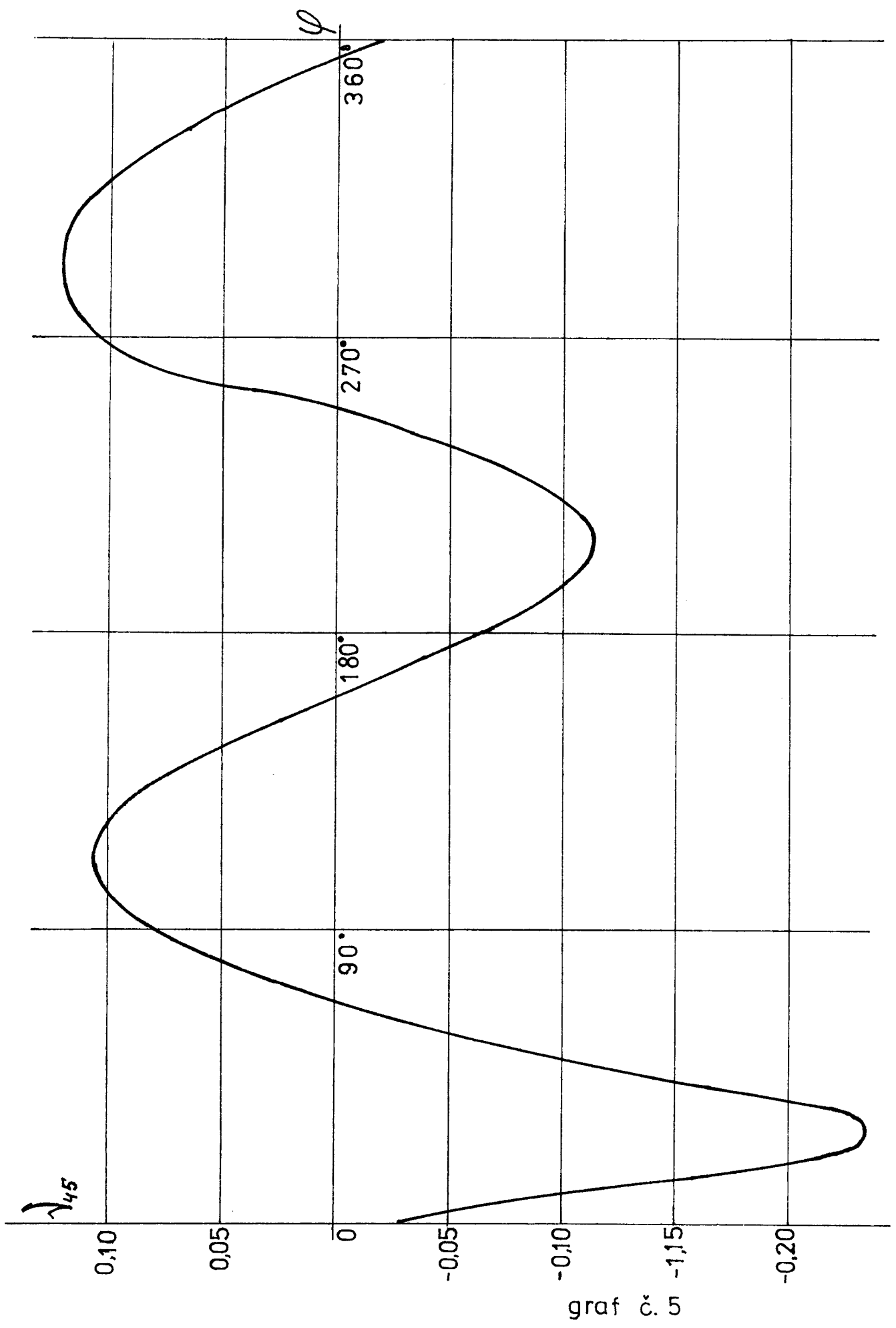
Tabulka č. 6

$\varphi$ [°]	$d(\varphi)$ [°]	$\delta(\varphi)$ [°]
0	67,442	140,003
10	68,527	142,626
20	69,491	143,915
30	70,286	149,712
40	70,872	153,801
50	71,213	157,890
60	71,289	161,544
70	71,093	164,067
80	70,626	164,552
90	69,994	162,539
100	68,955	158,585
110	67,814	153,611
120	66,524	148,312
130	65,136	143,142
140	63,707	138,404
150	62,296	134,388
160	60,862	131,223
170	59,762	129,045
180	58,739	127,896
190	57,924	127,738
200	57,328	128,447
210	56,948	129,832
220	56,771	131,662
230	56,777	133,689
240	56,949	135,671
250	57,268	137,391
260	57,722	138,672
270	58,299	139,400
280	58,992	139,547
290	59,793	139,185
300	60,695	138,479
310	61,691	137,664
320	62,768	137,000
330	63,908	136,735
340	65,098	137,072
350	66,280	138,143
360	67,441	140,003

Tabulka č.7

$\varphi [^{\circ}]$	$M_{45}$	$N_{45}$
0	-0,025383	0,119261
10	-0,065979	0,108886
20	-0,103085	0,091250
30	-0,134599	0,068766
40	-0,158716	0,042749
50	-0,172670	0,010683
60	-0,169989	-0,038359
70	-0,137365	-0,123758
80	-0,064607	-0,221248
90	+0,023828	-0,232557
100	0,089756	-0,165962
110	0,124792	-0,090787
120	0,135891	-0,029268
130	0,129777	0,018842
140	0,110922	0,056115
150	0,082631	0,083548
160	0,047982	0,100741
170	0,010307	0,106777
180	-0,026735	0,101202
190	-0,059452	0,084748
200	-0,084598	0,059587
210	-0,099802	0,028639
220	-0,103752	-0,004995
230	-0,096123	-0,038581
240	-0,077439	-0,069548
250	-0,049082	-0,094835
260	-0,013517	-0,110448
270	0,025442	-0,112145
280	0,062782	-0,097467
290	0,093152	-0,067764
300	0,112141	-0,028164
310	0,117253	0,014580
320	0,108137	0,054381
330	0,086250	0,086804
340	0,054332	0,109059
350	0,015877	0,119859
360	-0,025383	0,119261





## 5. DYNAMICKÉ ŘEŠENÍ PŘÍRAZOVÉHO MECHANISMU STROJE UTAS

Přírazový mechanismus stroje UTAS je čtyřkloubový mechanismus. Při vyšetřování mechanismu, které je ve srovnání s řešením jiných základních mechanismů dosti složité vycházíme z kinematických veličin zjištěných ze vztahů v kapitole 3.0 a z hodnot vypočítaných pomocí programu 3.1.

K řešení musíme uvést několik konkrétních předpokladů dle obr. 8:

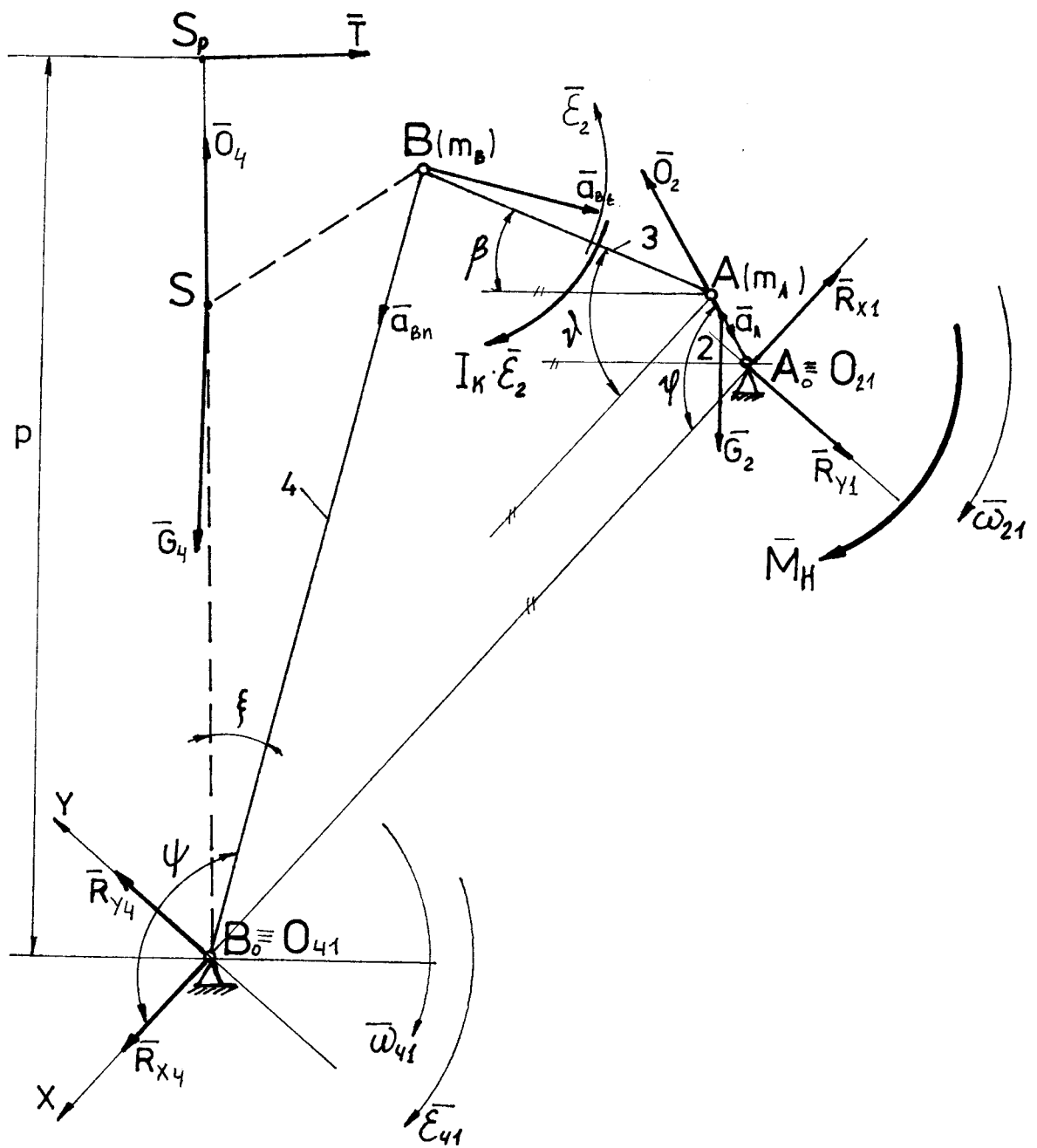
- a/ Člen 2 - Klika se otáčí konstantní rychlostí a svým tvarom není vyvážená, proto musíme brát v úvahu její dynamické účinky.
- b/ Člen 3 - Ojnice nahrazujeme "statickým" způsobem dvěma hmotnými body  $m_A$  a  $m_B$  a zároveň připejujeme dvojici  $I_K \cdot \dot{\mathcal{E}}_2$ , příslušné korektnímu momentu setrvačnosti
- c/ Jelikož čtyřkloubový mechanismus nemá konstantní převod na kývavý člen 4 - bidlen, jeho úhlová rychlosť není konstantní a mění se i jeho úhlové zrychlení. Proto zde vznikají dynamické účinky. Uvažujeme s odstředivou silou v těžišti bidlemu, tečnou silou v ose rotace a s výslednou setrvačnou dvojicí.
- d/ Síla  $P$  je přírazová síla, působí na bidlen 4 jenom v určitých časových okamžicích a to je v okamžík přírazu.

### Obecné dynamické řešení

Provedeme je nejprve analytickou metodu uvolnění jednotlivých členů, a to s použitím již zjištěných hmotných a kinematických veličin. Budeme vyšetřovat hnací účinky a zjišťovat reakce v kloubech celého mechanismu.

Mechanismus rozdělíme na tři části: klika, ojnice a vahadlo. Hnacím členem je klika hnaná momentem  $M_h$  a vahadlo je zatíženo vnější silou  $P$ .

Členy 2 a 3 jsou uloženy na rámu a jejich účinky na rám zachycují vnější reakce  $R_{x1}$ ,  $R_{y1}$ ,  $R_{x4}$ ,  $R_{y4}$ , které mají směr os pravoúhlých souřadnic X a Y. Osu X vytváří spojnice os rotace /rám/ a Y je na ní kolmá v bodě  $O_1$ .



obr. č. 8

Jako vnitřní reakce uvažujeme reakce v kleubech A a B jsou  $A_1$ ,  $A_2$ ,  $B_1$ ,  $B_2$ . Reakce  $B_2$  a  $A_2$  působí ve směru osy ojnice a  $A_1$  a  $B_1$  kolmo na ní. /obr. 9/.

Uvolňovací metoda, analogicky jako ve statice, je i v dynamice obecnou metodou dynamického řešení soustav těles. Lze jí použít u soustav s konstatním i proměnným převodem.

Při vlastním řešení postupujeme takto:

Jednotlivá tělesa soustavy uvolníme od rámu a připojením reakcí  $Rx_1$ ,  $Ry_1$ ,  $Rx_4$ ,  $Ry_4$  a vzájemně od sebe s uvažováním vnitřních sil  $/A_1$ ,  $A_2$ ,  $B_1$ ,  $B_2/$  /viz obr. 9/. Pro takto uvolněná tělesa napišeme pohyblivé rovnice. K pohybovým rovnicím připojíme další podmínky, tj. kinematické rovnice /vyjadřující vztah mezi kinematickými veličinami jednotlivých členů/, statické podmínky /vztahy pro pasivní odpory/, respektivě jiné závislosti tak, aby soustava byla řešitelná.

Sestavujeme pohybové rovnice podle d'Alambertova principu. U d'Alambertova principu vyjdeme ze základní pohybové rovnice tj.

$$\bar{F} = m \cdot \bar{a} \quad /5.1/,$$

kterou můžeme formálně přepsat do tvaru:

$$\bar{F} - m \cdot \bar{a} = \bar{0} \quad /5.2/$$

Označíme-li v této relaci sílu:

$$\bar{D} = -m \cdot \bar{a} \quad /5.3/$$

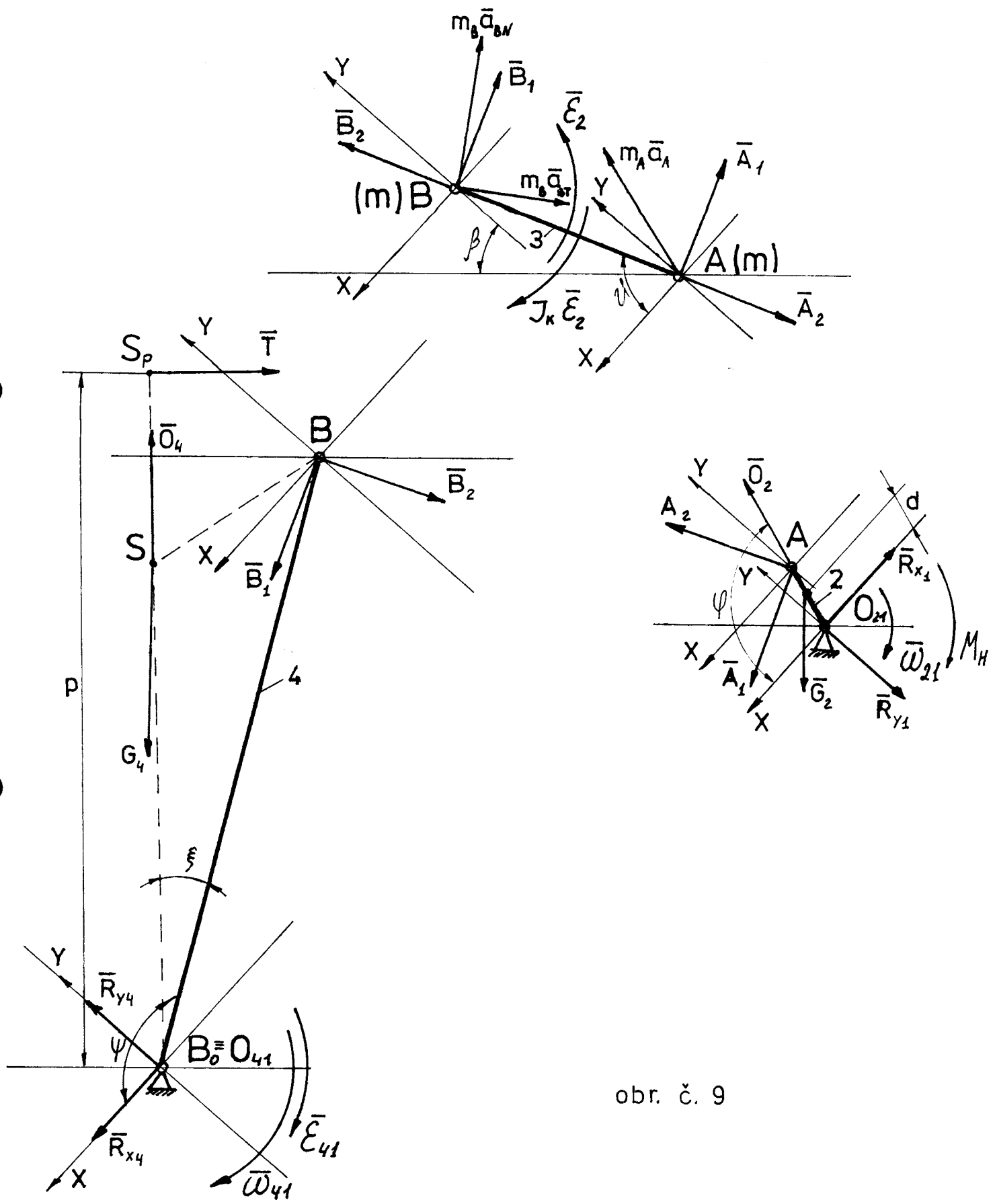
pak lze přepsat /5.2/ ve tvaru:

$$\bar{F} + \bar{D} = \bar{0} \quad /5.4/$$

která vyjadřuje podmínu rovnováhy výslednice  $\bar{F}$  působících sil / $\bar{F} = \sum F_i$ / a síly  $\bar{D}$ . Síla vyplývá ze změny pohyblivého stavu bodu vlivem působící síly  $\bar{F}$ , je tedy silou dynamického původu. Nazvem ji doplnkovou dynamickou silou.

Z toho vyplývá obecná věta o d'Alambertově principu pro bod:

Soustavu působících sil na hmotný bod uvádí do rovnováhy sestravná síla stejně velká jako zrychlující, ale opačného smyslu.



obr. č. 9

Pak vyjádříme pro jednotlivá tělesa podmínky rovnováhy působících a doplňkových dynamických účinků. Obecnou rovnici /5.4/ rozepisujeme do vhodných skalárních rovnic podle souřadného systému. Dostaneme proto pro každou část mechanismu dvě statické rovnice rovnováhy ve směru os X a Y a jednu momentovou pohybovou rovnici vzhledem ke středu rotace.

#### Rovnováha na klice

Klika 2 rotuje kolem osy  $O_{21}$  konstantní úloževou rychlostí  $\omega_{21}$  /obr. 9/. Vzhledem k hmotnosti člena 2 uvažujeme vliv těhové síly  $G_2$ . Člen 2 není vyvážen proto při otáčení kliky vzniká odstředivá síla  $\bar{O}_2$ , kterou určujeme vztahem

$$O_2 = m_2 \cdot d \cdot \omega_{21}^2 \quad /5.5/$$

Člen 2 také namáhán hnacím momentem  $M_h$  od systému pohoru. Vnitřní síly  $A_1$  a  $A_2$  mají směr zvolený ve směru ojnice a kolmo na něj. Tyto síly jsou reakcemi  $R_x$ , a  $R_y$ . Sestavením rovnic rovnováhy dle d'Alamberta podle obr. 9 získáme soustavu rovnic

$$x: -R_x + A_2 \cdot \cos\varphi + O_2 \cdot \cos\varphi + A_1 \cdot \sin\varphi + G_2 \cos\beta = 0 \quad /5.6/$$

$$y: -R_y + O_2 \cdot \sin\varphi + A_2 \cdot \sin\varphi - A_1 \cdot \cos\varphi - G_2 \sin\beta = 0 \quad /5.7/$$

$$M: +G_2 \cdot d \cdot \sin(\varphi - \beta) - A_2 \cdot \sin(\varphi - \vartheta) \cdot l_2 - A_1 \cdot \cos(\varphi - \vartheta) \cdot l_2 + M_h = 0 \quad /5.8/$$

#### Rovnováha na ojnice

Ojnice /člen č. 3/ je spojovacím článkem mezi klikou a vahadlem. Vykonává obecný rovinový pohyb, protože trajektorie pohybu jejich klobub A, B jsou kružnice o různých poloměrech křivosti. Takže ojnice vykonává současně rotační a posuvný pohyb. Jelikož hmota ojnice je ve srovnání s hmotou vahadla zanedbatelná, mohly bychom ji zanedbat, ale pro přesnější výpočet provedeme nahrazení hmoty ojnice obecně dvěma hmotnými body  $m_1$  a  $m_2$ . Nahrazení musí být takové, že musíme

zachovat celkovou hmotu a moment setrvačnosti. Musí platit:

$$m = m_1 + m_2 \quad /5.9/$$

$$0 = m_1 \cdot r_1 - m_2 \cdot r_2 \quad /5.10/$$

$$I_S = m_1 \cdot r_1^2 + m_2 \cdot r_2^2 \quad /5.11/$$

Oba body leží na centrální přímce /prochází těžištěm/, a protože je ojnice symetrická podle příčné osy, máme těžiště uprostřed a celková hmota se rozdělí na dvě poloviny.

$$m_A = m_B = \frac{m}{2}, \quad m_A \neq m_1, \quad m_B \neq m_2 \quad /5.12/$$

Dále platí:

$$I_S = m \cdot r_1 \cdot r_2, \quad r_1 = r_2 = \frac{l_3}{2} \quad /5.13/$$

Pozn.:  $I_{S2}$  je moment setrvačnosti ojnice k těžišti, zatím co  $I_S$  je náhradní moment.

Při dynamickém vyšetřování je třeba zavést korekční moment setrvačnosti  $I_k$ , doplňující moment setrvačnosti hmot  $m_A$  a  $m_B$  na moment setrvačnosti  $I_{S2}$ , protože tím není splněna rovnice /5.11/.

$$I_k = I_{S2} - /m_A \cdot r_1^2 + m_B \cdot r_2^2/ = I_{S2} - \frac{m \cdot l_3}{4} \quad /5.14/$$

V ebech budech uvažujeme se setrvačnou silou:

$$0_A = m_A \cdot a_A - způsobená normálovým zrychlením  $a_A$  \quad /5.15/$$

$$0_B = m_B \cdot a_B - způsobena zrychlením  $a_B$  a korekční silou dvející \quad /5.16/$$

$$M_k = I_k \cdot \mathcal{E}_2 \quad /5.17/$$

která působí v opačném smyslu jako úhlové zrychlení  $\dot{\varphi}_2$ .

Vnitřní sily  $A_1$ ,  $A_2$  a  $B_1$ ,  $B_2$  mají zvolený směr s opačnou orientací ve srovnání s uvedenými členy 2 a 4.

Bod B se pohybuje po kruhovém oběhuku o poloměru křivosti přibližně dvakrát větší než v bodu A. Bod A obíhá kolem středu rotace v celém obvodu. Proto zavádime úvahu, že ojnice přibližně kýve kolem relativního středu otáčení B a pro takový předpoklad volíme směr úhlového zrychlení  $\ddot{\epsilon}_2$ .

Sestavíme rovnice rovnováhy podle principu d'Alambera /viz obr. 9/

$$\checkmark x: -A_2 \cos \vartheta - A_1 \sin \vartheta - m_A \cdot a_A \cos \varphi - B_1 \sin \vartheta + B_2 \cos \vartheta \\ + m_B \cdot a_B \cdot \cos \varphi - a_{Bt} \cdot m_B \cdot \sin \varphi = 0 \quad /5.18/$$

$$\checkmark y: B_1 \cos \vartheta + B_2 \sin \vartheta + A_1 \cos \vartheta - A_2 \sin \vartheta + a_A \cdot m_A \sin \varphi \\ + a_{Bt} \cdot m_B \cos \varphi + a_B \cdot m_B \cdot \sin \varphi = 0 \quad /5.19/$$

$$\checkmark A: B_1 \cdot l_3 + a_{Bt} \cdot m_B \cdot \cos(\vartheta - \varphi) \cdot l_3 + m \cdot a \cdot l_3 \sin(\varphi - \vartheta) \\ + J_k \ddot{\epsilon}_2 = 0 \quad /5.20/$$

#### Rovnováha na vahadlo /bidlenu/

Tento člen kýve kolem osy  $O_{41}$  proměnnou úhlovou rychlostí  $\omega_{41}$  a úhlovým zrychlením  $\ddot{\epsilon}_{41}$ , proto zde uvažujeme působení setrvačných sil jednotlivých bodů tělesa konajícího rotaci pohyb. Tyto body tvoří obecně revinnou soustavu bodů, jejichž silové účinky nahradíme výslednými účinky. Nahrazení provedeme výslednou silou a silou dvojici, tzv. redukčním párem. Protože máme těleso s revinou symetrii kolmo k ose rotace představují revinný případ, a proto jsou deviační momenty k osám kolmým na osu rotace rovný nule.

Výsledná setrvačná síla je dána setrvačnou silou hmoty soustředěnou v těžišti, stejně tak výsledná odstředivá síla respektivě tečna setrvačná síla.

$$\bar{D} = \bar{O} + \bar{T} \quad /5.21/$$

$$\bar{O} = m_4 \cdot \bar{s}_{O_{41}} \cdot \bar{\omega}_{41}^2 \quad /5.22/$$

$$\bar{T} = m_4 \cdot \bar{s}_{O_{41}} \cdot \bar{\epsilon}_{41} \quad /5.23/$$

Rovnice /5.22/ a /5.23/ jsou ve vektorovém tvaru, skalárně pak:

$$0 = m_4 \cdot S O_{41} \cdot \omega_{41}^2$$

/5.24/

$$T = m_4 \cdot S O_{41} \cdot \mathcal{E}_{41}$$

/5.25/

Tečná dynamická síla  $T$  působí ve středisku  $S_p$ , které je na spojnicí osy otáčení  $O_{41}$  a těžiště  $S$  ve vzdálenosti

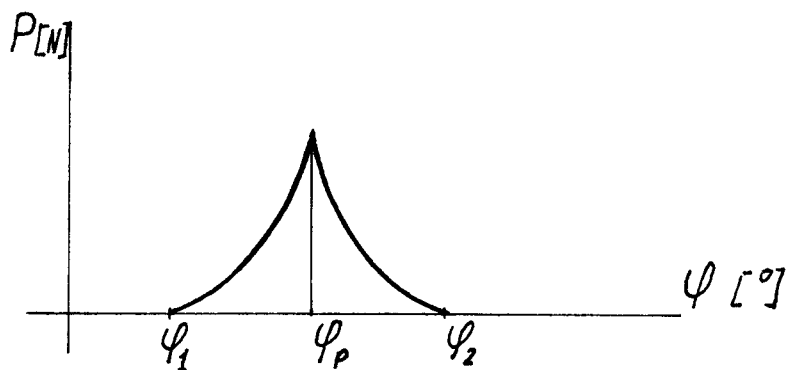
$$P = \frac{I_o}{m_4 \cdot O_{41} \cdot S}$$

/5.26/

kde  $I_o$  - moment setrvačnosti bidlu k ose otáčení  $O_{41}$

Dále uvažujeme s hmotností členu 4, která působí v těžišti  $S$  jako výsledná tíhová síla  $G_4 = m_4 \cdot g$  /5.27/

Člen 4 je zatížen vnější silou  $P$ . Síla  $P$  je přírazová síla, která v našem případě má diskretní průběh působení na člen 4, proto na obr. 8. a 9 není uváděna. Tato síla působí jenom v okamžik přírazu útku ke tkanině, t.j. působí v krajní přední poloze, ale v určitém malém rozmezí. Průběh jejího charakteru je dán grafem /viz obr. 10/, kde úhel pootečení  $\varphi$  hlavního hřídele tkacího stroje odpovídající přírazu.



obr. č. 10

Vnější reakce jsou také  $Rx_4$ ,  $Ry_4$  a vnitřní síly  $B_1, B_2$  podle zvoleného směru. Jelikož máme všechny silové účinky, které působí na vahadlo /bidlu/ můžeme sestavit d'Alambertové rovnice rovnováhy.

$$\begin{aligned} x: Rx_4 - B_2 \cos \nu + B_1 \sin \nu + G_4 \cos \beta + O_4 \cos (\gamma - \psi_1) - \\ - T \sin (\gamma - \psi_1) + P \cos (\gamma - \alpha) = 0 \end{aligned} \quad /5.28/$$

$$\begin{aligned} \text{y: } R_{x_4} - B_2 \cdot \sin \vartheta - B_1 \cos \vartheta - G_4 \sin \beta - O_4 \sin (\xi - \psi) + \\ + T \cos (\xi - \psi) + P \cdot \sin (\eta - \psi) \alpha = 0 \end{aligned} \quad /5.29/$$

$$\begin{aligned} \text{B}_o: B_2 \cdot l_4 \cdot \sin (\psi - \vartheta) - B_1 \cdot l_4 \cos (\psi - \vartheta) + T \cdot p + \\ + G_4 \cdot S O_{41} \cdot \sin (\psi + \xi - \beta) + P \cdot \cos \alpha \cdot N O_{41} = 0 \end{aligned} \quad /5.30/$$

### 5.3 Řešení soustavy lineárních rovnic

Sestavením a seřazením d'Alambertových rovnic rovnováhy 5.6 a 5.8, 5.18 až 5.20 až 5.28 až 5.30 získáme soustavu devíti rovnic o devíti neznámých

Řešení odvozené soustavy spočívá ve zvolení vhodné metody, v našem případě Cramerovým pravidlem pomocí inverzní matice, a uspořádání soustavy do maticového tvaru, kde v jednotlivých sloupcích jsou umístěny koeficienty neznámých hmot reakcí /vždy v každém sloupci koeficienty k jedné dané neznámé/.

Vztahy, které neobsahují dané neznámé se převedou na pravou stranu soustavy a vytvoří se tím vektor  $\bar{B}$  a čtvercová matice  $\bar{x}$ .

Soustava se pak dá přepsat do obecného vektorového tvaru:

$$\bar{x} \cdot \bar{S} = \bar{B}, \quad /5.31/$$

kde  $\bar{S}$  je obecné vyjádření neznámé reakce /nahrazuje reakce  $R_1, R_4, A, B/$ .

Základ pro řešení soustavy danou metodou, tzv. Cramerovým pravidlem spočívá v násobení vektorové rovnice /5.31/ inverzní maticí  $x^{-1}$  zleva:

$$\bar{x}^{-1} \cdot \bar{x} \cdot \bar{S} = \bar{B} \quad /5.32/$$

$$\bar{S} = \bar{x}^{-1} \cdot \bar{B} \quad /5.33/$$

Inverzní matice  $x^{-1}$  existuje za předpokladu, že  $\bar{x}$  je regulární.

$$\bar{x}^{-1} = \begin{vmatrix} \bar{x}^{-1} \\ \vdots \\ \bar{x}^{-1} \end{vmatrix} \quad x \quad \left| \begin{array}{c} x_{11}, \dots, x_{n1} \\ \vdots \\ x_{1n}, \dots, x_{nn} \end{array} \right|$$

Tedy

$$S_i = \frac{\left| \begin{array}{c} \bar{x}^{-1} \\ \vdots \\ \bar{x}^{-1} \end{array} \right| \cdot /x_{11} \cdot B_1 + \dots + x_{ni} \cdot B_n/}{\left| \begin{array}{c} \bar{x}^{-1} \\ \vdots \\ \bar{x}^{-1} \end{array} \right| \cdot x_{11}, \dots, x_{1,i-1}, B_1, x_{1,i+1}, \dots, x_{in}} =$$

$$\frac{\left| \begin{array}{c} \bar{x}^{-1} \\ \vdots \\ \bar{x}^{-1} \end{array} \right| \cdot x_{n1}, \dots, x_{n,i-1}, B_n, x_{n,i+1}, \dots, x_{nn}}{\left| \begin{array}{c} \bar{x}^{-1} \\ \vdots \\ \bar{x}^{-1} \end{array} \right|}$$

pedle důsledku Laplaceovy věty.

/5.35/

$$\text{Tedy skutečně: } S_i = |X|^{-1} \cdot |x_i|,$$

/5.36/

což jsou výsledné hodnoty neznámých reakcí. Celé toto řešení je obsaženo v programu ELOG 0005. Program a výsledky řešení jsou v příloze.

#### 5.4. Hodnoty hmotných a dynamických veličin

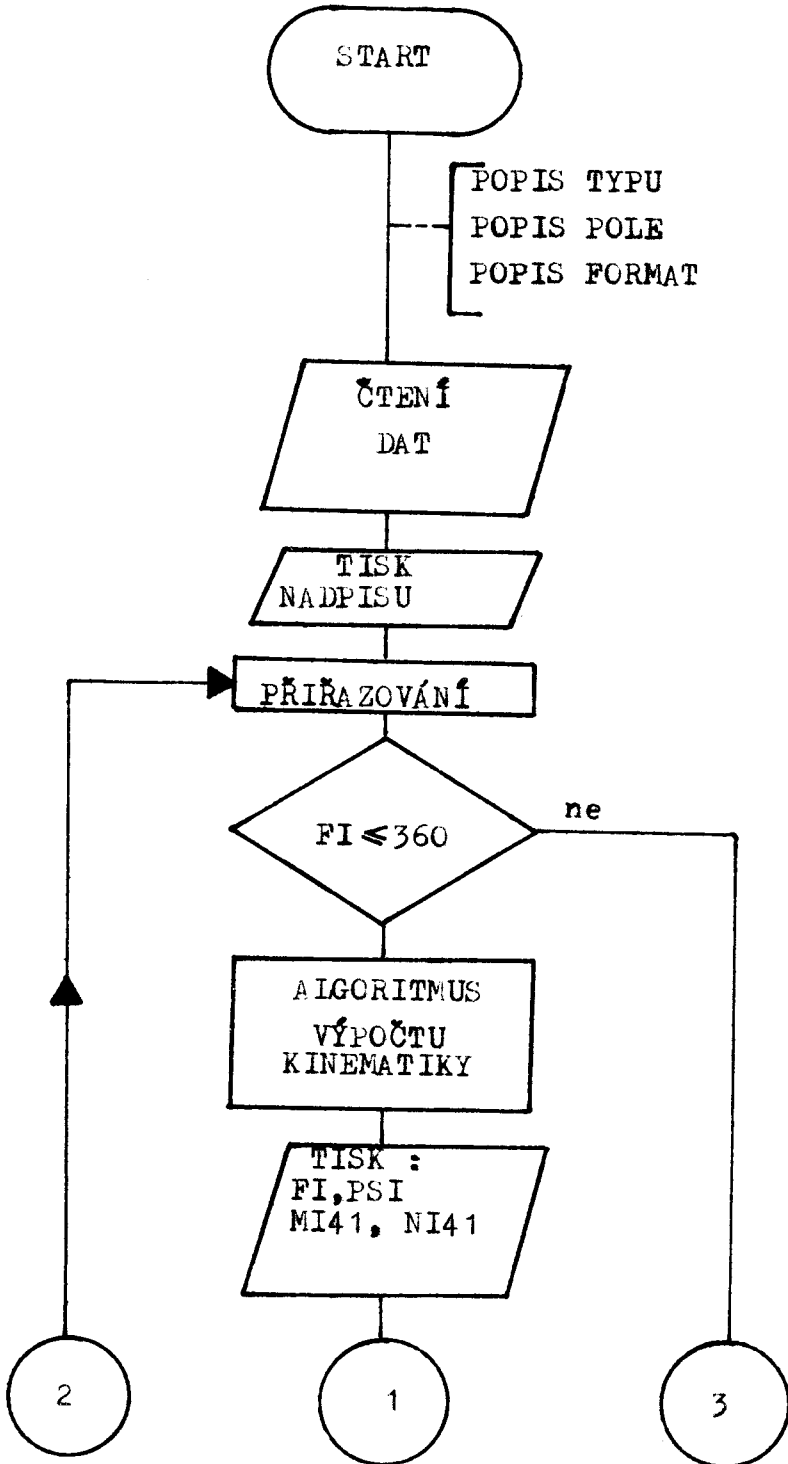
Pre daný typ tkacího stroje UTAS jsou tyto hodnoty v některých případech přibližné a jsou vstupními parametry druhé části programu ELOG 0005.

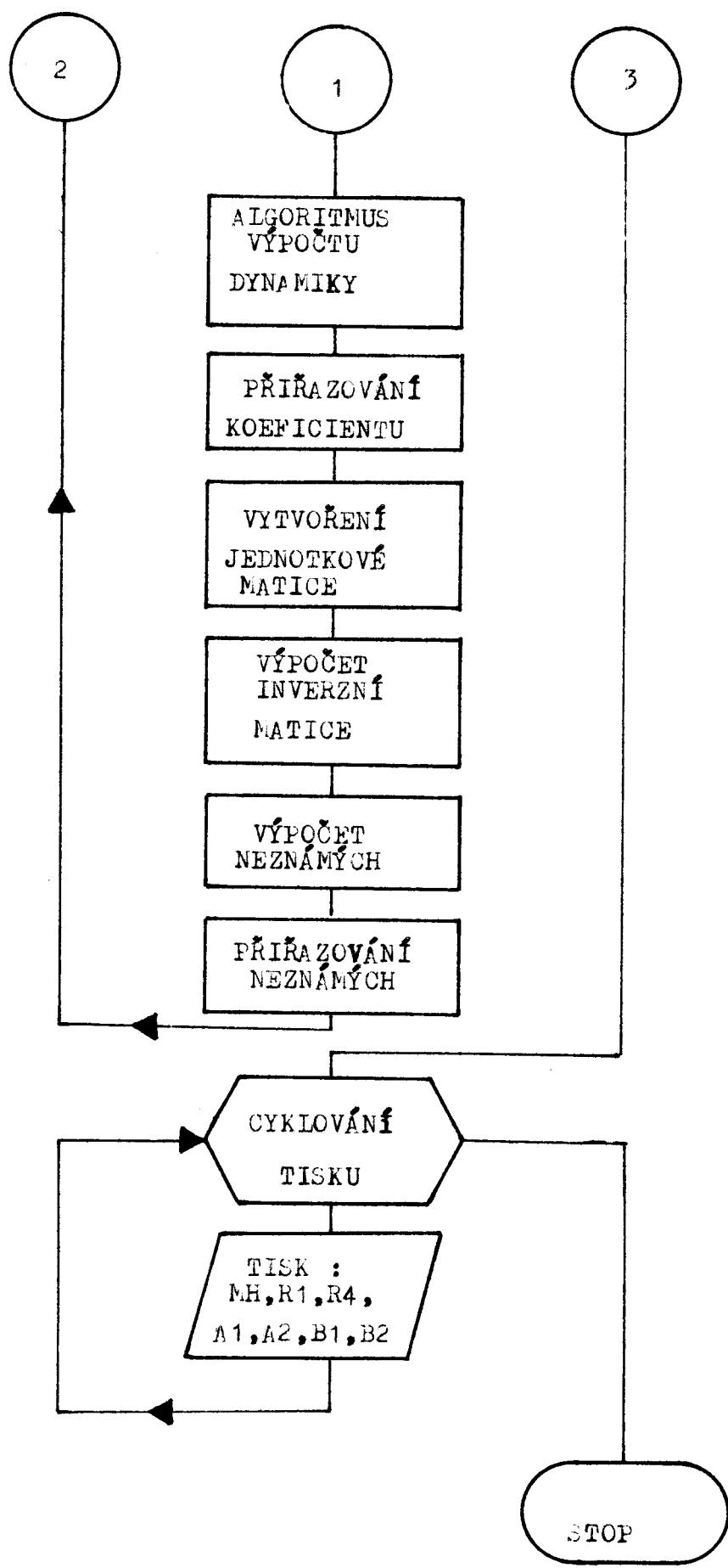
Název	označení	hodnota
hmotnost ojnice 3	m3	0,8 kg
hmotnost bidlenu 4	m4	116,417 kg
hmotnost kliky 2	m2	1,6 kg
úhlová rychlosť		
•táčení hlavního hřídele	$\omega_{21}$	25,133 m/s
moment setrvačnosti bidlenu 4 k ose		
•táčení	$I_{041}$	44,35 kg.m <sup>2</sup>

### 5.5 Vývojový diagram

Algoritmus výpočtu kinematických a dynamických veličin byl sestaven tak, aby mohl být použit při výpočtu na číslicovém počítači.

Aby nebylo obtížně sestavovat program přímo, užívá se k přehlednému znázornění vývojový diagram, který se skládá ze značek, do kterých se zapisují slovně nebo symbolicky jednotlivé kroky algoritmu.





## 6. ANALÝZA VLIVU PROHOZNÍHO MECHANISMU NA DYNAMIKU PŘÍRAZOVÉHO MECHANISMU.

Klasická metoda kinetostatiky roviných mechanismů, která se používá při výpočtu přírazového a prohozního mechanismu, nebude v úvahu vliv dynamických účinků mechanismu pohybu jehel /členy 9, Z<sub>5</sub>, Z<sub>4</sub>, Z<sub>3</sub>, 8, 5/ de bidlenu 4 a mechanismu náhoru jehel /členy Z<sub>1</sub>, Z<sub>2</sub>, 7, 6/ viz obr. 1. Proto je dále uvedena metodika určování dynamických účinků mechanismu pohybu jehel pro dynamickou analýzu mechanismů.

Nahrazujeme vazby mechanismu s členy 3 a 6 reakčními momenty M<sub>4</sub> a M<sub>1</sub> / obr. 1/, které v našem případě jsou pohyblivé momenty. Sestavíme diferenční rovnice pohybu mechanismu, proto určíme kineticou energii systému. Zavedeme označení:

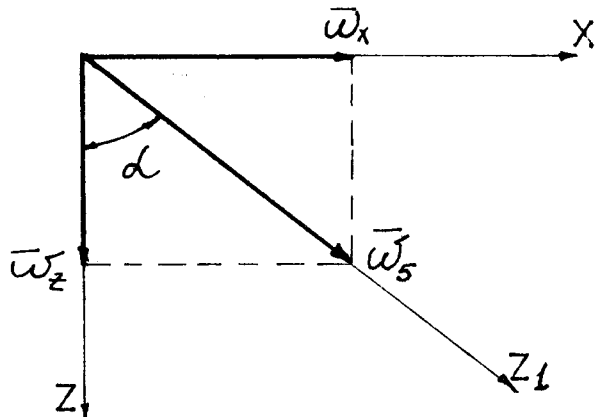
- $\varphi_{41}$  - úhel natočení bidlenu 4
  - $\varphi_8$  - úhel natočení pastorku 8
  - $\varphi_3$  - úhel natočení kuželového kola Z<sub>3</sub>
  - $\varphi_4$  - úhel natočení kuželového kola Z<sub>4</sub>
  - $\varphi_6$  - úhel natočení hnacího kola Z<sub>5</sub>
  - $\varphi_1$  - úhel natočení kola Z<sub>1</sub>
  - $\varphi_2$  - úhel natočení kola Z<sub>2</sub>,
- přičemž  $\varphi_8 = \varphi_3 = \varphi_4 = \varphi_6$ , protože převod i<sub>34</sub> =  $\frac{z_4}{z_3} = 1$
- $m_{41}, J_{41}$  - hmotnost a moment setrvačnosti relativní k ose O<sub>41</sub> bidlenu 4 s členy 8, 5, Z<sub>3</sub>, Z<sub>4</sub>, Z<sub>5</sub>
  - $m_1, J_1$  - hmotnost a moment setrvačnosti ozubeného kola Z<sub>1</sub> relativní k ose O<sub>71</sub>
  - $m_4, J_{34}$  - celková hmotnost a moment setrvačnosti relativní k ose O<sub>34</sub> ozubených kol Z<sub>4</sub> a Z<sub>5</sub>.
  - $m_2, J_2$  - hmotnost a moment setrvačnosti relativní k ose O<sub>71</sub> ozubeného kola Z<sub>2</sub>
  - $m_3, J_{84}$  - celková hmotnost ozubeného kola Z<sub>3</sub> a pastorku a celkový moment setrvačnosti k ose O<sub>84</sub>
  - $m_5, J_5$  - hmotnost a moment setrvačnosti ozubeného segmentu 5 k ose O<sub>54</sub>
  - $m_9$  - hmotnost ozubeného pásu a hlavy jehly

$\dot{\varphi}_{41}, \dot{\varphi}_5, \dot{\varphi}_1$  - absolutní úhlové rychlosti příslušné  
bidelu 4, segmentu 5 a ozubenému kolu  $Z_1$

$\bar{\omega}_x$  - úhlová rychlosť  $Z_4$  relativní bidelu 4

$\bar{\omega}_z = \dot{\varphi}_4$  - přenosevá úhlová rychlosť systému  $Z_4, Z_5$

$\bar{\omega}_5 = \bar{\omega}_x + \bar{\omega}_z$  - absolutní úhlová rychlosť systému  $Z_4, Z_5$   
/viz obr. 11/



•br. 11

Celková kinetická energie systému se rovná:

$$T = T_1 + T_2 + T_5 + T_3 + T_4 + T_{41} + T_9 \quad /6.1/$$

kde

$$T_1 = 0,5 \dot{\varphi}_1^2 J_1; \quad T_2 = 0,5 \cdot \dot{\varphi}_2^2 \cdot J_2$$

$$T_{41} = 0,5 \dot{\varphi}_{41}^2 \cdot J_{41} \quad T_5 = 0,5 \cdot \dot{\varphi}_5^2 \cdot J_5$$

$$T_3 = 0,5 \cdot m_3 \cdot l_s^2 \cdot \dot{\varphi}_{41}^2 + 0,5 J_{084} \cdot \dot{\varphi}_8^2$$

Pro určování  $T_4$  zvolíme počátek souřadnic v hmotném těžišti systému ozubených kol  $Z_4$  a  $Z_5$  a jejich hřídele  $O_{34}$ , kde osa x má směr ve směru osy hřídele  $O_{34}$  a osa Z kolmá k této ose a rovině obrázku. Vzdálenost od osy  $O_{41}$  do hmotného těžiště  $S_4$  značíme jako  $l_s$ , tehdy:

$$T_4 = 0,5 m_4 \cdot l_s^2 \cdot \dot{\varphi}_{41}^2 + 0,5 J_{Z_1} \omega_4^2 \quad /6.2/$$

kde  $J_{Z_1}$  - moment setrvačnosti systému  $Z_4$  a  $Z_5$  k relativně okamžité ose absolutního otocení  $Z_1$  /viz obr. 8/

Označíme výchylku osy  $Z_1$  od Z přes  $d$ , máme:

$$\sin \alpha = \omega_x / \sqrt{\omega_x^2 + \omega_z^2} \quad /6.3/$$

$$\cos \alpha = \omega_z / \sqrt{\omega_x^2 + \omega_z^2}$$

$$J_{Z1} = J_x \cdot \sin^2 \alpha + J_z \cos^2 \alpha = \frac{J_x \omega_x^2 + J_z \omega_z^2}{\omega_x^2 + \omega_z^2} \quad /6.4/$$

kde  $J_x, J_z$  - momenty setrvačnosti systému  $Z_4, Z_5$  relativně k a z.

Dáváme /6.3/ a /6.4/ do /6.2/ a potom dostaneme

$$T_4 = 0,5 \cdot m_4 \cdot l_s^2 \cdot \dot{\varphi}_{41}^2 + 0,5 J_x \omega_x^2 + 0,5 J_z \omega_z^2$$

$$\omega_x = i_{43} \cdot i_{85} \cdot \dot{\varphi}_5 \quad /6.5/$$

kde  $i_{43} = z_3 / z_4 \quad i_{85} = \varphi / r$

$r$  = poloměr reztečné kružnice pastorku 8

$\varphi$  = poloměr reztečné kružnice ozubeného segmentu 5

Bereme v úvahu, že  $\omega_z = \dot{\varphi}_{41}$  a vztah /6.5/ to máme

$$T_4 = 0,5 J_4 \cdot \dot{\varphi}_{41}^2 + 0,5 J_x \cdot i_{43} \cdot i_{85}^2 \cdot \dot{\varphi}_5^2$$

kde  $J_4 = m_4 \cdot l_s^2 + J_z$  - moment setrvačnosti

$z_4, z_5$  relativní k ose  $O_{41}$

Kinetická energie ohuebné jehly je:

$$T_9 = 0,5 m_9 \cdot \dot{\varphi}_5^2 \cdot a^2 \quad /6.6/$$

kde  $a^2 = \frac{d_5^2}{2} \cdot i_{43} \cdot i_{85}$

$d_5$  - je průměr základní kružnice ozubeného kola 5. V tomto vztahu je vynechaná kinetická energie přenosového pohybu spolu s bidlenem proto, že její hodnota vzatá v úvahu pro  $T_5$ .

Všechny vypočítané složky celkové kinetické energie dáváme do /6.1/ a dostaneme:

$$T = 0,5 \dot{\varphi}_1^2 \cdot J_1 + 0,5 \dot{\varphi}_2^2 \cdot J_2 + 0,5 \dot{\varphi}_5^2 \cdot J_5 + 0,5 m_3 \cdot$$

$$\cdot l_3^2 \cdot \dot{\varphi}_{41}^2 + 0,5 J_{084} \cdot \dot{\varphi}_8^2 + 0,5 J_4 \cdot \dot{\varphi}_{41}^2 +$$

$$+ 0,5 J_x \cdot i_{43} \cdot i_{85}^2 \cdot \dot{\varphi}_5^2 + 0,5 \dot{\varphi}_{41}^2 J_{41} +$$

$$+ 0,5 m_9 \dot{\varphi}_5^2 \cdot a^2 \quad /6.7/$$

Musíme zajistit, aby rovnice /6.7/ obsahovala pouze členy  $\dot{\varphi}_5$  a  $\dot{\varphi}_{41}$ , proto přepíšeme rovnici do jiného tvaru s použitím následujících vztahů.

$$\dot{\varphi}_1 = \frac{\dot{\varphi}_5}{J_{45}^2} \quad \dot{\varphi}_2 = 2 \dot{\varphi}_1 = \frac{\dot{\varphi}_5}{J_{45}}$$

$\dot{\varphi}_8 = i_{85} \cdot \dot{\varphi}_5$ , kde  $J_{45}$  je převodová funkce, výpočet který je úvodem v odstavci 4.2.

Rovnice /6.7/ získá tvar:

$$\begin{aligned} T = & 0,125 \dot{\varphi}_5^2 \cdot J_1/J_{45}^2 + 0,5 \cdot \dot{\varphi}_5^2 \cdot J_2/J_{45}^2 + 0,5 J_5 \cdot \dot{\varphi}_5^2 + \\ & + 0,5 m_3 \cdot l_3^2 \cdot \dot{\varphi}_{41}^2 + 0,5 J_{084} \cdot i_{85}^2 \cdot \dot{\varphi}_5^2 + 0,5 J_4 \cdot \dot{\varphi}_{41}^2 + \\ & + 0,5 J_x / i_{43} \cdot i_{85}^2 \cdot \dot{\varphi}_5 + 0,5 \dot{\varphi}_{41}^2 J_{41} + 0,5 m_9 \cdot \dot{\varphi}_5^2 \cdot a^2 \end{aligned}$$

Považujeme za základní souřadnice  $\dot{\varphi}_5$  a  $\dot{\varphi}_{41}$ , píšeme rovnice Lagrangeovy II. řádu

$$\begin{aligned} \frac{d}{dt} \left( \frac{\partial T}{\partial \dot{\varphi}_5} \right) - \frac{\partial T}{\partial \varphi_5} &= - \frac{\partial \Pi}{\partial \varphi_5} + Q_5 \\ \frac{d}{dt} \left( \frac{\partial T}{\partial \dot{\varphi}_{41}} \right) - \frac{\partial T}{\partial \varphi_{41}} &= - \frac{\partial \Pi}{\partial \varphi_{41}} + Q_{41} \quad /6.8/ \end{aligned}$$

Pokud T neseznamí na základních souřadnicích

$$\frac{d}{dt} \left( \frac{T}{\partial \dot{\varphi}_5} \right) = J_n^I \cdot \ddot{\varphi}_5,$$

$$\begin{aligned} \text{kde } J_n^I = & 0,25 J_1/J_{45}^2 + J_2/J_{45}^2 + J_5 + i_{85}^2 \cdot J_{084} \\ & + J_x / i_{43} \cdot i_{85}^2 + m_9 \cdot a^2 \end{aligned}$$

$$\frac{d}{dt} \left( \frac{\partial T}{\partial \dot{\varphi}_{41}} \right) = J^{II} \cdot \ddot{\varphi}_{41},$$

kde

$$J^{II} = m_3 \cdot l_3^2 + J_4 + J_{41}$$

Považujeme-li v prvním přibližení  $\bar{\pi} = \text{konst.}$ , pak máme:

$$\frac{\partial \bar{\pi}}{\partial \varphi_5} = \frac{\partial \bar{\pi}}{\partial \varphi_{41}} = 0 / 6.91$$

Zobecněné síly  $Q_5$  a  $Q_{41}$  určujeme pomocí elementárních prací na mezných posuvů. V důsledku toho, že jsou síly tření v kinematických dvejicích a síla tření jehly v prošlupu • mnoho / na 2 - 3 řadu/ menší než setrvačné účinky, zanedbáváme je.

Tehdy:

$$Q_5 = M_5 \cdot F_5 a$$

$$F_5 = \text{sign} / \dot{\varphi}_5 / \cdot / m_p \cdot \dot{\varphi}_5^2 \cdot a^2 \cdot f / R /$$

kde  $F_5$  - síla tření mezi jehlou a vedením  
 $R$  - poloměr vedení

$m_p$  - hmotnost souběžného pásu

$f$  - součinitel tření

Analogicky:

$$Q_{41} = M_{41} - F_{41} a$$

$$F_{41} = \text{sign} / \dot{\varphi}_{41} / \cdot / m_p \cdot \dot{\varphi}_{41}^2 \cdot a^2 \cdot f / R /$$

Odsud soustava diferenciálních rovnic dostává tvar

$$J^I \cdot \ddot{\varphi}_5 = M_5 - \text{sign} / \dot{\varphi}_5 / \cdot / m_p \cdot \dot{\varphi}_5^2 \cdot a^3 \cdot f / R / / 6.10 /$$

$$J^{II} \cdot \ddot{\varphi}_{41} = M_{41} - \text{sign} / \dot{\varphi}_{41} / \cdot / m_p \cdot \dot{\varphi}_{41}^2 \cdot a^3 \cdot f / R / / 6.11 /$$

Vyjádříme momenty  $M_5$  a  $M_{41}$  z rovnic /6.10/ a /6.11/

$$M_5 = \text{sign} / \dot{\varphi}_5 / \cdot / m_p \cdot \dot{\varphi}_5^2 \cdot a^3 \cdot f / R / - J^I \cdot \ddot{\varphi}_5$$

$$M_{41} = \text{sign} / \dot{\varphi}_{41} / \cdot / m_p \cdot \dot{\varphi}_{41}^2 \cdot a^3 \cdot f / R / - J^{II} \cdot \ddot{\varphi}_{41}$$

Určené momenty  $M_{41}$  a  $M_{45}$  přikládáme následovně k bidlu a k ozubenému kolu  $Z_2$  jako odporevé momenty při dynamické analýze mechanismu.

## 6.1 Hétny hmotných a dynamických veličin

Pro daný typ tkacího stroje UTAS s jehlovou nastavbou jsou tyto hodnoty v některých případech přibližně a jsou vstupními parametry druhé části programu ELOG 0004.

Název	označení	hodnota
Hmotnost ojnice 3	m3	0,8 kg
Hmotnost bidlenu 4	m4	1 16,417 kg
Hmotnost kliky 2	m2	1,6 kg
Úhlová rychlosť otáčení hlavného hŕidele	$\omega_{21}$	25,33 m/s
Moment setrvačnosti bidlenu 4 k ose otáčení	I <sub>041</sub>	44,35 kg·m <sup>2</sup>
Moment setrvačnosti ozubeného kola Z <sub>1</sub> k ose O <sub>21</sub>	J <sub>i</sub>	0,768 kg·m <sup>2</sup>
Moment setrvačnosti ozubeného kola Z <sub>2</sub> k ose O <sub>71</sub>	J <sub>2</sub>	0,6318 kg·m <sup>2</sup>
Moment setrvačnosti ozubeného segmentu 5 k ose O <sub>54</sub>	J <sub>5</sub>	1,9 kg·m <sup>2</sup>
Celkový moment setrvačnosti ozubeného kola Z <sub>3</sub> a pastorku 8 k ose O <sub>84</sub>	J <sub>085</sub>	0,000129 kg·m <sup>2</sup>
Moment setrvačnosti systému ozubených kol Z <sub>4</sub> , Z <sub>5</sub> relativně x	J <sub>x</sub>	0,001544 kg·m <sup>2</sup>
Moment setrvačnosti systému ozubených kol Z <sub>4</sub> a Z <sub>5</sub> k ose Z /viz obr. 11/	J <sub>Z</sub>	2,4744 kg·m <sup>2</sup>
Hmotnost chebného pasu	m <sub>p</sub>	0,325 kg
Hmotnost chebného pasu s hlavou jehly	m <sub>9</sub>	0,570 kg
Koefficient tření mezi chebným pasem a vedením	f	0,3

Převod mezi ozubenými koly

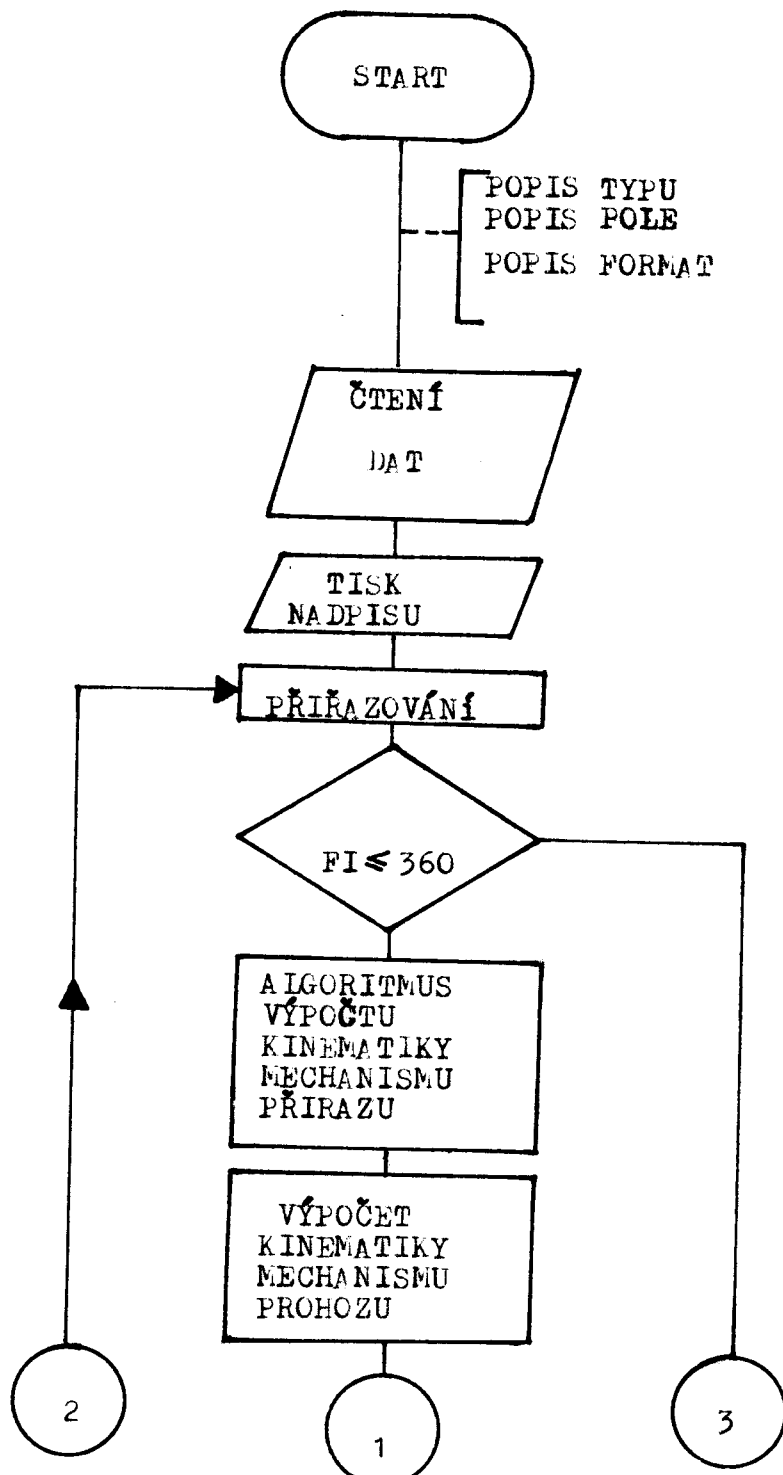
$Z_4$ a $Z_3$	$i_{34}$	1
Převod mezi ozubeným segmentem a pastorkem	$i_{85}$	9,038
Celková hmotnost ozubených kol $Z_4$ a $Z_5$	$m_4$	0,877 kg
Celková hmotnost ozubeného kola $Z_3$ a pastorku	$m_3$	1,03 kg

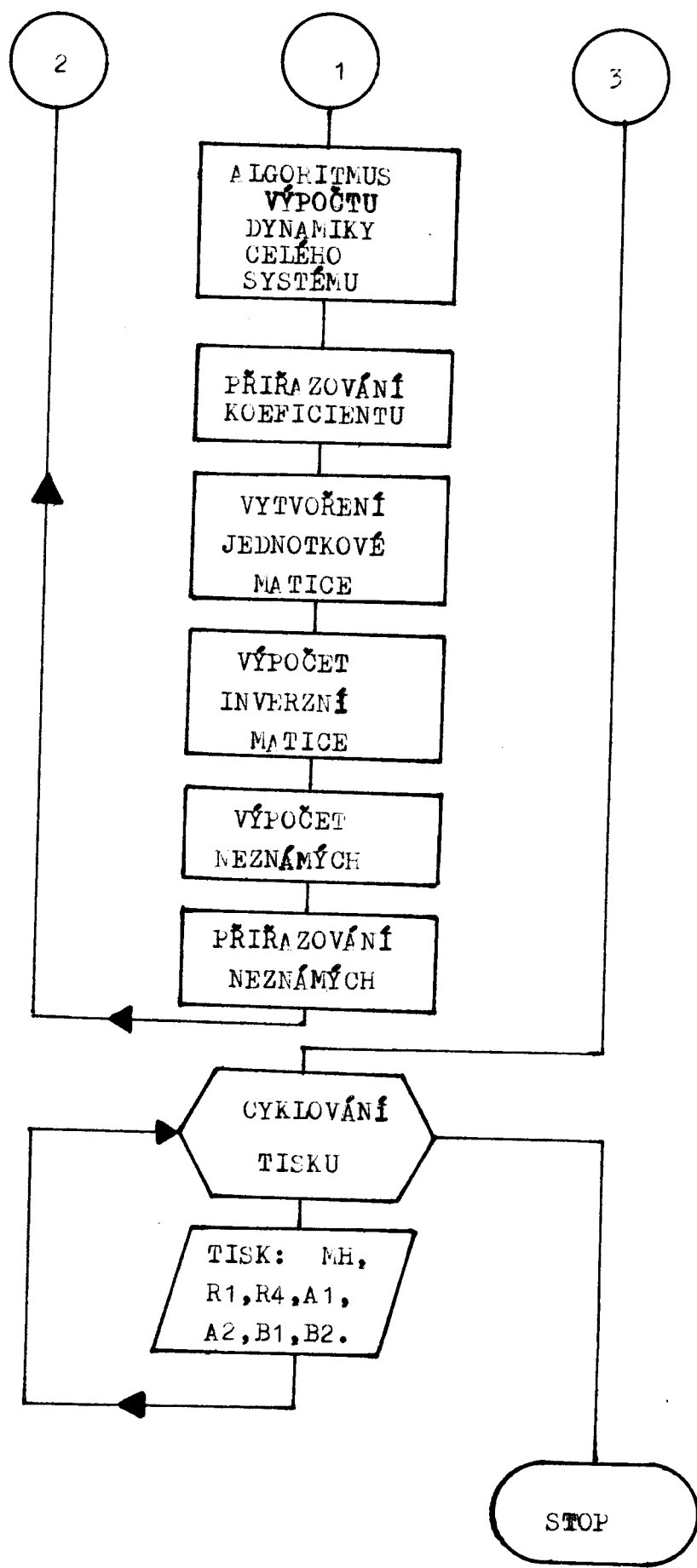
Program dynamického řešení mechanismu přírazu při vlivu prehozního mechanismu a výsledky řešení jsou v příloze.

## 6.2 Vývojový diagram

Algoritmus výpočtu kinematických a dynamických veličin byl sestaven tak, aby mohl být použit při výpočtu na číslicovém počítači.

Aby nebylo obtížně sestavovat program přímo, užívá se k přehlednému znázornění vývojový diagram, který se skládá ze značek, do kterých se zapisují slovně nebo symbolicky jednotlivé kroky algoritmu.





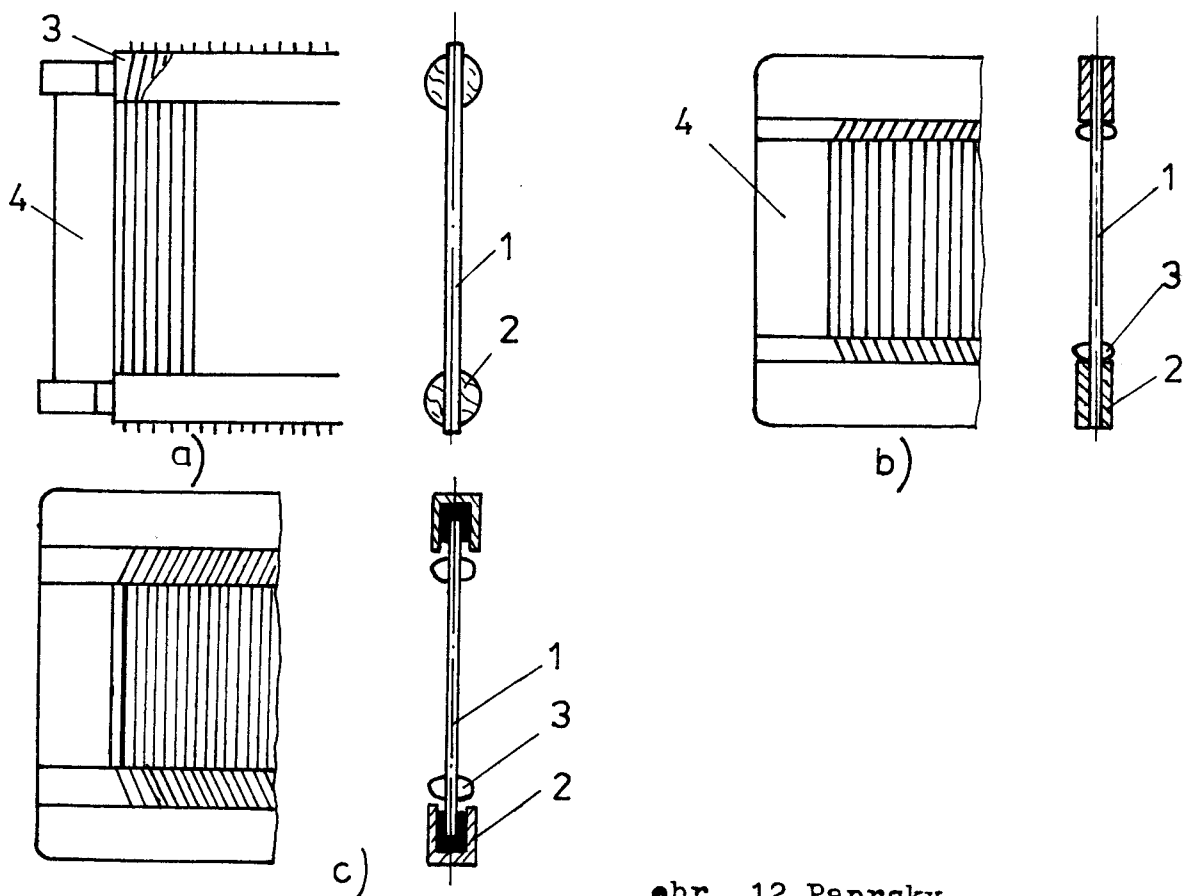
## 7. PAPRSEK TKACÍHO STROJE UTAS S JEHLOVOU NASTAVBOU

### 7. 1 Typy a volba paprsků

Při pěmoci paprsku se realizuje příraz útkové příze ke kraji tkaniny. Avšak paprsek plní i jiné funkce: rovnoučně rozděluje nitě osnovy po šířce tkaniny, udává směr pro pohyb člunku.

U tkacích stavů se používají tři typy paprsků:

- a/ paprsek smolený
- b/ paprsek pájený
- c/ paprsek lepený



•br. 12 Paprsky

a/ smolený: 1 - třtiny, 2 - vazební vležka, 3 - šňůra  
4 - sloupek

b/ pájený: 1 - třtiny, 2 - vazební vležka, 3 - vazební pružina, 4 - sloupek

c/ lepený: 1 - třtiny, 2 - vležky, 3 - vazební pružina

Smolené paprsky se používají pro výrobu hlavně tkanin z bavlny, vlny a lnu. Pájené paprsky pro výrobu tkanin z hedvábí a technických tkanin.

Správná volba paprsku pro vyrábění na tkacím stavu daného sortimentu osnovních nití má velký význam. Zároveň se stanovením čísla paprsku musíme ověřit vhodnost paprsku z dvou parametrů. Jeden z nich je součinitel zaplnění, který charakterizuje zaplnění vzdáleností mezi dvěma třtinami paprsku uzlem svázané nitě. Druhý je součinitel rovnoměrnosti rozmístění nití osnovy v paprsku, uvádí rozdíl rozmístění osnovních nití v tkanině.

Číslo paprsku charakterizuje počet zubů paprsku na 10 cm jeho šíře. Můžeme určit číslo paprsku vztahem

$$N_p = P_0 / [1 + a_y / 100 \cdot b_f] \quad /7.1/$$

kde  $P_0$  - hustota tkaniny po osnově /počet osnovních nití na 10 cm/

$a_y$  - zkrácení tkaniny %

$b_f$  - počet nití naváděných do zuba paprsku

Pro určení čísla paprsku se také používá jiný vztah:

$$N_p = [m_0 - m_k / b_f + m_k / b_k] \cdot 10 / B_p \quad /7.2/$$

kde:  $m_0$  - počet osnovních nití

$m_k$  - počet krajových nití naváděných do zuba paprsku

$B_p$  - šíře zaplnění paprsku

Součinitel zaplnění uzlem vzdáleností mezi třtinami paprsku určíme použitím rovnosti:

$$K_Z = 0,07 C \cdot \sqrt{T_0} / b \quad /7.3/$$

kde:  $K_Z$  - součinitel zaplnění uzlem vzdáleností mezi třtinami paprsku

$C$  - součinitel vztavený na typ nití

/pro bavlnu  $C = 0,040$ /

$T_0$  - jemnost osnovní nitě /tex/

$b$  - vzdálenost mezi třtinami

Vzdálenost  $b$  mezi třtinami závisí na čísle paprsku a tloušťce třtiny. Číselná hodnota je určena vztahem:

$$b = 100 / N_p - S_1 \quad /7.4/$$

kde:  $S_1$  - tloušťka třtiny

Paprsek je zvolen správně, když součinitel zaplnění určený vztahem /7.3/ odpovídá podmínce  $K_Z < 1$ . Při  $K_Z \geq 1$  průchod uzlu bude těžký, což způsobí zvýšení přetahu esnovních nití.

Výběr paprsku v mnohem určuje charakter umístění esnovních nití v tkanině. Jestliže paprsek nebude odpovídat použití značce esnovy, po délce tkaniny se můžou objevit jasně vyjádřené pruhy, nezaplněné vláknitým materiálem. Tento proces hlavně vzniká, jestliže se používají paprsky s tlustými třtinami.

Pro zhodnocení charakteru umístění esnovních nití v tkanině se počítá součinitel rovnoměrného umístění nití v paprsku:

$$K_p = / S_1 + C \cdot \sqrt{T_e} / \cdot N_p \cdot b_f / 100 \quad /7.5/$$

kde  $k_p$  - součinitel rovnoměrného umístění esnovních nití v paprsku.

Zhodnocení umístění esnovních nití v tkanině se provádí v souvislosti s následujícími podmínkami. Jestliže  $K_p > 1$  je zaručeno rovnoměrné umístění, při  $K_p < 1$  rovnoměrné umístění nití se poruší, proto musíme volit nový paprsek a přitom provést změnu počtu nití, které se navádějí do zubů.

Z uvedeného vyplývá, že spolu z určením čísla paprsku musíme spočítat součinitele  $K_Z$  a  $K_b$ . Jen na základě jejich analýzy můžeme dát doporučení o vhodnosti paprsku pro výrobu určitého druhu tkaniny na tkacím stavu. Jestliže nebereme v úvahu tyto součinitele, dokonce i na dobře řízeném tkacím stavu může být zvýšená přetrvávost esnovních nití.

## 7.2 Účinky působící na paprsek. Cesty zvýšení spolehlivosti a doby bezperuchového provozu

Častou příčinou snížení spolehlivosti a doby bezperuchového provozu mechanismu bidlenu je vadnost paprsku.

Paprsek se v procesu provozu vystavuje u vysokotáčkových tkacích stavů. Silové a rychlostní režimy paprsku se při každém cyklu pohybu bidlenu mění, nejvíce při přiblížení

ke krajní přední poloze, t.j. v okamžiku přírazu útku ke tkanině. Jestliže se ještě připečítá vliv nerovnoměrnosti pohybu hlavního hřídele, je zřejmé, že dynamické namáhání na paprsek bude značně velké, zvláště při nedostatečném přepevnění k bidlenu, a také při výrobě hustých tkanin.

Třtiny paprsku, zvláště krajní mají velké dynamické namáhání, které roste vlivem pohybu bidlenu s paprskem k okraji tkaniny, s dosažením maxima v krajní přední poloze bidlenu. Výsledkem působení proměnlivých sil se krajní třtiny deformují směrem ke středu paprsku. Neregulovanou deformací třtin může nastat zachycení nití osnovy /zvláště při výrobě hustých tkanin/ a jejich přetržení. Spolu s tímto nastává rezheupání třtin ve zpevňovacích vazbách, což vyvolává jejich slábnutí v místech nekvalitního smolení nebo pájení třtin - perušení spojnosti i výrazem z provedu. Poruchy a porušení rezteče třtin vznikají také vlivem existence velkých uzelů v osnovních nitích a jiných závad, rozmezry uzelů jsou občas 1,5 až 2 krát větší než mezera mezi třtinami paprsku, což se nejčastěji projeví při výrobě technických tkanin.

Třtiny paprsku se peruší nejčastěji u zpevňovacích vazeb. Vysvětuje se to tím, že se často opakuje síla působení zvětšeného průřezu nití osnovy při tvorbení prešlupu. Ta síla působí ve směru místa upevnění třtiny v zpevňovacích vazbách, a třtina nemá možnost k deformaci, proto se časem peruší. Poruchy třtin paprsku nastávají také při nekvalitní výrobě, zvláště když třtina nebo několik třtin vystupují za rovinu paprsku. Při nekvalitním smolení nebo pájení paprsku se objeví časté případy slábnutí zpevňovací vazby nebo nalezení s následujícím slábnutím a perušením rezteče třtin. Poruchy nebo porušení rezteče třtin někdy probíhají vlivem nedbalosti při protahování nití tkadlecem /při odstranění přetržení nití/ speciálním nástrojem. Otlačeniny na třtinách a porušení rezteče u třtin občas vznikají při navádění nitě do zubů paprsku. Stejné otlačeniny na krajních třtinách vznikají při nesprávné montáži rozpínáku nebo nůžek na tkacím stavu.

Jiným druhem porušení třtin je jejich opotřebení nitěmi osnovy, začátkem tkaniny a člunkem. Opotřebení nitěmi osnovy je hlavní příčina perušení paprsku tkacích stavů pro výrobu hedvábí. Třením se začátkem tkaniny se nejvíce peruší třtiny paprsků tkacích stavů pro výrobu vlny a lnu. Opotřebení třtin paprsku od dotyku člunkem se projeví ve všech případech a má oxidacní charakter.

Pro zvýšení spolehlivosti a doby bezporuchového provozu paprsku se provádí různá konstrukční řešení pro zlepšení jejich konstrukce, technologie výroby a provozu. Na pědnících výrobce snižuje výrobu smolených paprsků, které mají snížené spolehlivostní vlastnosti a zvyšuje se výroba pájených paprsků. Proces výroby pájených paprsků se stává více a více automatizovaným. Automatizace má velký význam u závěrečných operací, kde se používají současné metody bezporuchové kontroly.

Značné zvýšení kvality paprsků, jejich spolehlivosti a doby bezporuchového provozu se dosahuje cestou zavádění nové technologie jejich výroby - zpevnění třtin paprsku ve vazebních vložkách za pomocí moderních syntetických lepidel.

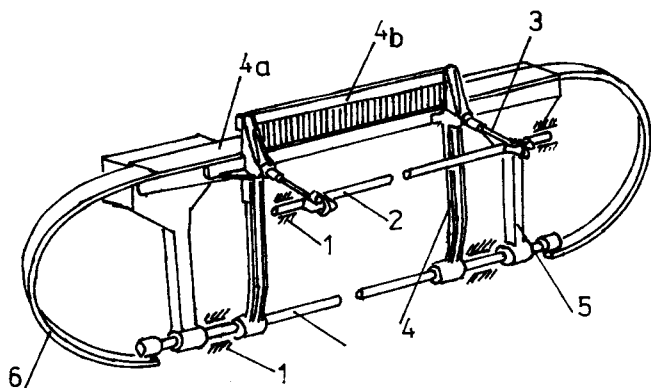
Pro tkací stavy na výrobu hedvábí se vyrábí paprsky s třtinami, které mají chřemevu povrchovou vrstvu protikorezní a odolnou proti opotřebení.

Použití automatických způsobů navádění osnovy, moderních metod ultrazvukového čištění paprsku a jiných, umožňuje dosáhnout kvalitnější a dlouhodobou práci paprsků.

### 7.3 Pevnostní výpočet paprsku

#### 7.3.1 Deformace nosníku paprsku a mečíku bidlenu

Konstrukční uspořádání mechanismu přírazu je uvedeno na obr. č. 13.



I- rám stroje  
2- klikový hřídel  
3- ojnice  
4- mečíky  
4a- jehlová dráha, 4b- paprsek, 5- rameno, 6- vedení jehly

obr. 13

Po vlivem působení značných setrvačních sil a odporu přírazu vedle okraje tkaniny nosník bidlenu se pohybuje a jeho mečíky bidla se zkrucují. V obecném případě namáhaný bidlen je rovinopresterovém staticky neurčitém rámem, protože vnitřní silové účinky v elementech rámu nelze určit z podmínek rovnováhy.

Pro analýzu deformace nosníku a mečíků bidla budeme používat následující výběr:

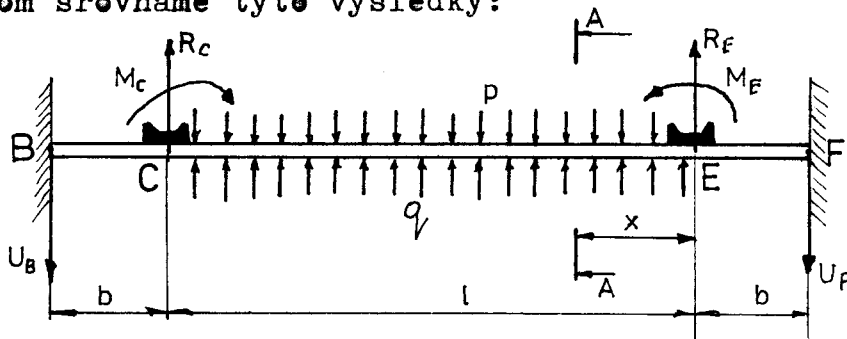
1. Deformace vedení jehel nebudeme určovat
2. Vazba mezi nosníkem a mečíky je tuhá
3. Nosník s rameny /L/ a /P/ představuje vložení
4. Sily setrvačnosti ramena v důsledku tuhé konstrukce považujeme za soustředění v hmotném středisku ramene
5. Deformace nosníku v rovině rámu bidlenu zanedbáváme
6. Deformace podbidlenice rovněž zanedbáváme
7. Jedna z centrálních os setrvačnosti příčného řezu nosníku bidlenu se nachází v jeho rovině
8. Dynamické účinky hmot nosníku na vzdálenosti mezi mečíky představuje spojité namáhání.

Označíme sílu setrvačnosti nosníku na jednotku jeho délky přes "p". Jestli vzdálenost mezi středami mečíku je "l", to síla setrvačnosti střední části nosníku bude se rovnat p. l. Síly setrvačnosti pravého a levého ramena  $U_B$  a  $U_F$  soustředěné v jejich hmotných střediscích. Reakce ojnic, přiležené na palcích mečíků, posuneme ve směru jejich působení, na nosník bidlenu a označíme  $R_C$  a  $R_E$ .

Předpokládáme, že síly setrvačnosti ramen se zkracují mečíky větší než síly setrvačnosti střední části nosníku. Tehdy reakční moment  $M_E$  ze strany mečíku na nosník bude namířen ve směru hodinových ručiček. Respektivě při působení druhého mečíku na nosník vzniká moment opačného směru.

Budeme považovat, že paprsek se setkává s velkým odporom ze strany tkaniny, který má číselnou hodnotu větší než síly setrvačnosti střední části nosníku. Spojité zatížení ze strany tkaniny na 1 m délky nosníku se rovná  $q$  /viz obr. č. 14/. Směr sil  $p$  a  $q$  při přírazu je opačný, proto výsledná síla na nosník se rovná:  $u = q - p$

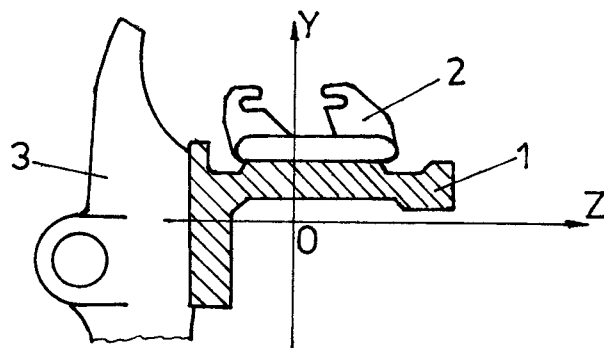
Určíme deformace nosníku a mečíků bidlenu zvláště a potom srovnáme tyto výsledky:



obr. č. 14

#### Ohyb nosníku. Okamžik přírazu

Nosník bidlenu /1/ viz obr. /15/ se vyrábí ze slitiny Al - profilu. Při výpočtu bereme v úvahu jenom deformace profilu.



obr. č. 15

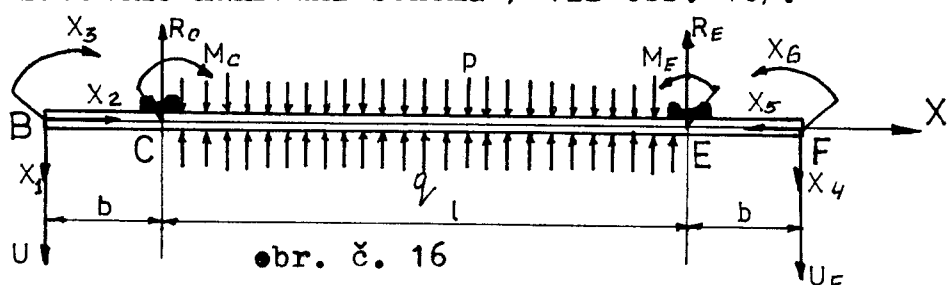
kde

1 - profil

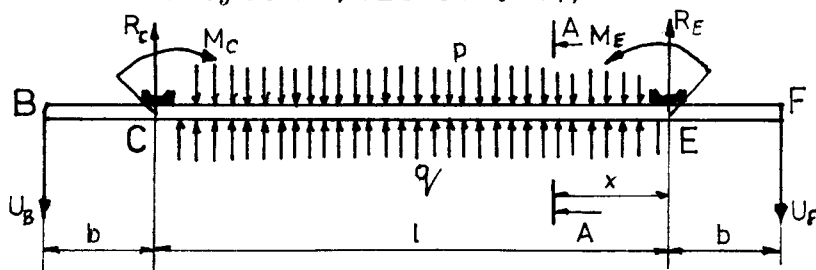
2 - vedení oběhné jehly

3 - mečík

když se podíváme na schéma uložení nosníku paprsku vidíme, že máme staticky neurčitý systém. Pro určení statické neurčitosti zavedeme náhradní schema / viz obr. 16/.



V našem systému jsou neznámé:  $x_1, x_2, x_3, x_4, x_5, x_6, R_C, R_E, M_C, M_E$ . Pro určení neznámých  $x_1, x_2, x_3, x_4, x_5$  a  $x_6$  musíme na začátku určit neznámé  $R_C, R_E, M_C, M_E$ , proto zavedeme nový náhradní systém /viz obr. 17/



Napišeme rovnici momentů relativně libovolného řezu A-A z pravé strany bidelu:

$$EJy'' = U_F/b + x/-R_Ex - ux^2/2 - M_E \quad /7.6/$$

Integrujeme tuto rovnici dvakrát:

$$EJy' = U_F/bx + \frac{x^2}{2} - R_E \frac{x^2}{2} - u \frac{x^3}{6} - M_Ex + C_1 \quad /7.7/$$

$$EJy = U_F \left( \frac{bx^2}{2} + \frac{x^3}{6} \right) - R_E \frac{x^3}{6} - \frac{ux^4}{24} - M_E \frac{x^2}{x} + C_1x + C_2 \quad /7.8/$$

Při  $x = 0$  máme  $y = 0$ , proto  $C_2 = 0$ .

Z rovnice /7.7/ určíme  $C_1$ :

$$C_1 = EJy' \quad /7.9/$$

kde  $y'$  - tangenta úhlu sklonu tečny na opeře E

Jestli  $x = l_2$ , tež  $y' = 0$ . Tehdy z rovnice /7.7/ máme:

$$C_1 = -U_F \left( b \frac{1}{2} + \frac{l^2}{8} \right) + R_E \frac{l^2}{8} + U \frac{l^3}{48} + M_E \frac{l}{2}. \quad /7.10/$$

Vylučujeme  $C_1$  z rovnic /7.9/ a /7.10/, dostáváme:

$$EJy' = -U_F \left( \frac{b \cdot l}{2} + \frac{l^2}{8} \right) + R_E \frac{l^2}{8} + U \frac{l^3}{48} + M_E \frac{l}{2} \quad /7.11/$$

Pro určení neznámých  $R_C$  a  $R_E$  sestavíme rovnice momentů relativně bodu C.

$$R_E l - pl^2/2 + ql^2/2 + M_E - M_C + U_B \cdot b - U_F /l + b/ = 0 \quad /7.12/$$

V důsledku symetrie konstrukce a rovnosti reakčních momentů a sil setrvačnosti ramen máme:

$$R_E = \frac{1/2 U_F + pl - ql}{2} \quad /7.13/$$

$$R_E = R_C \quad /7.14/$$

$$R_C = \frac{1/2 U_F - u \cdot l}{2} \quad /7.15/$$

Dosažením rovnosti /7.13/ do rovnice /7.11/ získáváme vztah:

$$EJy' = \frac{U_F \cdot b \cdot l}{2} - \frac{u l^3}{24} + \frac{M_E l}{2} \quad /7.16/$$

V našem případě  $U_B$ ,  $U_F$ ,  $p$ ,  $q$ ,  $R_E$  a  $R_C$  jsou známé, neznámými zůstaly  $M_E$  a  $M_C$ . Pro určení těch dvou parametrů provedeme analýzu deformací mečíku bidelu.

### 7.3.2 Zkrucování mečíků

Mečík se zkrucuje na úseku mezi nosníkem bidelu a ped-bidlenicí, kde má stále stejný průřez. Označíme polárný moment průřezu  $J_{\bullet}$  a plechu F.

Napišeme závislost pro určení úhlu zkrutu mečíku

$$= M_{kr} \cdot L_{kr} / (G_{\bullet} \cdot J_{\bullet}) \quad /7.17/$$

kde

$M_{kr}$  - kroutící moment

$L_{kr}$  - délka krouceného úseku mečíku

$G_e$  - modul zdvihu

$J_k$  - geometrická charakteristika tuhosti při kroucení

Pro otevřené profily sestavených z několika úzkých obdélníků různé tloušťky, charakteristika tuhosti při vázaném kroucení určují vztahem:

$$J'_k = J_k \cdot \gamma = \gamma \sum h_i \cdot \delta^3 / 3 \quad /7.18/$$

kde

$\gamma$  - opravní součinitel

$h$  - šířka obdélníku

$\delta$  - tloušťka obdélníku

Poněvadž deformace nosníku a mečíku vzájemně souvisí úhel krutu mečíku musí být roven úhlu sklenu pružné čáry ohnutého nosníku na uložení, t.j.

$$\arctg y' = \varphi \quad /7.19/$$

Kroutící moment na mečíku vzniká od otáčení v uloženích nosníku bidelu, t.j.

$$M_{kr} = M_E \quad /7.20/$$

Závislosti /7.16/, /7.17/, /7.19/ a /7.20/ sestavují systém rovnic, které stačí pro určení čtyř neznámých:  $y'$ ,  $\varphi$ ,  $M_E$

$M_{kr}$ .

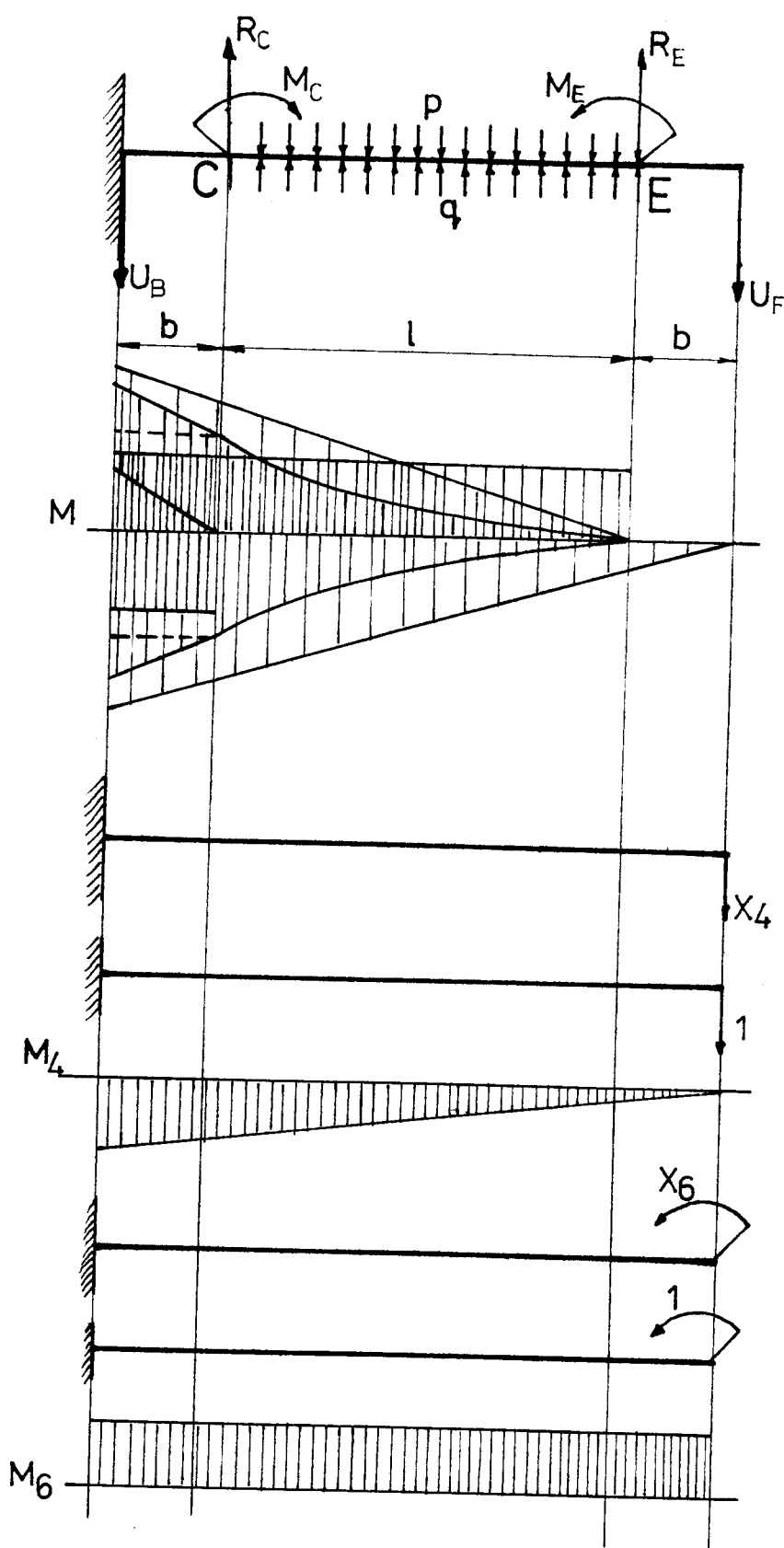
Ted se vrátíme k náhradnímu systému, který je znázorněn na obrázku č. 16. Pro určení neznámých parametrů:  $x_1$ ,  $x_2$ ,  $x_3$ ,  $x_4$ ,  $x_5$ ,  $x_6$  používáme metodu sil.

Tato metoda sil spočívá v tom, že musíme pro náš případ sestavit systém kanonických rovnic.

#### Určení staticky neurčitých veličin

V našem případě jsou známy následující veličiny:

$U_B$ ,  $U_F$ ,  $p$ ,  $q$ , ale máme také šest neznámých parametrů, proto máme 6krát staticky neurčitý systém. Z tohoto důvodu musíme sestavit 6 kanonických rovnic, aby se zbavila statická neurčitost.



obr. č. 18

Kanoničké rovnice přijmeou tvar:

$$\delta_{11}x_1 + \delta_{12}x_2 + \delta_{13}x_3 = -\delta_{1p}$$

$$\delta_{21}x_1 + \delta_{22}x_2 + \delta_{23}x_3 = -\delta_{2p}$$

$$\delta_{31}x_1 + \delta_{32}x_2 + \delta_{33}x_3 = -\delta_{3p}$$

$$\delta_{44}x_4 + \delta_{45}x_5 + \delta_{46}x_6 = -\delta_{4p}$$

$$\delta_{54}x_4 + \delta_{55}x_5 + \delta_{56}x_6 = -\delta_{5p}$$

$$\delta_{64}x_4 + \delta_{65}x_5 + \delta_{66}x_6 = -\delta_{6p}$$

/7.21/

Použitím systému kanoničkých rovnic /7.21/ pro konkrétní případ vzhledem k obrázku č. 18 dostaneme systém výsledných rovnic, které budou nám stačit pro určení statické neurčitosti:

$$\delta_{4p} + x_4 \cdot \delta_{44} = 0 \quad /7.22/$$

$$\delta_{6p} + x_6 \cdot \delta_{66} = 0$$

Ze soustavy rovnic /7.22/ lze snadno určit neznámé  $x_4$  a  $x_6$ .

$$x_4 = \frac{\delta_{4p}}{\delta_{44}}$$

/7.23/

$$x_6 = \frac{\delta_{6p}}{\delta_{66}}$$

Hodnoty veličin  $\delta_{4p}$ ,  $\delta_{6p}$ ,  $\delta_{44}$ ,  $\delta_{66}$  určujeme z obrázku č. 18 pomocí momentevých plach a souřadnic těžišť u průběhu momentů od jednotkových sil (pravidlo Veresčagina).

$$\delta_{44} = \frac{1}{EJ} \cdot \left( \frac{1+2b/3}{3} \right)$$

$$\delta_{66} = \frac{1}{EJ} / 1 + 2b/3$$

$$\delta_{4p} = \frac{1}{EJ} \left[ -\frac{(b+1)^2}{2} \cdot R_E \cdot \left( \frac{5}{3}b + \frac{2}{3}l \right) - \frac{b^2 \cdot R_E}{2} \cdot \right.$$

$$\left. \cdot \left( 1 + \frac{5}{3}b \right) - \frac{1}{6}ql^3 \left( \frac{3}{4}l + b \right) - \frac{1}{2}ql^2 \cdot b \cdot \left( \frac{3}{2}b + l \right) \right]$$

$$\begin{aligned}
 & - \left( \frac{q_1}{2} \cdot \left( \frac{1}{2} + b \right) - \frac{q_1 l^2}{2} \right) \cdot \frac{b}{2} \cdot \left( \frac{5}{3} b + 1 \right) - M_E (1+b) \\
 & \cdot \left( \frac{1}{2} + \frac{3}{2} b \right) + M_C \cdot b \left( 1 + \frac{3}{2} b \right) + \frac{U_F / l + 2b/2^2}{3} \\
 & \cdot \left( 1 + 2b \right) + \frac{1}{6} pl^3 \left( \frac{3}{4} 1 + b \right) + \frac{1}{2} pl^2 \cdot b \cdot \left( \frac{3}{2} b + 1 \right) + \\
 & + \left( \frac{pl}{2} \left( \frac{1}{2} + b \right) - \frac{pl^2}{2} \right) \cdot \frac{b}{2} \cdot \left( \frac{5}{3} b + 1 \right) \Big] \\
 \delta_{6p} = & \frac{1}{EJ} \left[ \frac{1/b+1/2 \cdot R_E}{2} + \frac{b^2 \cdot R_C}{2} + \frac{1}{6} q_1 l^3 + \frac{1}{2} q_1 l^2 \cdot b + \right. \\
 & + \left( \frac{q_1}{2} \left( \frac{1}{2} + b \right) - \frac{q_1 l^2}{2} \right) + M_E / 1 + b / - M_C \cdot b - \frac{U_F / l + 2b/2^2}{3} \\
 & \left. - \frac{1}{6} pl^3 - \frac{1}{2} pl^2 \cdot b - \left( \frac{pl}{2} \left( \frac{1}{2} + b \right) - \frac{pl^2}{2} \right) \cdot \frac{b}{2} \right]
 \end{aligned}$$

Napišeme rovnice momentů relativně libovolného řezu A-A z pravé strany

$$EJy'' = U_F / b + x / - R_E x - ux^2 / 2 - M_E + x_4 / b + x / - x_6 / 7.24 /$$

Integrujeme tuto rovnici dvakrát:

$$\begin{aligned}
 EJy' = & /U_F + x_4/ \cdot /bx + \frac{x^2}{2} + \frac{ux^3}{6} - M_E x - x_6 \cdot x + C_1 - \frac{R_E x^2}{2} / 7.25 / \\
 EJy = & /U_F + x_4/ \cdot / \frac{bx^2}{2} + \frac{x^3}{6} / - \frac{R_E x^3}{6} - \frac{ux^4}{24} - \\
 & - \frac{x^2}{2} / M_E + x_6 / + C_1 x + C_2 / 7.26 /
 \end{aligned}$$

Při  $x = 0$  máme  $y = 0$ , proto  $C_2 = 0$

Dosazením do rovnice /7.25/ určíme  $C_1$ ,

$C_1 = EJy' / 7.27 /$ , kde  $y'$  je tangenta úhlu sklonu tečny na opeře E.

Jestliže  $x = \frac{l}{2}$ , tedy  $y' = 0$ . Tehdy rovnice /7.25/ určíme  $C_1$

$$C_1 = - /U_F + x_4/ \cdot / \frac{bl}{2} + \frac{b^2}{8} / + / x_6 + M_E/ \cdot \frac{1}{2} + \\ + \frac{ul^3}{48} + \frac{R_E l^2}{8} \quad /7.28/$$

Vylučujeme  $C_1$  z rovnic /7.27/ a /7.28/

$$EJy' = - /U_F + x_4/ \cdot \left( \frac{bl}{2} + \frac{l^2}{8} \right) + (x_6 + M_E) \frac{1}{2} + \frac{ul^3}{48} + \\ + \frac{R_E l^2}{8} \quad /7.29/$$

Sestavíme rovnici momentů relativní bodu C:

$$R_E l + x_6 - x_4 /l + b/ - pl^2/2 + M_E - M_C + U_B \cdot b - U_F/l + b/+ \\ + ql^2/2 + x_1 \cdot b - x_3 = 0 \quad /7.30/$$

V důsledku symetrií konstrukce a rovnosti reakčních momentů a sil setrvačnosti ramene

$$R_E = x_4 + U_F - \frac{ul}{2} \quad /7.31/$$

$$R_E = R_C \quad /7.32/$$

Dosažením  $R_E$  v rovnici /7.29/ a úpravou získáváme vztah:

$$EJy' = - /U_F + x_4/ \cdot \frac{bl}{2} + /x_6 + M_E/ \cdot \frac{1}{2} - \frac{ul^3}{24} \quad /7.33/$$

V rovnici /27/ máme jen jednu neznámou veličinu  $M_E$ . Pro její určení se vrátíme k analýze deformace mečíku bidlenu. Zde nám zůstávají platné vzorce /7.17/ /7.18/ /7.19/ /7.20/ sestavujeme systém rovnic, které stačí k určení neznámých:  $y'$ ,  $\varphi$ ,  $M_E$ ,  $M_{kr}$ .

### 7. 3. 3 Pevnostní kontrola nosníku paprsku

Při ohýbu nosník bidlenu považujeme za nosník, u kterého rovina působení sil se shoduje s hlavní rovinou /viz obr. č. 15 a č. 16/, t.j. budeme rozehnávat přímý ohyb.

Při příčném ohýbu nosníku vznikají nejenom normálové, ale i tečné napětí, která závisí na délce nosníku nebo na

vzdálenosti mezi mečíky 1 a výšky h příčného řezu nosníku. Pro nosníky, které mají poměr  $\frac{1}{h} > 4$ , můžeme zanedbat tečné napětí a normálové napětí při příčném ohýbu určujeme jako při čistém ohýbu vztahem:

$$\sigma_{z\max} = M_x y_{\max} / J_x \quad /7.34/$$

kde

$M_x$  - ohýbový moment, působící na nosník bidlenu

$y_{\max}$  - vzdálenost mezi neutrální osou a nejvíce vzdáleným bodem

$J_x$  - moment setrvačnosti příčného řezu relativně neutrálnej ose

$$\sigma_{z\max} \leq [G]_D \quad /7.35/$$

#### 7.3.4 Pevnostní výpočet mečíku

Vrchní část mečíku připevněna k nosníku bidlenu, a spodní k uložení pědbidlenice. Proto zkrucování mečíku jak tenkostenního nosníku otevřeného profilu se probíhá nesvobodně, ale při existenci vazeb. Takové kroutení se jmenuje vázané kroutení. Použité výpočty na vázané kroutení ukazují, že kromě tečných napětí čistého ohýbu v mečíku vznikají také segmentové tečné napětí a segmentové normálové napětí.

Tečné napětí při čistém kroutení:

$$T_{\max} = M_{kr} \delta_{\max} / J_k \quad /7.36/$$

kde

$M_{kr}$  - kroutící moment působící na mečík

$\delta_{\max}$  - maximální tloušťka stěny U - profilu

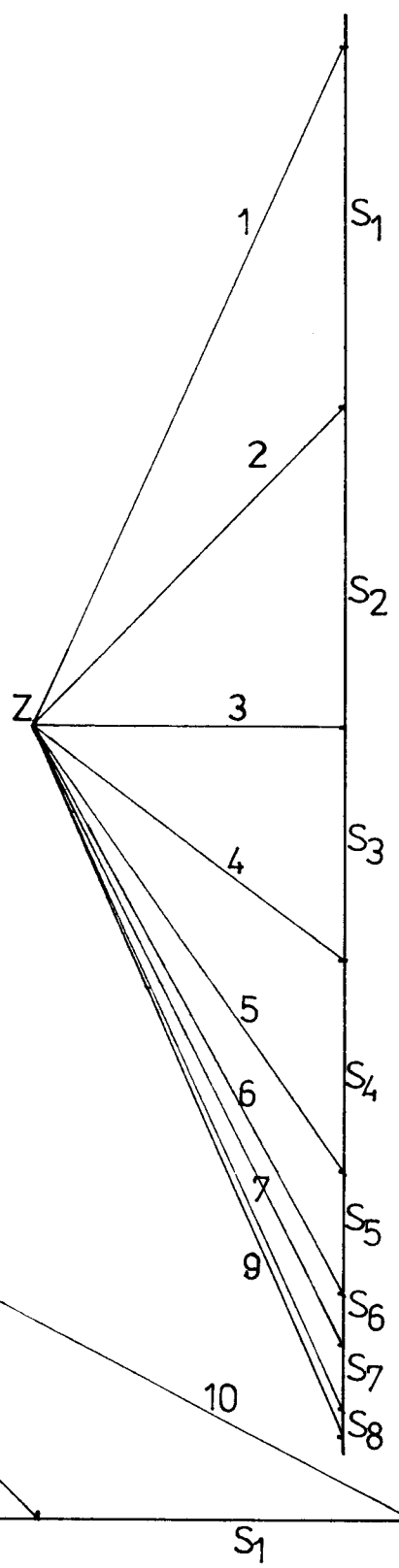
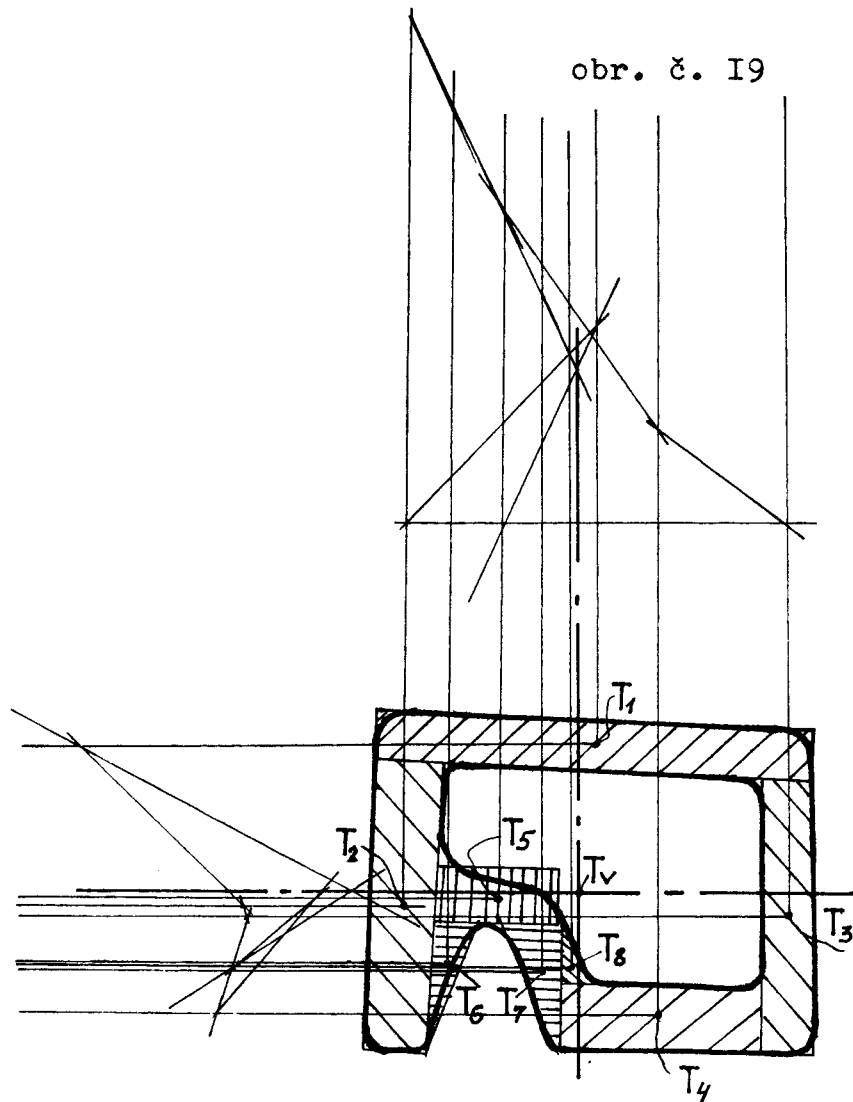
Doplňující napětí při vázaném kroutení můžeme zvážit souběžitelem  $\gamma = 1,3$  /viz vztah /7.18/.

#### 7.3.5 Výpočet momentů setrvačnosti

Pro konkrétní řešení potřebujeme znát momenty setrvačnosti průřezu svrholcu a nosníku. Výpočet těchto momentů setrvačnosti průřezu byl proveden pomocí grafické metody, která je uvedena na obr.č. I9,20a,b . Veličiny skutečných hodnot těchto momentů setrvačnosti jsou v tabulkách č. 8, 9, IO.

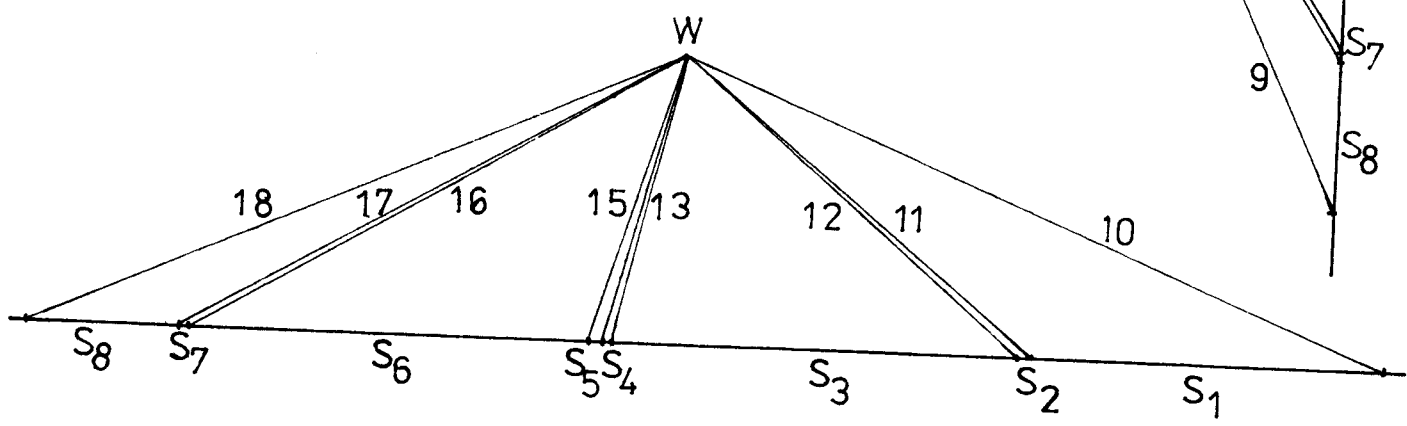
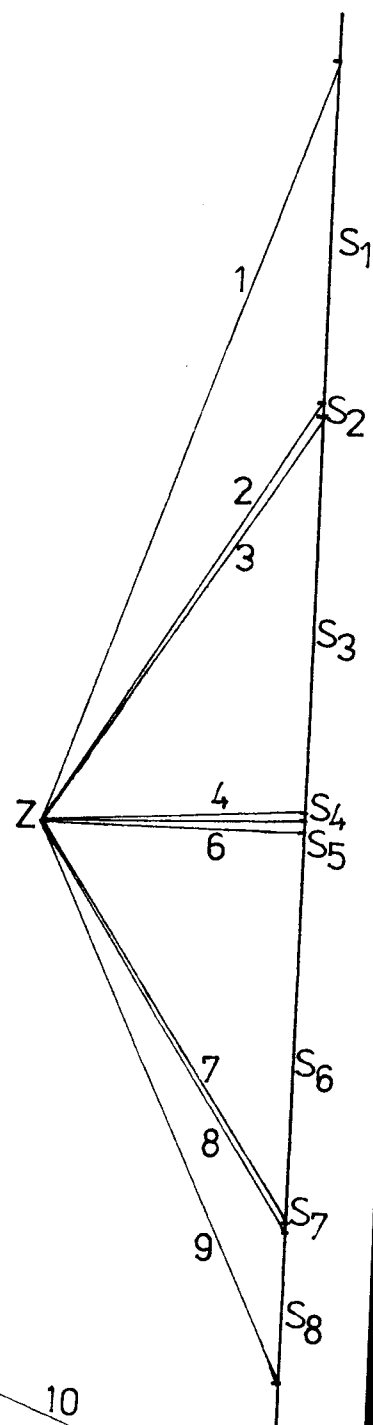
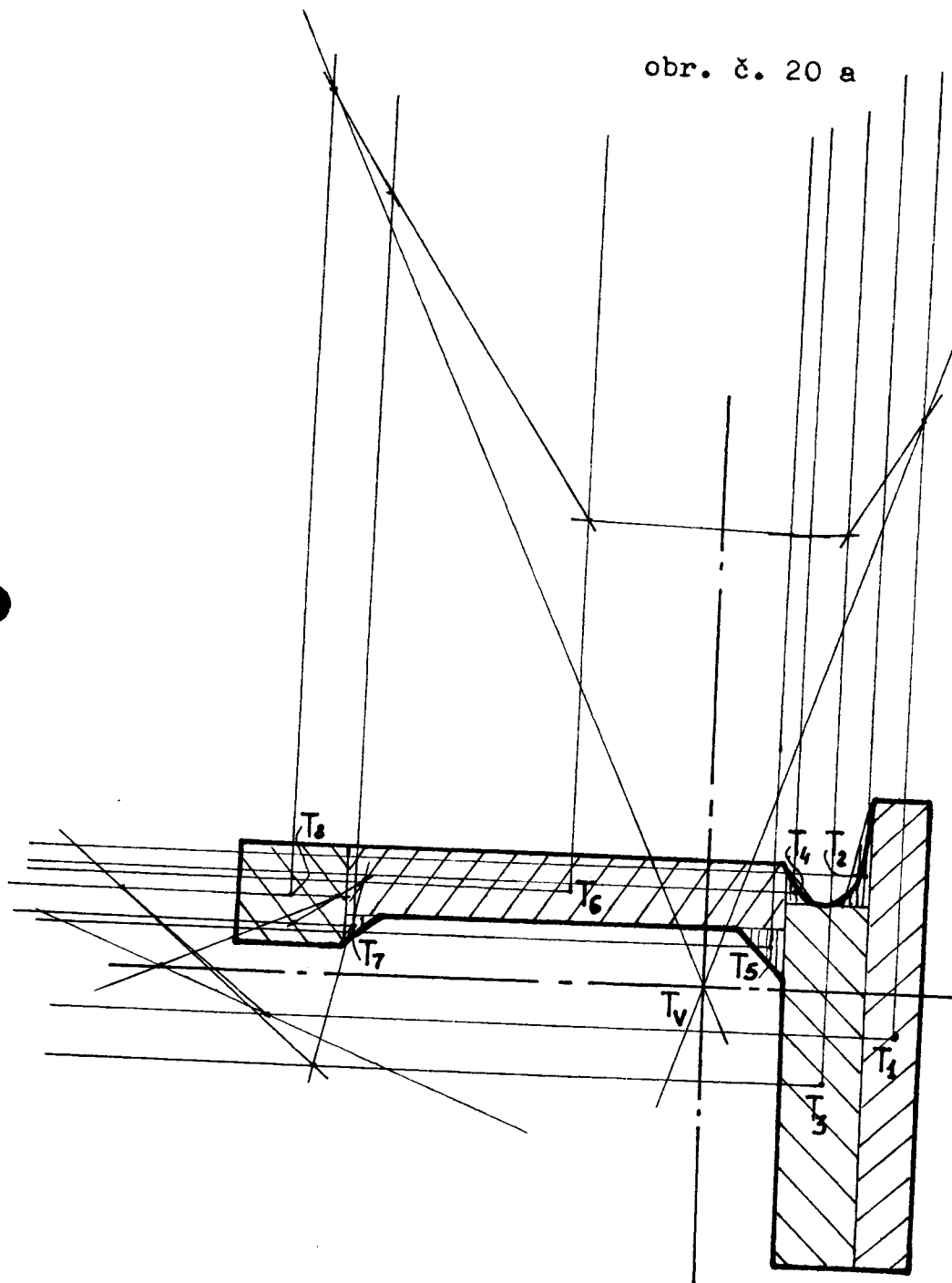
obr. č. I9

Profil svařholec



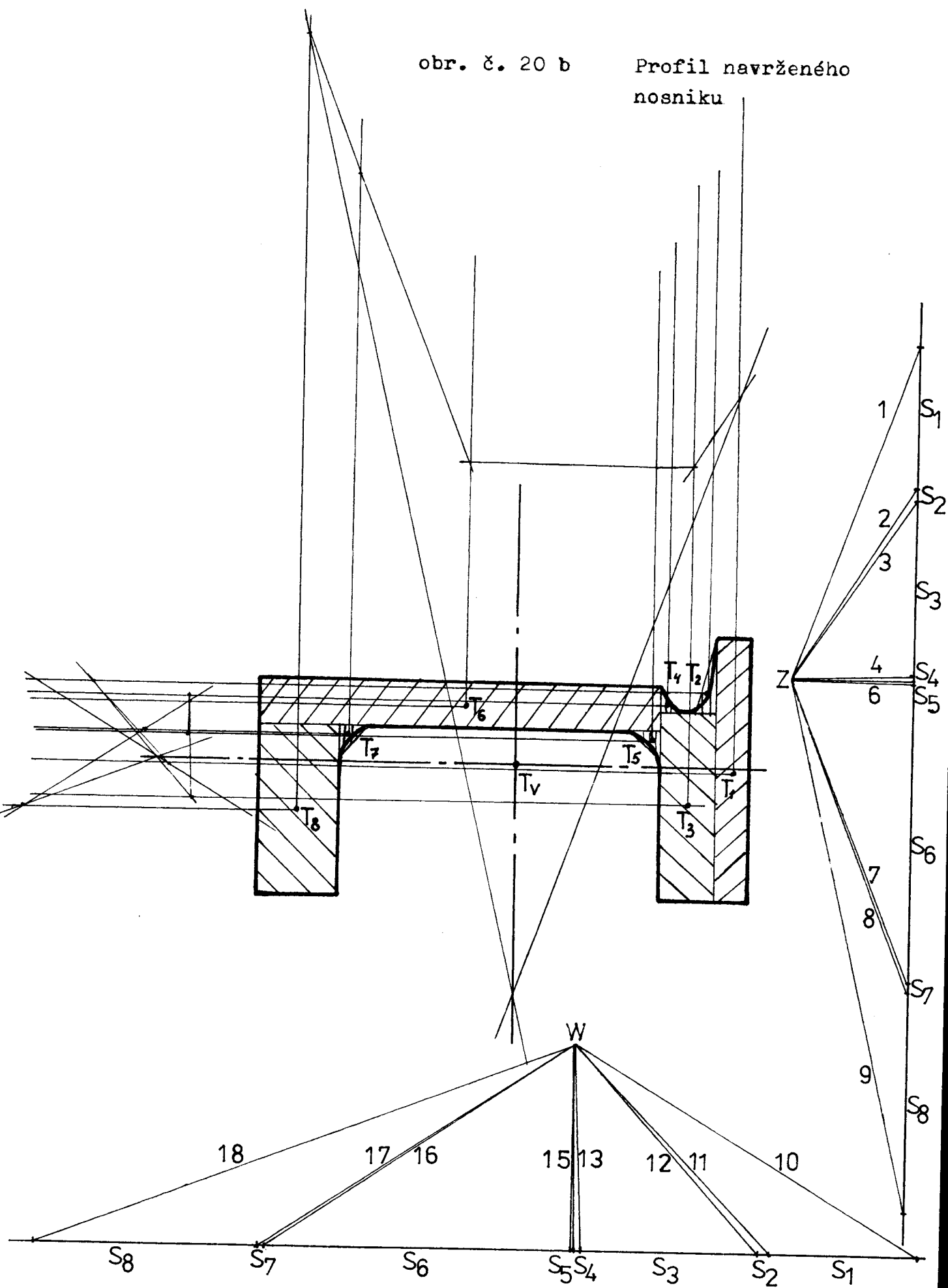
obr. č. 20 a

Profil nosníku



obr. č. 20 b

Profil navrženého  
nosníku



Tabulka č.8      Rozměrové charakteristiky profilu č. 1  
/svrholec/.

č. elem.	plocha ele- mentu S $\times 10^{-6}/\text{m}/$	moment setrovač- nosti $J_x$ $\times 10^{-12}/\text{m}^4/$	posunutí těžiště $/\text{m}/$	moment setrovač- nosti $\times 10^{-12}/\text{m}^4/ \cdot J_x$
1	406	1686,42	0,004	8182,42
2	360	48000	0,021	206760
3	259	29547,58	0,0295	254942,33
4	243	1640,25	0,013	42707,33
5	136	457,33	0,0085	10283,3
6	55,3	161,97	0,015	12593,2
7	66	241,78	0,003	835,78
8	18	16	0,0015	56,5
$\Sigma$	1318,25			536360,81

Tabulka č.9      Rozměrové charakteristiky profilu č. 2  
/nosník/.

č. elem.	plocha ele- mentu S $\times 10^{-6}/\text{m}/$	moment setrovač- nosti $J_x$ $\times 10^{-12}/\text{m}^4/$	posunutí těžiště $/\text{m}/$	moment setrovač- nosti $\times 10^{-12}/(\text{m}^4) \cdot J_x$
1	560	2986,67	0,028	442026,67
2	23,7	11,85	0,023	12549,15
3	648	7776	0,018	217728
4	9	4,5	0,0125	1410,75
5	21	42	0,0098	2058,84
6	12,5	17,36	0,051	32529,86
7	640	218453,3	0,020	474453,3
8	247,5	5615,15	0,0605	911527,02
$\Sigma$	2161,7			2094283,5

Tabulka č.10 Rozměrové charakteristiky profilu č. 3  
/navržený nosník/.

č. elem.	plocha ele- mentu S $\times 10^{-6}/\text{m}/$	moment setrovač- nosti $J_x$ $\times 10^{-12}/\text{m}^4/$	posunutí těžiště $/\text{m}/$	moment setrovač- nosti $J_{x1}$ $\times 10^{-12}/\text{m}^4/$
1	388,5	1586,38	0,0442	760575,51
2	22,5	11,25	0,0391	34409,475
3	480,0	5760,00	0,0352	600499,2
4	8,75	5,955	0,031	7923,01
5	15,0	20,83	0,027	11118,43
6	820,0	459473,3	0,0105	549878,3
7	15,0	20,83	0,034	14360,83
8	595,0	14329,58	0,0442	1176745,3
$\Sigma$	2344,75			3158509,9

#### 7.3.6 Návrh odlehčení konstrukce mechanismu přírazu

Na základě provedeného pevnostního výpočtu /vztahy č. 7.17, 7.19, 7.34, 7.35, 7.36/ byla navrhнута odlehčená konstrukce přírazového mechanismu.

Změnou L-profilu nosníku, který je výraben s duralu na U-profil bylo dosaženo zvýšení momentu setrovačnosti průřezu  $J_k$  tohoto nosníku I,508 krát. Mírným zvětšením plochy průřezu nového nosníku sice došlo i ke zvýšení jeho hmotnosti, ale v poměru k dosavadnímu stavu jenom o I,0846 nasobek.

Zvýšením momentu setrovačnosti nového průřezu bylo dosaženo zvýšení tuhosti celkového systému, co znamená, že se změnila hodnota průhybu nosníku  $y_{\max}$ . Průhyb nosníku je však také funkci uhlu skrucování mečiku. Právě tato sku-

tečnost poukázala na možnost změny materiálu mečíků bidlenu. Místo litiny /dovolené napětí v krutu 35-45 MPa/ byla navržena slitina hliniku /dovolené napětí v krutu 30-50MPa/. Změnou materiálu mečíků se změnila hodnota modulu pružnosti v krutu  $G_0$  I,59 krát.

Celkové odlehčení mechanismu přírazu spolu se změnou profilu nosníku a změnou materiálu mečíků představuje hodnotu I7,I90 kg. Toto odlehčení má velký vliv na dynamický učinky mechanismu bidlenu s přehlédnutím k jeho působení na rám stroje. Dochází totiž ke značnému zmenšení výsledných dynamických sil bidlenového mechanismu, čímž i vzniklé rázy , spůsobené střídavým pohybem bidlenu, se značně zmenší.

Vzhledem k tomu , že byla provedena jenom změna materiálu mečíků a změna profilu nosníku, konstrukce bidlenu zůstala stejná jako předtím. Není teda potřebné rýsovat celou sestavu bidlenu , stačí, když jsou překresleny jen rekonstruované části tohoto mechanismu, co je provedeno na výkresu v příloze.

Například, vSSSR pro zvýšení frekvence otáčení hlavního hřídele stroje AT-I75-I /bez zvýšení setrovačnostního namáhání a bez snížení doby provozu a spolehlivosti současťí/ byla zmenšena hmota bidlenu v smontovaném stavu ze I37,7 kg na 95 kg cestou výměny řady součástí z oceli a litiny součástmi z duralu. Navíc ještě byla snížena hmota a rozměry člunku a zmenšena výška proslupu. Výsledkem bylo dvounásobné zmenšení momentu setrovačnosti odlehčeného bidlenu oproti původnímu.

Dlouhodobá pozorování prokázala, že tkací stavy s odlehčenými bidleny pracují produktivněji a spolehlivěji, protože výskyt poruch i počet přetrhů nití se značně zmenšily.

## 8. MĚŘENÍ NEELEKTRICKÝCH VELIČIN

### 8.1 Elektrické tenzometry

Při měření neelektrických veličin se stále více uplatňují elektrické měřící metody. Tak bezprostředně měření napětí u součástí strojů složité konfigurace stále se provádí použitím tenzometrů. Důvodů je velká řada a uvedeme alespoň tyto:

- a/ poměrně snadný přenos signálu na dálku
- b/ čistota prvek
- c/ snadno dostupné napájecí zdroje
- d/ vysoká citlivost a přesnost
- e/ řadu prvků lze zhodnotit v miniaturních rozměrech
- f/ univerzálnost, přizpůsobivost, značný rozsah mezi měřením od velmi velkých až do velmi malých hodnot měřené veličiny
- g/ snadnost kontinuálního snímání a jeho záznam
- h/ schopnost snímání a přenosu měřené veličiny v širokém rozsahu frekvencí.

V současné době získaly elektrické měřící metody v experimentální pružnosti hlavní místo. Pomocí těchto metod lze provádět měření i na místech špatně přístupných /vnitřní stěny nádob, pohyblivé součásti apod/ získaný signál může být dále upravován / derivování, integrace apod./, signál můžeme zviditelnit, registrovat apod., a to prakticky bez ohledu na průběh a frekvenci.

Elektrické tenzometry využívají závislosti změny určitého elektrického jevu na změně délky. Tenzometr zde představuje vlastně mechanickoelektrický transformátor. Zpravidla se sestává z vlastního měřicího tělíska, tzv. snímače a z měřicí aparatury doplněné případně registračním zařízením / hladinový zapisovač, smyčkový osciloskop apod./.

### 8.2. Elektrické odporové tenzometry

Princip odporového tenzometru záleží v tom, že tenký odporový drát průměru 20 - 30 mm, např. konstantanový, je ve tvaru mříže navinut a přilepen na izolační podložku. Takte vzniklý tenzometrický pásek se lepí přímo na měřenou

součást. Při deformaci součásti se deformauje i drátek. Deformace drátku vyvolává změnu odporu.

#### 8.2.1 Typy elektrických odporových tenzometrů

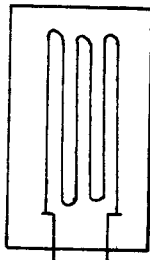
U odporových elektrických tenzometrů je mechanicko-elektrickým převodníkem element u něhož se mechanickou deformací mění ohnický odpor  $R$ . Podle toho v čem změna odporu nastává, dělíme odporové tenzometry zhruba na čtyři skupiny:

- a/ změna odporu nastává v uhlikové destičce
  - b/ změna odporu nastává v kovovém drátku nebo pásku
  - c/ změna odporu nastává v polovodičích
  - d/ změna odporu nastává ve slabé kovové vrstvě nanesené ve vakuu
- a/ Uhlikové snímače - byly vyvinuty ve 30. letech u fy. AEG, Hamilton-Standart a byly vyráběny ve dvou standartních uspořádáních:
- 1/ Změna odporu nastávala ve sloupci uhlikových destiček připevněných k povrchu a stlačených. Délková změna vyvolá změnu tlaku mezi destičkami a ta má za následek změnu dotykové plochy destiček a tím i změnu odporu. Nevýhodou je, že vztah mezi odporovou změnou a tlakem není lineární.
  - 2/ Lepené snímače zhotovené impregrací kovových uhlikových částic do plátků o rozměrech  $0,6 \times 2,5$  cm. Snímače takto provedené měly odpor od 15 - 30 000 a byly značně citlivé na vlhkost.
- b/ Drátkové snímače - jsou založeny na závislosti změny elektrického odporu kovového vodiče na změně jeho délky. Rozsáhlým výzkumem byla nalezena řada materiálů, u nichž je lineární závislost mezi poměrným prodloužením a odporovou změnou. S ohledem na tuto lineární závislost, nepatrné rozměry a váhu byla tato metoda prepracována tak, že její vývoj je v podstatě zakončen. Je to dnes nejužívanější metoda jak pro měření statických, tak i dynamických namáhání.

Materiál drátku musí mít malý součinitel roztažnosti a ve velkém rozsahu přímou závislost mezi poměrnou změnou odporu a prodloužením. Běžně se užívá na výrobu odporového drátku konstantan /60% Cu, 40 Ni/, který má přímkovou závislost až do poměrného prodloužení 65%; součinitel tepelné roztažnosti  $\alpha = 1,25 \cdot 10^{-5} 1/\text{^{\circ}C}$ , modul pružnosti  $E = 1,5 \cdot 10^6 \text{ kp/cm}^2$  a deformacní citlivost  $k_e = 2,0$ . Je snadno zpracovatelný. Průměr drátků bývá zpravidla 0,01 - 0,03 mm.

Drátové snímače dělíme dle způsobu zhřebování a položení měrného vinutí na:

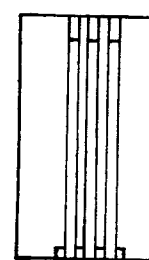
- 1/ Snímače s měrným drátkem ve smyčkách - odporový  
drát je navinut ve tvaru několikanásobného U /obr. 21/ a nalepen na podložku /papír, akrylátová nebo epoxidová pryskyřice, bakelit apod./
- 2/ Snímače vinuté - s měrným vinutím navinutým ve tvaru spirály na tenký papírek, tato spirála se zpleští a jako celek se přilepí na podložku /obr. 22/ - výroba je jednoduchá, ale snímač je příliš tuhý a vyžaduje tudíž dokonalé lepidlo.



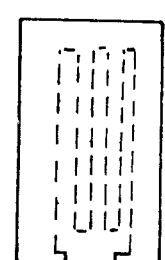
obr. 21



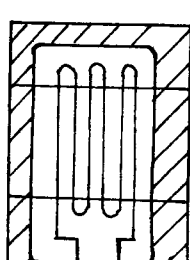
obr. 22



obr. 23



obr. 24



obr. 25

- 3/ Snímače svinutím mřížkovým - měrné vinutí je položeno v řadách, na koncích propojeno silnějšími připájenými vodiči, zpravidla jsou vodiče zataveny v podložce z umělé hmoty.
- 4/ Snímače pro měření za vysokých teplot - k měření deformací v různých teplotních podmírkách existuje opět celá řada odporových tenzometrů, vzájemně se lišících odporovým materiálem, izolační podložkou, lepidlem a technologií výroby. Materiálem izolační podložky bývá zpravidla do teploty 80°C papír nebo termoplast,

pro teploty vyšší epoxidová pryskyřice nebo různé keramické materiály.

U snímačů pro měření za vysokých teplot je měrné vinutí volné a klade se přímo na měření místo do izolační podložky vytvořené z keramických materiálů /obr. 25/

- 5/ Snímače tkané - u nich je měrné vinutí větkáno jako útek do osnovy z umělého hedvábí nebo skleněné tkаниny obr. 24. Takto vzniklá tkanina se máčí v pryskyřici a lepí se na měřenou součást.
- 6/ Snímače foliové jsou vyrobeny fotochemickým způsobem z folie o tloušťce 12 - 15 mm. Foliové snímače se používají zejména pro měření membránových napětí, gradientu napětí, snímače o velmi malé měrné délce apod.

Řada vlastností foliových snímačů je lepší než snímačů drátkových. Je to především odvádění tepla, což umožňuje zvětšit proudové zatížení snímače a tím zvětšit jeho citlivost. Dále je to dokonalejší styk odpovědící folie s izolační podložkou a tím menší smykové napětí vyvolané přenosem deformace. Foliové snímače jsou stabilnější a tím i přesnější než drátkové. Jednou z hlavních výhod foliových snímačů je jejich jednoduchá výroba, která je zcela analogická výrobě plošných spojů v radiotechnice.

c/ Povelodičové snímače

Snímače z nekovových materiálů jsou založeny na tom, že krystal /germania nebo křemíku/ podroběný deformaci, mění silně svůj odpor. Deformační citlivost je u těchto snímačů vproti snímačům z kovu značně vysoká/ $k_0 = -150$  až  $+150$  u křemíku až  $175\%$ . Odporová změna však není zcela lineární na deformaci, zejména při deformaci v tlaku. Vzhledem k vysoké deformační citlivosti se stávají polovodiče vhodným snímačem mechanické relativní deformace, na jehož elektrickém výstupu není třeba připojení zesilovače, nýbrž lze přímo zapojit smyčku osciloskopu. Deformační citlivost polovodičových tenzometrů je závislá na teplotě

#### d/ Odporevé snímače z kovové vrstvy nanesené ve vakuu

Element citlivý na deformaci zde tvoří slabá vrstva kovu nanesená sublimací na nevodivý podklad, např. relaxovaný proužek hliníku potažený silikonovou pryskyřicí se stříbrnými vývody. Je snaha využít těchto snímačů zejména při měření deformací za vysokých teplot. Deformační součinitel je značně závislý na tloušťce vrstvy a na teplotě.

#### 8.2.2 Vlastnosti odporových tenzometrů

Vlastnosti snímačů se mohou značně lišit u různých typů snímačů. Může to být způsobeno různými drátky použitými na výrobu snímače, jejich tepelným zpracováním, podkladovým papírkem, vrstvou tmelu při nalepování snímače atd. Ovšem i snímače jednoho typu nemusí mít zcela shodné vlastnosti, jejich chování bude jiné, budou-li umístěny na povrchu odvádějícím teplo, nebo na materiálu tepelně izolačním.

Tenzometr, který byl pro ověřování vybrán nelze již použít pro další měření. Vlastnosti každého jednotlivého exempláře tedy známy nejsou.

Při odlehčování a zatížení vzniká u tenzometrů zpravidla hysterese obráceného smyslu než byla původní deformace. Velikost této počáteční hysterese je různá podle typu snímače a je zpravidla větší u snímačů s delší měrnou délkou je nižší.

Rovněž rozptyl hodnot deformačního součinitele  $k_e$  je u snímačů nejmenších horší. Velikost deformačního součinitele  $k_e$  je dána i tvarem měrného vinutí, protože konečná šířka měrného vinutí reaguje i na deformaci kolmou k ose snímače. Odporová změna  $\frac{\Delta R}{R}$  bude potom výsledkem odporové změny způsobené deformací ve směru osy a deformací k ose kolmé

$$\frac{\Delta R}{R} = /k - \mu k_p/ \cdot \dot{\epsilon} = k_e \dot{\epsilon}$$

kde  $k$  - podélný deformační součinitel

$k_p$  - příčný deformační součinitel

$\mu$  - Poissonovo číslo materiálu cejchovací tyčky

$k_e$  - výsledný deformační součinitel

Vzhledem k tomu, že snímač je cejchován v poli jednoosé napjatosti, bývá udáván pro snímače vždy součinitel  $k_e$ .

Maximální přípustný proud ve snímači bývá zpravidla  $20 \mu A$ . Přílišná velikost proudu se projeví nestabilitou odporové hodnoty v závislosti na čase a to i u nezatíženého snímače.

#### Vliv vlhkosti

V prostředí o vysoké vlhkosti nebo při měřeních trvajících delší dobu, dochází k navlnutí snímačů. Citlivé jsou zejména snímače z organických materiálů. Navlnutí se projeví zejména snížením izolačního odporu snímače vůči "zemí", elektrolýzou a s ní spojenou korozí měrného "drátku" v době měření, změnou rozměrů i mechanických vlastností snímače bobtnáním podložky i tmelu.

Vliv vlhkosti nelze vyloučit a proto snímač musíme před vlhkem chránit a to např. izolačními nátěry o malé mechanické pevnosti, které neovlivňují funkci snímače. Tyto nátěry se nanáší v tenké vrstvě na snímač i jeho okolí. Dobře se osvědčují vosky, epoxydové pryskyřice atd. V prostředí o vysoké vlhkosti můžeme ještě krýt snímač gumovou čepičkou přilepenou na měřený povrch.

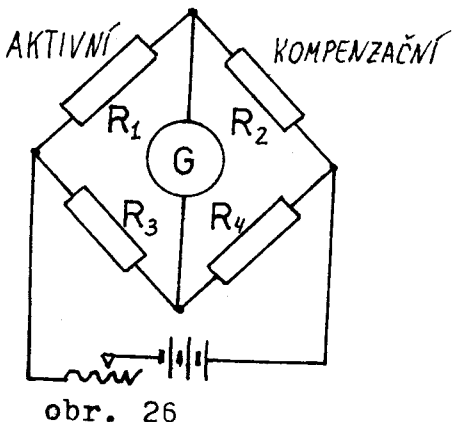
#### Vliv provozních podmínek na snímač

Dále musíme brát v úvahu vliv prostředí na odporový tenzometr a vlivy mimořádných podmínek, objevujících se zejména při měření na strojích a součástech za provozu. Tyto podmínky způsobují systematické měřící chyby a jejich vyleučení je nutné věnovat pozornost především.

#### Vliv teploty

Změna teploty během měření se projeví jednak volnou dilatací předmětu a jednak odporovou změnou samotného snímače, co má za následek zkreslení výsledků měření. Tento vliv teploty lze do jisté míry eliminovat:

1/ použitím tzv. kompenzačních snímačů, které zapojujeme do druhé větve Wheatstonova můstku (obr. 26). Kompenzač-



obr. 26

ní snímač musí být stejného typu jako snímač měřící /stejný deformační součinitel, stejný ohmický odporník apod./ a musí být nalepen na stejném materiálu, ale bez napětí a co nejbliže měřeného místa.

- 2/ použitím autokompenzovaného snímače, kde k normálnímu vinutí připojíme v serii přídavnou smyčku z materiálu fyzičně odlišného /např. konstantan a měď/.

#### Vliv hydrostatického tlaku

Při měření např. na vnitřní stěně tlakových nádob je snímač vždy vystaven působení hydrostatického tlaku, zatěžovacího media. Tento vliv se může na přesnost měření projevit teprve u tlaku několika desítek nebo set atp. Teoreticky by měl kompenzační snímač toto působení vyrovnat, avšak rozdílná vrstva tmelu a mikroskopické bublinky v něm obsažené mohou způsobit takové rozdíly, že kompenzace by byla nevhodná.

#### Únavu snímače při měření střídavých deformací

Při dlouhodobém měření při střídavém namáhání se objevují poruchy snímačů a to buď porušením měrného vinutí nebo uvolňováním snímače od povrchu. Porucha na snímači nastává zpravidla v místě připojení měrného vinutí na silnější vývod. Odlehčovací smyčky prodlužují životnost snímače stejně jako bakelitový tmel velmi výrazně. Porucha se jeví zpravidla tak, že po určité době začne odpor snímače rychle vzrůstat, až nastane porušení.

#### 8.3 Změna délky a odporová změna měrného vinutí

Pro měření deformace elektrickými odporovými tenzometry je důležitý vztah mezi poměrnou deformací povrchu  $\epsilon$  a poměrnou odporovou změnou  $\frac{\Delta R}{R}$

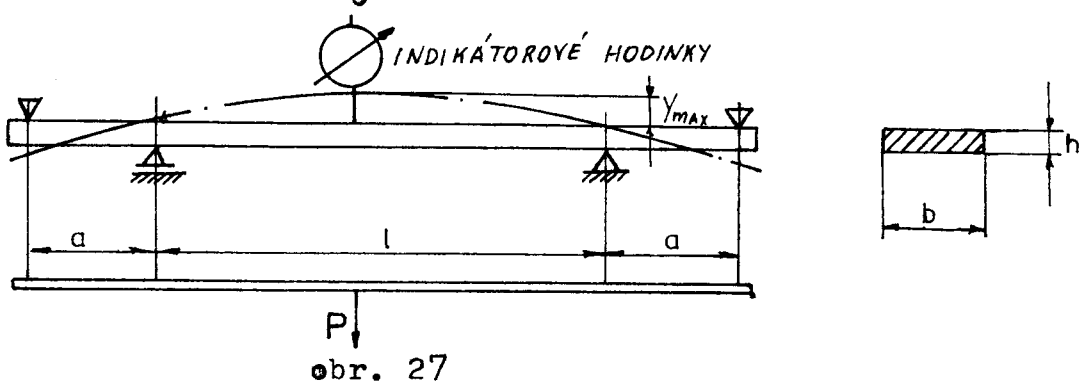
$$\epsilon = \frac{1}{k_o} \cdot \frac{\Delta R}{R}$$

kde  $k_o$  je tzv. deformační součinitel a zjišťuje se zkouškou. U většiny kovů se pohybuje v rozmezí 2 - 6. Jeho velikost je závislá na tepelném zpracování drátka, na geometrickém uspo-

řádání vinutí, na typu snímače atd. Experimentální stanovení hodnoty  $k_o$  se provádí cejchováním hotových snímačů. Vzhledem k tomu, že každý snímač lze použít pouze jednou, výrobce provádí cejchování jen několika náhodně vybraných snímačů z každé série a předpokládá se, že i u ostatních výrobků z téže série je stejný deformační součinitel.

#### 8.4 Cejchování elektrických odporevých tenzometrů

Princip cejchování znázorňuje obr. 27. Jedná se o nosník s převislými konci zatížený na volných koncích stejnými silami, čímž část mezi podporami je namáhána konstantním ohýbovým momentem  $M_o$ .



obr. 27

Průhybovou čarou takto zatíženého nosníku je mezi podporami kružnice a poměrné prodloužení krajních vláken nosníku  $\xi$  je dáno vztahem:

$$\xi = \frac{1}{E} \cdot \frac{M_o}{W_o} \quad /8.1/$$

kde

$M_o$  - ohýbový moment

$W_o$  - průřezový modul nosníku

$E$  - modul pružnosti v tahu pro materiál nosníku

Pro obdélníkový průřez nosníku pak průhyb uprostřed:

$$y_{\max} = \frac{M_o l^2}{8 E J} \quad /8.2/$$

kde

$J = \frac{1}{12} b h^3$  - moment setrvačnosti průřezu pro obdélník

$l$  = vzdálenost mezi podporami

Po úpravě rovnic /8.1/ a /8.2/ dosadíme za  $W_0 = \frac{b h^2}{6}$   
dostaneme  $\epsilon = \frac{4h}{l^2} y_{\max}$  /8.3/

Hodnoty na pravé straně rovnice /8.3/ lze velmi snadno změřit a dá se tedy potom určit i skutečná velikost. Obvykle volíme rozměry nosníku  $h = 1$  cm, vzdálenost podpor  $l = 20$  cm, pro tyto rozměry totiž  $\epsilon = \frac{1}{l^2} y_{\max}$ , z čehož plyne, že každý milimetr průhybu nosníku mezi podporami odpovídá 1% poměrného prodloužení  $\epsilon$ , přičemž jak patrno z rovnice /8.3/ nezáleží na materiálu nosníku, poněvadž výraz pro něj je závislý na modulu pružnosti E.

Stanovení deformačního součinitelé provádíme pomocí přesné tenzometrické aparatury, na níž nastavíme libovolně zvolený deformační součinitel K, pomocí cejchovacího zařízení zatížíme snímač na poměrné prodloužení  $\epsilon_0$ , jež se na tenzometrické aparatuře projeví výchylkou a ze vzorce /8.3/ pomocí změřené deformace  $y_{\max}$  získáme  $\epsilon$ , pak skutečný deformační součinitel bude dán vztahem:

$$k_0 = k \frac{\epsilon}{\epsilon_0}$$

Při cejchování zatěžujeme postupně a to nejprve v tahu a potom v tlaku a sledujeme nejen velikost  $k_0$ , ale i linearitu a velikost hysterese při prvním a dalším zatížení. Výsledný deformační součinitel bude dán aritmetickým průměrem z vícekrát opakovaného měření na každém z vybraného počtu tenzometrů.

### 8.5. Lepení elektrických odporových tenzometrů

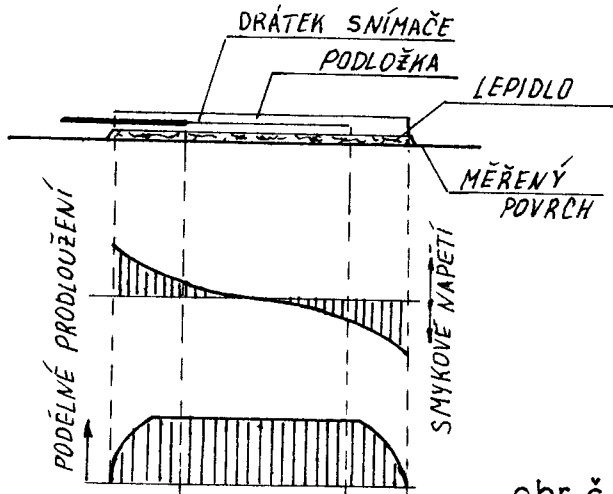
Přesnost měření elektrickými odporovými snímači je značně závislá na dobrém přilepení snímače k měřenému povrchu. Snímač musí ležet bezprostředně na materiálu, z něhož je součást vyrobena mezi snímačem a materiálem nesmí být žádná jiná látka. Postup lepení je zpravidla udáván výrobcem snímačů. Stručný postup při lepení normálních drátkových čs. snímačů.

- 1/ Očištění povrchu Plocha musí být čistá, ale nikoliv vyleštěná, protože na vyleštěné ploše většina tmelů špatně drží a po vytvrzení lepidla může pak snadno dojít k odlepnutí snímače od povrchu.

- 2/ Odmaštění povrchu Provádíme zpravidla několikanásobným použitím benzINU, toulenu, acetONU apod.
- 3/ Odstranění vlhkosti Provádí se těsně před vlastním lepením čistým ethyl-alkoholem.
- 4/ Konečné očištění povrchu měřené součásti provádíme rozpustidlem lepidla, eventuálně lepidlem samým velmi opatrně, aby se případným stykem prstů s povrchem opět nedostala na povrch mastnata.
- 5/ Vlastní lepení Povrch předmětu a příslušnou stranu snímače potřeme tenkou vrstvou lepidla, necháme krátce zaschnout a poté snímač přiložíme na předmět a přes cigaretový papírek /nebo jinou tenkou podložku/ vytlačíme zpod snímače přebytečné lepidlo.
- 6/ Schnutí nalepeného snímače Snímač přes měkkou příložku /nejlépe z pěnové gumy/ zatížíme závažím 1 - 4kp po dobu asi 2 hod. po odlehčení necháme lepidlo asi 20 hodin zaschnout při normální teplotě než přikročíme k vlastnímu měření. Zaschnutí lepidla je možno urychlit ohřevem asi na 70°C pomocí infralampy apod. Rychlejší zasychání může mít za následek zvýšení křehkosti lepidla, není tudíž vhodné při dynamických měřeních.

Snímač musí být k měřenému povrchu přilepen tak dokonale, aby se deformace povrchu věrně přenesla až do jeho vnitří. Při přenosu deformace vzniká ve snímači smykové napětí, které se přenáší z měřeného předmětu do podložky a z této de vinutí.

Skutečný průběh smykového napětí a podélného prodloužení /deformace/ po délce snímače je na obr. 28. Z průběhu smykových napětí vidíme, že zejména kraje snímače jsou silně přetíženy a střední část je odlehčena. Proto je nutno dbát na pečlivé přilepení, zejména okrajů snímačů. Lepení střední části nám spíše stabilizuje drátky snímače před vyboulením při případném tlakovém namáhání.



obr. č. 28

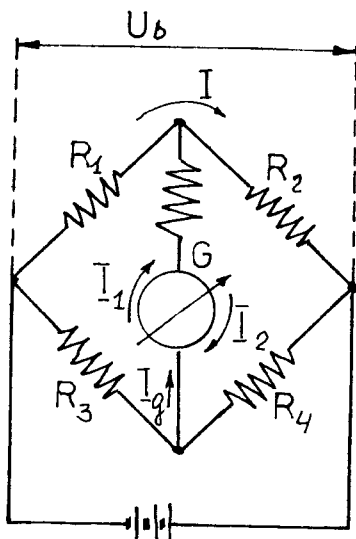
## 8.6 Měření malých odporových změn

Při měření deformace /poměrných prodloužení/ odporovými tenzometry o odporu přibližně kolem 120 - 600 ohmů vzniká při běžném rozsahu měření na různých strojních součástech t.j.  $\mathcal{E} = 10^{-5} \div 10^{-3}$  / změna odporu v mezích několika tisících ohmů. Tyto poměrně velmi malé změny odporu se určují Wheatstonovým můstkem, někdy dvojnásobným Wheatstonovým můstkem nebo potenciometrickým způsobem.

### 8.6.1 Můstkové zapojení

Velikost proudu procházejícího galvanometrem při nevyváženém můstku se stanoví z druhého Kirchhoffova zákona a z věty Maxwellovy o velikosti proudu ve větví společné dvěma obvodům.

Vzhledem k tomu, že u tenzometrů se vlivem deformace mění odpor pouze nepatrně /obvykle značně méně < 1%/, mů-



obr. 29

#### a/ Nulová metoda

Nulová metoda má velkou přesnost, protože není závislá na případné změně citlivosti proudového indikátoru a při praktickém provádění umožňuje dokonalejší kompenzace. Tímto způsobem však lze provádět pouze statická měření, kdy je na vyvážení dost času. V našem případě musíme provádět dynamické měření, proto tato metoda nebude probřaná podrobněji.

žeme považovat velikost proudu  $I$  za konstantní. Tím i svorkové napětí  $U_b$  v místech napájení můstku se mění následkem změny odporu snímače jen zcela nepatrně /viz obr. 29/

Změna odporu zapojeného do ramene můstku se může určit buď metodou nulovou nebo výhylkovou.

b/ Výchylková metoda

Při této metodě se určuje změna odporu ramene můstku ze změny proudu procházejícího galvanometrem. Výchylková metoda je proti nulové metodě výhodná především u dynamických měření a to proto, že umožňuje odečítání údajů na stupnici bez vyvažování můstku

Proud v diagonále můstku při změně odporu  $R_1$  na  $R_1 + \Delta R_1$  je

$$I_g + \Delta I_g = \frac{U}{\Delta'} /R_1 + \Delta R_1 / \cdot R_4 - R_2 \cdot R_3$$

kde

$$\Delta' = R_g /R_1 + R_2 / R_3 + R_4 / + R_1 \cdot R_2 / R_3 + R_4 / + \\ + R_3 \cdot R_1 / R_1 + R_2 /$$

Byl-li můstek na začátku měření vyvážen, protéká po změně velikosti odporu  $R_1$  galvanometrem proud

$$I_g = \frac{U}{\Delta'} \cdot R_4 \cdot \Delta R_1$$

Poněvadž změna odporu  $\Delta R_1$  má vliv na velikost determinantu není přesně vzate, změna proudu v indikátoru lineárně úměrná změně odporu. Poněvadž však hodnota  $\frac{\Delta R}{R}$  je v obvyklých případech měření menší než 1%, lze zanedbat přírustek  $\Delta R_1$  ve jmenovateli  $/ \Delta' /$ . Za tohoto předpokladu platí

$$\Delta I_g = \text{konst.} \Delta R_1$$

Tento závislosti se běžně používá, neboť vzniká chyba vzhledem k ostatním okolnostem, které mají vliv na přesnost měření přijatelná.

Můstek napájený střídavým proudem

Při měření můstku napájeným střídavým zdrojem je nutno uvažovat místo ohmického odporu  $R$ , odpor impedanční  $Z$

$$Z = R + j x$$

kde

$x$  - reaktance

$j$  - symbol fázového posunutí  $\circ 90^\circ$

$R$  - ohmický odpor

Stejným postupem jako u čistě ohmického odporu obdržíme podmínky rovnováhy můstku.

$$R_1 \cdot R_4 - x_1 \cdot x_4 = R_2 \cdot R_3 - x_2 \cdot x_3$$

$$R_1 \cdot x_4 + R_4 \cdot x_1 = R_2 \cdot x_3 + R_3 \cdot x_2$$

které mohou být splněny jestliže např.

$$\frac{R_1}{R_2} = \frac{R_3}{R_4} = \frac{x_1}{x_2} = \frac{x_3}{x_4}$$

Vyvážení můstku se provádí zpravidla tak, že se můstek vyváží nejdříve kapacitně, aby proud v indikátoru  $I_g$  byl minimální a teprve potom se vyváží odporově.

Výstupní signál z můstkového zapojení není zpravidla odstáčující, zpravidla bývá v desetinách milivoltů, a proto je nutno ho zesilovat.

Zvýšení citlivosti se provádí:

- a/ zvětšováním deformačního součinitele  $K_o$  snímačů
- b/ zvětšováním napájecího napětí můstku
- c/ zesílením výstupního signálu vycházejícího z můstku

#### Vyvažování můstku

Při vyvažování můstku na nulovou výchylku je nutno vyrovnat ještě před měřením rozdílnou ohmickou hodnotu snímače měřicího a snímače kompenzačního a při vlastním měření potom zpravidla mnemem menší odporovou změnu, vzniklou deformací snímače.

U většiny dnes používaných aparatur pro statická měření bývá obvod můstku upraven tak, že měřicí a kompenzační snímač tvoří polomůstek a druhá polovina můstku je zabudována v přístroji se soustavou odporů pro hrubé a jemné vyvažování.

Vlastní vyvažování se provádí:

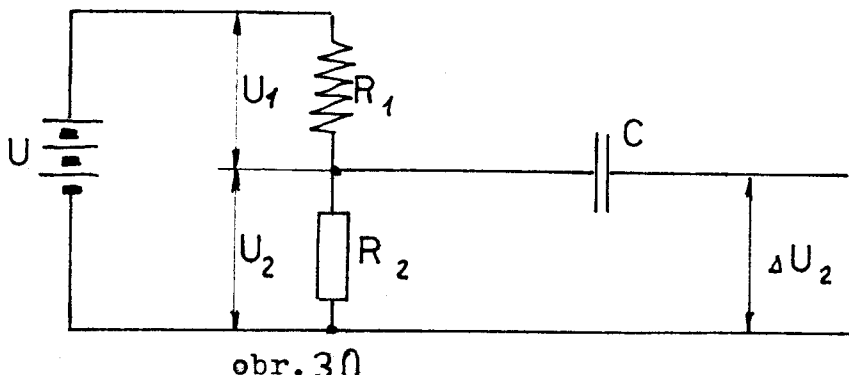
- a/ připojením malého odporu sériově k odporům můstkovým
- b/ paralelním připojením velkého odporu k větvím můstku
- c/ změnou odporů v aparatuře, provedených jako odporové snímače, nalepené na ohýbaném smímkou

Vyvažovací odpory bývají uspořádány zpravidla do skupin pro jemné, střední a hrubé vyvážení.

### 8.6.2 Potenciometrické zapojení

Tento způsob měření se používá zpravidla pro měření dynamických a rázových jevů. Měříme zde změny potencionálu vznikající vlivem relativní změny odporu na snímači.

V tomto zapojení je měřící snímač do obvodu zařazen jako odpor  $R_2$  /obr. 30/



obr. 30

Změna potencionálu  $U_2$  vznikající na tomto odporu neprochází kondenzátorem C, který propouští pouze dynamickou složku  $\Delta U_2$ , vznikajícím střídavým namáháním snímače. Tuto složku lze zesílit vhodným způsobem zdiditelnit.

Volíme-li podle maximálního přípustného proudu  $I_o$  ve snímači napětí U takže

$$U = I_o \cdot /R_1 + R_2 /$$

bude změna napětí na snímači  $U_2$  dáná vztahem:

$$U_2 = U \frac{\Delta R_2}{R_2} \cdot \frac{R_1 \cdot R_2}{/R_1 + R_2 /^2} = U K_o \cdot \mathcal{E} \cdot \frac{R_1 \cdot R_2}{/R_1 + R_2 /^2}$$

nebo přímo z maximálního proudu  $I_o$

$$U_2 = I_o K_o \mathcal{E} \cdot \frac{R_1 \cdot R_2}{R_1 + R_2}$$

Při daném napájecím napětí U je maximální citlivost zapájení pro  $R_1 = R_2 = R$

kdy

$$\Delta U_2 = \frac{1}{2} I_o \cdot K_o \cdot \mathcal{E} \cdot R$$

Je-li možno napájecí napětí zvyšovat tak, aby snímačem procházel maximální proud, volí se  $R_1 \approx 10 R_2$ .

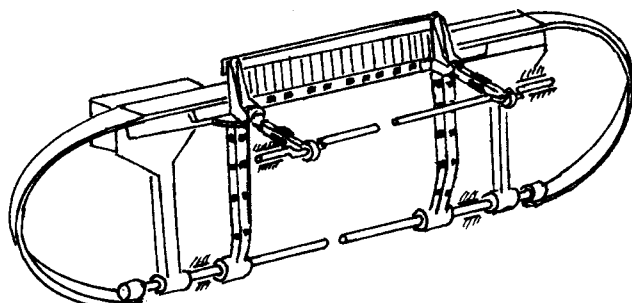
## 9. NÁVRH METODIKY MĚŘENÍ K OVĚŘENÍ PEVNOSTI NOSNÉ ČÁSTI PAPRSKU

Důležitou součástí tkacího stroje je přírazový mechanismus. Od jeho spolehlivé práce značně závisí výkonnost tkacího stroje a kvalita vyráběné tkaniny. Přírazový mechanismus tkacího stroje UTAS je znázorněn na obr. č. 13. Jednou z jeho hlavní pracovní části je nosná část paprsku tzv. nesník.

Nesník je namáhán dynamickými silami i silou odporu tkaniny, proto stanovujeme metodiku měření k ověření jeho pevnosti.

Zvolíme pro nás případ metodu měření napětí a deformací pomocí tenzometrů. Zvolení bylo provedeno na základě výhod této metody, které byly uváděny v kapitole 8.1. Potom musíme zvolit vhodné tenzometry k měření. Podle toho co bylo řečeno v kapitole 8.2.1 volíme odporové drátkové snímače.

Na obr. č. 31 jsou ukázány místa nalepení tenzometrických snímačů na nosníku, mečíkách a ojnicích přírazového mechanismu stroje UTAS.



obr. č. 31

Lepení tenzometru provádíme postupem, který byl uveden v kapitole 8.5 s účelem odstranění nežádoucích vlivů, o kterých bylo řečeno v kapitole 8.2.2.

Po skončení operace lepení musíme zapojit použité snímače do elektrického obvodu, aby bylo možné provádět měření. Používáme můstkové zapojení /viz kap. 8.6.1/. Pro lepší přehled napětí a deformace vznikajících při práci přírazového mechanismu můžeme ještě použít i potenciometrické zapojení /viz kap. 8.6.2/, které je výhodné při měření dynamických a rázových jevů.

Při použití tenzometrů je důležitým momentem jejichování. Cejchování provádíme pro to, aby bylo možné porovnat hodnoty napětí nebo deformací na oscilogramech. Postup cejchování tenzometrů byl uveden v kapitole 8.4. Po skončení cejchování můžeme přistoupit k vlastnímu měření deformace nebo napětí. Získané vzorky oscilogramů umožňují podrobně prozkoumat dynamiku mechanismu přírazu a pěťového stavu jednotlivých členů.

## ZÁVĚR

V této diplomové práci byla provedena analýza výkonu jehlových tkacích strojů vzhledem ke konstrukci prohozního mechanismu a byly uvedeny další cesty zvýšení výkonu jehlových tkacích strojů.

Bylo provedeno kinematické a dynamické vyšetření samostatného přírazového mechanismu a také při uvažování působení prohozního mechanismu. Pro umožnění tohoto řešení byl proveden kinematický a dynamický rozbor prohozního mechanismu, aplikovaného na člunkovém tkacím stroji UTAS. Na základě porovnání obou provedených variant řešení je možno konstatovat, že mechanismus prohozu má velký vliv na mechanismus přírazu. Např. při výpočtu dynamického chování bidlenu s uvažováním vlivu prohozního mechanismu jsou v některých okamžicích dosahovány hodnoty reakcí, které představují tří až čtyřnásobek hodnoty, vypočtené bez uvažování prohozního mechanismu.

Pomocí pevnostních výpočtů nosné části paprsku byly získány určité hodnoty namáhání i tohoto systému, a také na základě těchto výsledků byla navržena odlehčená konstrukce bidlenového mechanismu. Pro kontrolu ověření pevnosti nosné části paprsku byla stanovena metodika měření pomocí tenzorezistoru a byl naznačen postup praktické realizace tohoto měření.

Závěrem je možno konstatovat, že nově navržené řešení konstrukce bidlenového mechanismu má pozitivní vliv nejen na životnost tohoto systému, ale i na životnost celého člunkového stavu, protože ve svém důsledku zlepšuje jeho celkové dynamické chování.

P O D Ě K O V Á N I

Děkuji vedoucímu diplomové práce s. Ing. Františku Egrtovi, CSc, VŠST Liberec za odborné vedení a poskytnutí informací, které byly k vypracování této práce potřebné.

Seznam použité literatury

1. Charvát J.: Mechanika II /Kinematika/, VŠST Liberec 1981.
2. Bradský Z.-Vrzala R.: Mechanika III /Dynamika/, VŠST Liberec 1980.
3. Bradský Z.- Jáč V.: Mechanika II /Kinematika/, VŠST Liberec 1979.
4. Ibehej O.: Jehlové tkací principy, Diplomová práce, VŠST Liberec 1981.
5. Brychta Z.: Jehlový prohozní mechanismus pro tkací stroj UTAS, Diplomová práce, VŠST Liberec 1984.
6. Dyckij A.V.: Osnovy projektirovanija mašin tkackovo proizvodstva, Moskva, Mašinostrojenije, 1983.
7. Malyšev A.P.: Mechanika i konstruktivnyje rasčety tkac-Vorobjev P.A. kych stankov, M., Mašinostroenije, 1960.
8. Artobolevskyj I.I.: Teorie mechanizmov, M., Nauka, 1967.
9. Ljubošic M.U., Ickovič G.M.: Spravočník po soprotivleniju materialov, Minsk, Vyššaja škola, 1965.
10. Stepanov G.V.: Stankы ATPR : ustrojstvo i rasčet parametrov.
11. Chudych M.I.: Eksplotacionnaja nadežnost i dolgovečnost oborudovanija tekstilních predprijatij.
12. Makarov A.I.: Osnovy projektirovanija tekstilních mašin, Moskva, Mašinostrojenije, 1976.
13. Feodosjev V.I.: Soprotivlenie materialov, Moskva, nauka, Glavnaja redakcija fiziko-matematičkoj literatury, 1979.
14. Skála J.: Matematika, II, VŠST Liberec 1983.

Odborné časopisy a prospekty firem

1. Technologie tektilnoj promyšlenosti č.5, 1984.

2. Textile World č.8, 1981.
3. Melliand Textilberichte č.4, č.10, 1981.
4. America 's Textiles č. 1, č.10, 1981.
5. International Textile Machinery 1981.
6. British Textile Machinery 1983/1984.
7. International Textile Bulletin /Weaving/  
č. 2 1981.
8. Ekspres-informacija č. 16, CNIITEEllegpisčmaš,  
Moskva, 1984.

15. Proskurjakov A.S. , Olehla M., Tišer J.: Základy  
numerických metod a programování, Li-  
berec- Moskva 1979.
16. Holý S., Spanilý O.: Pružnost a pevnost III, Expe-  
rimentální pružnost, ČVUT Praha 1970.